



# Fluidiseringsegenskaper för packad-fluidiserad-bädd

En utvärdering av packningsmaterial

Kandidatarbete inom Energiteknik

SEEX15-20-1

MÄRTEN BENGTSSON  
JULIA CRAMSTEDT  
JESPER LARSSON  
MAX WASSENIUS

**INSTITUTIONEN FÖR  
RYMD-, GEO- OCH MILJÖVETENSKAP**

## Abstract

When fluidised beds are used as Chemical Looping Combustion (CLC) reactors, they can be utilised to convert fuels into heat and power in a setup where CO<sub>2</sub> is easy to separate from the exhaust stream. This makes the process of collecting and storing CO<sub>2</sub> exhausts far more effective than the expensive methods of gas separation that are available today. A limiting factor with this setup is the gas-solid mass transfer in the bubbling regime, where the mass transfer is affected by phenomena such as slugging and channeling. To address this problem it has been hypothesised that introducing a packing material to the fluidised bed will decrease bubble size, resulting in improved gas-solid mass transfer and prevention of destructive fluidisation phenomena. The report aims to show the impact of adding packing materials to a fluidised bed, by showing results from experiments performed in a cylinder meant to replicate the environment of a fluidised bed reactor. Hiflow rings, RMSR 25-3, ASB packing and Raschig rings were tested for multiple ratios between sand and packing heights, and their performance was compared to each other through pressure drop calculations and visual observations for different superficial gas velocities.

RMSR 25-3 and Hiflow rings were determined to have the desired behaviour when put in a fluidised bed, as both packings were successful in reducing destructive fluidisation behaviour. They showed high potential in maintaining turbulent mixing and could handle two times the flow of air compared to Raschig rings and ASB packing. The reason for this is speculated to be the high voidage of RMSR 25-3 and Hiflow rings, along with their general geometry. It can be concluded that introducing RMSR 25-3 or Hiflow rings to a fluidised bed decreases bubble size in the emulsion phase, thus increasing the gas-solid mass transfer in the bubble regime.

## Sammanfattning

Då en fluidiserad bädd används i kemiskt cirkulerande förbränning omvandlas bränsle till värme och elektricitet i en process där koldioxid i avgaserna enkelt går att separera, vilket är mycket gynnsamt i arbetet med lagring av koldioxid. En begränsande faktor med denna teknik är massöverföring mellan det syrebärande materialet och bränslet i den bubblande bädden. Massöverföringen påverkas negativt av fluidiseringsfenomen såsom slugging och kanalbildning. Att addera packningsmaterial tillsammans med det fasta materialet i sanden har lagts fram som en eventuell lösning, i hopp om att packningsmaterialet kommer att reducera storleken på bubblorna och därmed förebygga störningar i fluidiseringen, samt bidra till en ökad masstransport i emulsionsfasen. Rapporten ämnar att visa effekten av att tillsätta packningsmaterial till en fluidiserad bäddreaktor, genom en kallflödesmodell i en plexiglasylinder. Hiflow-ringar, RMSR 25-3, ASB-packing och Raschigringar undersöktes olika förhållanden mellan sand- och packningshöjder och packningarnas prestationer jämfördes med varandra genom tryckfallsberäkningar och visuella observationer vid olika superficiella gashastigheter.

RMSR 25-3 och Hiflow-ringar var packningar som bedömdes ha eftertraktade beteenden när de adderades till den fluidiserade bädden, då båda packningarna lyckades minska destruktiva fluidiseringsfenomenen. Båda packningarna upptäckte hög potential när det kom till att upprätthålla turbulent omblandning och de kunde hantera dubbelt så höga luftflöden som ASB-packing och Raschigringar utan att icke-gynnsamma fluidiseringsfenomen förekom. Anledningen till att de var överlägsna de andra packningarna föreföll bero på packningarnas höga tomrumsfraktioner. Rapporten drar slutsatsen att tillsats av RMSR 25-3 eller Hiflow-ringar till en fluidiserad bädd förebygger slugging och minskar storleken på bubblor i emulsionsfasen, vilket leder till ökad masstransport i bubbelregionen.

## Erkännande

Vi vill tacka examinator Magnus Rydén och handledare Nasrin Nemati som varit till stor hjälp i utformningen av arbetet och gett oss givande feedback längs vägen. Ett extra stort tack till Nasrin som har varit väldigt stöttande i experimentprocessen och alltid varit tillgänglig för att svara på frågor vilket vi uppskattat enormt. Vi hoppas att ni båda får användning av resultatet i er fortsatta forskning.

# Innehållsförteckning

<b>1</b>	<b>Introduktion och bakgrund</b>	<b>1</b>
1.1	Syfte och problemformulering . . . . .	2
<b>2</b>	<b>Teori</b>	<b>2</b>
2.1	Fluidiserad bädd . . . . .	2
2.2	Gynnsamma fluidiseringsförhållanden . . . . .	3
2.3	Icke gynnsamma fluidiseringsfenomen . . . . .	3
2.4	Gruppering av partiklar . . . . .	4
2.5	Tryckfall och tryckvariationer . . . . .	4
2.6	Packad fluidiserad bädd . . . . .	5
2.6.1	Vertikal segregation . . . . .	5
<b>3</b>	<b>Metod</b>	<b>6</b>
3.1	Apparatur . . . . .	6
3.2	Sand . . . . .	7
3.3	Packningar . . . . .	7
3.3.1	Beräkning av tomrumsfraktion samt densitet . . . . .	8
3.4	Definition av förhållande mellan sand och packning . . . . .	9
3.5	Experiment - Packad fluidiserad bädd . . . . .	9
3.5.1	Icke-packad fluidiserad bädd . . . . .	9
3.5.2	Djup bädd . . . . .	9
3.5.3	Definition av superficiell gashastighet . . . . .	10
3.6	Sammanställning av data . . . . .	10
3.7	Avgränsningar . . . . .	10
<b>4</b>	<b>Resultat</b>	<b>10</b>
4.1	Sammanfattad observationsdata . . . . .	10
4.1.1	Sand I . . . . .	11
4.1.2	Sand II . . . . .	12
4.1.3	Djup bädd . . . . .	12
4.2	Resultat Sand I . . . . .	13
4.2.1	Icke-packad fluidiserad bädd . . . . .	13

4.2.2	RMSR 25-3 . . . . .	14
4.2.3	Hiflow-ringar . . . . .	16
4.2.4	Raschigringar . . . . .	17
4.2.5	ASB-packning . . . . .	18
4.3	Resultat Sand II . . . . .	20
4.3.1	Icke-packad fluidiserad bädd . . . . .	20
4.3.2	RMSR 25-3 . . . . .	22
4.3.3	Hiflow-ringar . . . . .	24
<b>5</b>	<b>Diskussion</b>	<b>25</b>
5.1	Packningsmaterialens prestation . . . . .	25
5.1.1	RMSR 25-3 . . . . .	25
5.1.2	Hiflow-ringar . . . . .	26
5.1.3	Raschigringar . . . . .	26
5.1.4	ASB . . . . .	27
5.2	Sandskillnader . . . . .	27
5.3	Potentiella packningsproblem . . . . .	27
5.4	Förhållandet mellan mängden packning och sand . . . . .	28
5.5	Potentiella problem med metoden . . . . .	28
<b>6</b>	<b>Slutsats</b>	<b>28</b>
<b>Källförteckning</b>		<b>29</b>
<b>A</b>	<b>Standardiserad laborationsmetod</b>	<b>31</b>
<b>B</b>	<b>Stegringschema hastigheter</b>	<b>33</b>
<b>C</b>	<b>Figurer - Apparatur</b>	<b>34</b>
<b>D</b>	<b>Figurer - Resultat</b>	<b>36</b>
D.1	Tryckfall över hela bädden . . . . .	42
<b>E</b>	<b>MATLAB</b>	<b>51</b>
E.1	BachelorThesisSEEX15-20-1.m . . . . .	51
E.2	importfile.m . . . . .	70

E.3	natsort.m	71
E.4	natsortfiles.m	76
E.5	natsortfiles-doc.m	79
E.6	natsortfiles-test.m	80
E.7	screencapture.m	82

# Nomenklatur

## Symboler

$A_{tv}$	Inre tvärsnittsarea av cylindern	$\text{m}^2$
$b$	Bredd	mm
$d$	Diameter	
$d_i$	Diameter på hålen i sil i	$\mu\text{m}$
$\bar{d}_p$	Medelvärde av partiklarnas diameter	$\mu\text{m}$
$\bar{d}_{sand}$	Medelvärde av sandpartiklarnas diameter	$\mu\text{m}$
$h$	Höjd	
$h_{sand}$	Sandens höjd i cylindern	cm
$h_{packning}$	Packningens höjd i cylindern	cm
$m$	Massa	
$m_i$	Massa av sand i sil med sildiameter i	g
$m_{packning}$	Packningens massa	kg
$m_{tot}$	Totalmassa silad sand	g
$n$	Nominell storlek	mm
$P$	Tryck	
$P_{windbox}$	Relativa trycket i windbox	mbar
$P_1$	Relativa trycket närmast botten av bädden ( $h = 1\text{ cm}$ )	mbar
$P_2$	Relativa trycket i mitten av bädden ( $h = 6.5\text{ cm}$ )	mbar
$P_3$	Relativa trycket i toppen av bädden ( $h = 12.1\text{ cm}$ )	mbar
$\Delta P$	Tryckfall över hela bädden	mbar
$Q$	Gasens volymflöde	$\text{m}^3/\text{s}$
$R$	Förhållande mellan sandhöjd och packningshöjd	cm/cm
$t$	Tjocklek	mm
$u$	Superficiell gashastighet	m/s
$u_{mf}$	Minsta fluidiseringshastighet	m/s
$V$	Volym	
$V_B$	Bulkvolym	$\text{m}^3$
$V_T$	Volymen av tomrummet	$\text{m}^3$
$\rho$	Densitet	
$\bar{\rho}_p$	Partikeldensitet	$\text{g}/\text{cm}^3$
$\bar{\rho}_{packning}$	Packningens densitet	$\text{kg}/\text{m}^3$
$\Phi$	Tomrumsfraktionen	$\text{m}^3/\text{m}^3$

## Förkortningar

CLC	Chemical Looping Combustion
CCS	Carbon Capture and Storage

# 1 Introduktion och bakgrund

Med den konsensus kring effekterna av global uppvärmning som råder idag är det mer aktuellt än någonsin att hitta lösningar som kan minska mänskans koldioxidavtryck. Då en stor del av det globala koldioxidutsläppet kan kopplas till energiproduktion är detta område högst aktuellt för vidare utveckling. Som svar på detta har produktionen av energi från förnyelsebara källor som sol, vind och vatten ökat de senaste decennierna [1]. En energiproduktion som i huvudsak uppgörs av förnyelsebara energikällor möter dock ett problem i att energibehovet världen över har sett en stor ökning under kort tid. Att tillgodose det växande energibehovet med endast förnyelsebara energikällor är svårt på grund av höga kostnader, låg effektivitet och geografiskt läge. Därför uppförs fortfarande nya förbränningsskraftverk och en stor majoritet av världens energiproduktion förblir inom den närmaste framtiden starkt beroende av förbränning [1].

Energiproduktionens behov av förbränning lägger stor vikt på innovation och utveckling av tekniker för att minska koldioxidutsläppen från förbränningsskraftverk. Ett koncept som tagits fram som visar på god applicerbarhet på förbränningsskraftverk, är Carbon Capture and Storage, CCS. Grundtanken bakom CCS är att fånga upp CO<sub>2</sub> från förbränningavgaser och transportera gasen till ett slutförvar. Dessa slutförvaringsplatser föreslås utgöras av exempelvis tömda oljereservoarer och naturgasfyndigheter, eller djupt belägna saltvattensakifer där CO<sub>2</sub> kan injiceras in och förvaras utanför jordens yttra kolrettslopp [2]. För att effektivt utnyttja utrymme i slutförvaret krävs en hög renhet i avgaserna med avseende på CO<sub>2</sub>.

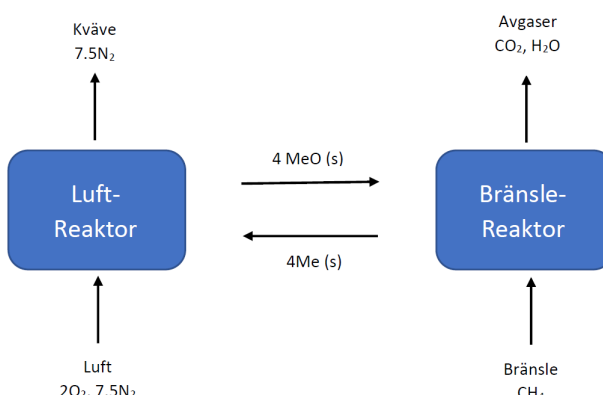
Då avgaserna från förbränningsskraftverk i regel endast utgörs av 5-30% CO<sub>2</sub>, krävs ett separationssteg för ökad renhet av CO<sub>2</sub> om målet är att samla in och lagra gasen. En sådan separation är kraftigt energikrävande då förbränningavgaserna till en majoritet består av lättflyktig gas som kväve. Ett lovande alternativ, som i teorin tillåter absolut renhet med avseende på CO<sub>2</sub> i förbränningavgaserna utan kostsamma separationssteg, är Chemical Looping Combustion, CLC. Uppsättningen av en CLC-reaktor, med in- och utflöden, kan ses i figur 1. Detta är en teknik som visats kunna appliceras på en cirkulerande fluidiserad bädppanna och låter bränsle strömma igenom och fluidisera en badd av syrebärande partiklar, oftast pulveriserade metalloxider [3]. Då bränslet pumpas igenom badden underifrån oxideras det i en reaktion med metalloxiden, vilket bildar CO<sub>2</sub> och H<sub>2</sub>O som slutprodukt enligt reaktionen:



där MeO betecknar en metalloid som agerar syrebärande. Vanligast är oxider av Fe, Mn, Ni eller Cu [3]. Den bildade vattenångan från reaktionen kan enkelt separeras från koldioxiden genom kondensering, vilket ger ett rent utflöde av CO<sub>2</sub> då reaktionen endast sker med syre bundet till metalloxiden och i frånvaro av luft. För att åter oxidera baddmaterialet slussas partiklarna vidare till en luftreaktor där de reagerar med syret i genomströmmande luft enligt reaktionen:



innan de förs tillbaka till bränslereaktorn. En CLC-anläggning utgörs alltså av två separata, men sammankopplade reaktorer; en bränslereaktor där tillfört bränsle oxideras och en luftreaktor där syrebärande partiklar återoxideras.



Figur 1: Enkel illustration av CLC-processen.

En stor del av tekniken bakom CLC har utvecklats nyligen och pilotanläggningar med naturgas och kol som

bränsle visar lovande resultat med avseende på omsättningsgrad av bränslet och koldioxidinsamling [4][5]. Utöver att användas vid förbränning av konventionella fossila bränslen kan CLC nyttjas vid förbränning av andra material, såsom avfall och biomassa. Användandet av biomassa som bränsle i en CLC-anläggning kan, på grund av växters förmåga att absorbera koldioxid, leda till en netto-minskning av CO<sub>2</sub> i atmosfären, om man kombinerar anläggningen med CCS. Flerpartssamarbetet *Negative CO<sub>2</sub> Emissions with Chemical Looping Combustion of Biomass* har med detta som bakgrund bildats mot målet att utveckla ny teknik som kan leda till förbränning med netto-negativa koldioxidutsläpp [3].

Då oxidationen av bränslet sker på ytan av metalloxidpartiklarna är massöverföring mellan gas och partikel en avgörande faktor i effektiviteten av en CLC-reaktor. Generellt gäller det för fluidiserade bädder att en hastighetsökning av den genomströmmande gasen resulterar i större storlek på de bildade bubblorna i bädden. Vid vissa fall kan det leda till att fenomen som slaggning och kanalbildning uppstår. Förekomsten av dessa fenomen leder i olika grad till att kontaktytan mellan gas och partikel minskar. Då den största delen av massöverföringen sker i gränsskiktet mellan de två faserna [6], har slaggning och kanalbildning negativa effekter på processens effektivitet.

För att kunna bibehålla mindre storlek av bildade bubblor och förebygga fenomen som slaggning vid högre gasgenomflöden har det föreslagits att addera packningsmaterial till bädden. Packningarna är tänkta att störa koaliseringen av bubblor som stiger genom bäddmaterialet, vilket förhindrar dem från att växa i storlek. När bubblorna hindras från att växa finns det mer utrymme för den fluidiserande gasen att existera i emulsionsfasen av bädden, där den har som störst kontaktyta med bäddmaterialet. Fluidiseringsegenskaperna av en packad-fluidiserad-badd är ett relativt okänt område då det inte gjorts mycket forskning kring fluidiserade bädder med adderad packning. Fortsatta tester kring packningsmaterials förmåga att påverka fluidiseringfenomenen i en fluidiserad badd kan bidra till vidare förståelse av ämnet. Dessutom kan det visa sig ge värdefullt underlag för användning inom konventionella fluidiserade bädder såväl som aktualiseringen av en fullskalig CLC-anläggning.

## 1.1 Syfte och problemformulering

Syftet med projektet är att undersöka om användandet av packning i en fluidiserad badd ger gynnsamma fluidiseringsförhållanden. Dessa fluidiseringsförhållanden innefattar små och jämnt fördelade bubblor, vilket ger en bra kontakt mellan gas och det fluidiserade materialet, samt en frånvaro av slaggning, kanalbildning och vertikal segregation. De listade förhållandena jämförs med resultat från en icke-packad fluidiserad badd för att avgöra huruvida packning är gynnsamt.

## 2 Teori

Följande del av rapporten avhandlar de teoretiska områden som krävs för att kunna ta till sig rapportens innehåll och slutsatser. Detta innefattar en beskrivning av en fluidiserad badd, olika fluidiseringsförhållanden, ingruppning av bäddmaterial, tryckfall och tryckvariationer över bädden samt packad fluidiserad badd.

### 2.1 Fluidiserad badd

En fluidiserad badd består av en badd av partiklar, oftast sand, som är placerad i en behållare där en gas strömmar upp underifrån genom bädden. Själva fluidiseringen uppstår när dragkraften på partiklarna är lika stor som partiklarnas vikt. Gashastigheten måste alltså vara tillräckligt hög för att lyfta partiklarna och kunna ta sig igenom bädden. Den punkt då fluidisation först uppstår kallas för minsta fluidiseringshastighet.

Det finns flera olika fenomen som kan förekomma i en fluidiserad badd. Här fokuseras det på två fenomen för att beskriva en fluidiserad badd på ett enkelt sett. Det första fenomenet, bubblande badd, sker vid själva fluidiseringen av bädden när densitetsskillnader mellan gas och bäddmaterial gör att lokala hålrum i bädden skapas. Dessa bubblor av gas beror på att gashastigheten är högre än den som krävs för fluidisering, vilket skapar en typ av instabilitet i bädden.

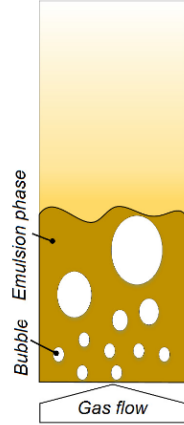
Nästa fenomen är vanligt förekommande i cirkulerande fluidiserade bäddpannor och innebär att gashastigheten

är så stor att partiklarna följer med gasen uppåt i reaktorn. I en cirkulerande fluidiserad bäddpanna så transporteras partiklarna tillbaka till bädden underifrån. Huruvida dessa fenomen uppstår och när de i så fall gör det beror på gasen och bäddmaterialets fysiska egenskaper, men även gasflödet och storleken på behållaren [7].

## 2.2 Gynnsamma fluidiseringsförhållanden

I kemiska reaktioner är massöverföringen mellan den reagerande gasen och aktiva partikeln vanligtvis en begränsande faktor [9]. I en fluidiserad bädd finns två områden; emulsionsfasen och bubbelfasen, se figur 2. Emulsionsfasen är det fluidiserade bäddmaterialet och bubbelfasen är bubblorna i bädden [8]. Det finns alltså gas i både emulsionsfasen och bubbelfasen, men i bubbelfasen är gasen mer samlad i en enhet.

För att få bra kontakt mellan gasen och bäddmaterialet behöver massöverförsingsresistansen mellan faserna vara låg [9]. Fler bubblor med mindre diameter ökar kontaktytan mellan faserna och borde därför i teorin öka omsättningen, eftersom mer aktivt material kan komma i kontakt med den reagerande gasen.



Figur 2: Visualisering över emulsions- och bubbelfasen [8].

## 2.3 Icke gynnsamma fluidiseringsfenomen

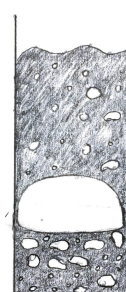
De fluidiseringsfenomen som är vanligt förekommande i fluidiserade bädd-reaktorer är kanalbildning och slaggning, vilka båda är oönskade och effektivitetshämmande skeenden.

Kanalbildning innebär att en majoritet av gasflödet tar en specifik väg genom bädden. Ett exempel är att gasen flödar upp i en kant av reaktorn. Kanalbildning uppstår för att gasen naturligt strävar efter den väg med lägst tryckfall. Finns det en sådan väg i bädden kommer gasen välja den och bilda en kanal. Att flödet strömmar på en väldigt begränsad del av reaktorns totala bäddvolym ger partiklar och gas sämre möjlighet att interagera med varandra på ett tillfredsställande sätt. Se figur 3 för en enkel illustration.

Slaggning innebär att mängden bubblor i bubbelfasen ökar och växer i storlek så att de nästan fyller hela tvärsnittsarean av bädden [10]. Slaggning kan göra att sandbädden separerar och delen som är ovanför bubblan transporterar en sträcka vertikalt, för att sedan falla tillbaka ner när bubblan spricker. Se figur 4 för en enkel illustration av slaggning.



Figur 3: Kanalbildung.



Figur 4: Slaggning.

Huruvida slaggning uppstår eller inte beror på bäddegens höjd,  $h$ , i förhållande till bäddegens diameter,  $D$ . I en bädd med större diameter är det mindre sannolikt att slaggning uppstår. Partikelstorleken har också påverkan på om slaggning uppstår, där små partiklar är mindre benägna att uppvisa slaggning [11]. Förekomsten av slaggning är väldigt påfrestande för utrustningen och försämrar masstransporten i och med storleken på bubblorna.

## 2.4 Gruppering av partiklar

I en fluidiserad bädd används oftast en sand som bäddmaterial. För att skilja partiklar och deras fluidiseringsegenskaper åt presenterade D. Geldart år 1973 fyra grupper av partiklar; Grupp A, B, C och D, för att kunna skilja på deras egenskaper.

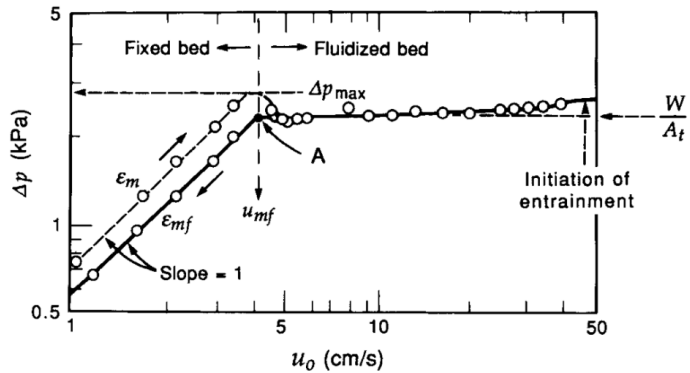
Grupp A innehåller en medeldensitet på partiklarna,  $\bar{\rho}_p$ , på mindre än  $1.4 \text{ g/cm}^3$  och med en medeldiameter,  $\bar{d}_p$ , mellan  $20\text{-}100 \mu\text{m}$  [12] och kan beskrivas som ett fint pulver.

Geldart grupp B innehåller de flesta material som har en medeldiameter på partiklarna inom spannet  $40 \mu\text{m} < \bar{d}_p < 500 \mu\text{m}$ , och en medeldensitet inom spannet  $1.4 \text{ g/cm}^3 < \bar{\rho}_p < 4.0 \text{ g/cm}^3$ . Generellt skapas det bubblor väldigt nära den minimala fluidiseringshastigheten i bädar med Grupp B-partiklar [13]. Geldart grupp A och B är vanligt att använda i fluidiserade bädar med förbränningreaktioner [14].

Grupp C innehåller väldigt fina, nästan puderaktiga, partiklar inom spannet  $20 < \bar{d}_p < 30 \mu\text{m}$ . Grupp D har en medeldiameter över  $600 \mu\text{m}$  och en hög partikeldensitet [12].

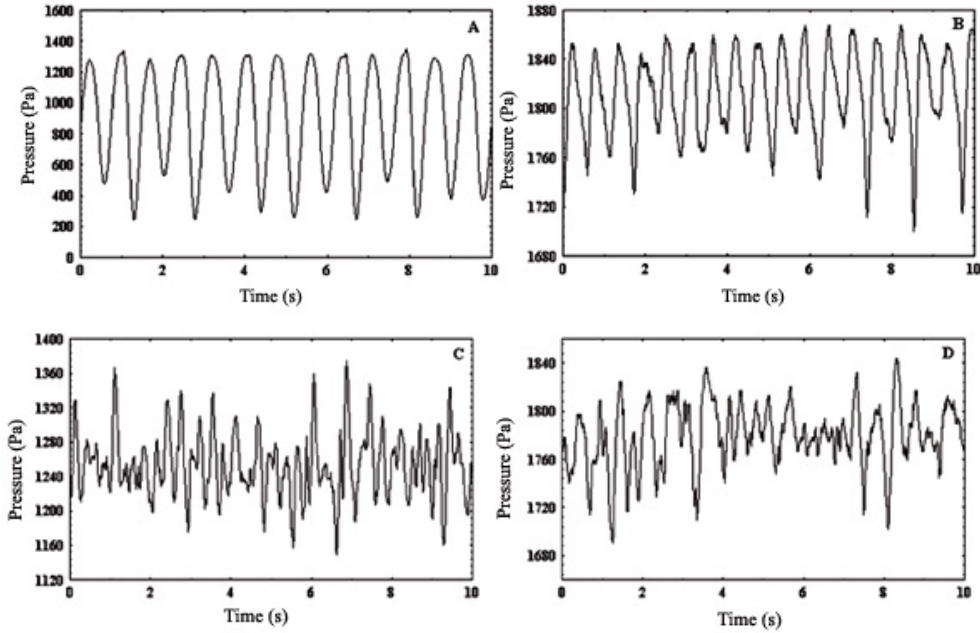
## 2.5 Tryckfall och tryckvariationer

I figur 5 visualiseras tryckfallet mot gasflödeshastigheten (volymhastighet genom tvärsnittarean). Här kan det noteras att tryckfallet bör vid minsta fluidiseringshastigheten,  $u_{mf}$  i figur 5, uppnå en högsta punkt och sedan plana ut. Det innebär alltså att när bädden befinner sig i bubbelområdet är tryckfallet över bädden konstant. Figuren nedan visar på en bra uppträdande bädd som befinner sig i bubbelområdet, förutsatt att tryckvariationerna i varje punkt inte är för stora [15].



Figur 5: Tryckfall,  $\Delta P$ , mot gasflödeshastigheten,  $u_0$ , för en bädd med Geldart Grupp B-partiklar [15].

Stora tryckvariationer, figur 6A. visar på hur slaggning påverkar trycket i en fluidiserad bädd. Här används partiklar tillhörande Geldart grupp B och ger en variation på cirka  $600 \text{ Pa}$ , eller  $6 \text{ mbar}$ . För en bädd med partiklar från Geldart grupp B som befinner sig i enbubbelfasen, där flera små bubblor slås ihop till en större, visualiseras tryckvariationerna i figur 6B. Den bildade bubblan i sig är inte tillräckligt stor för att kallas för slaggning. Amplituden varierar med ungefär  $1.3 \text{ mbar}$ .



Figur 6: Tryckvariation mot tiden för en bädd (A) med slaggning (Geldart grupp B), (B) i enbubbelfasen (Geldart grupp B), (C) i flerbubbelfasen (Geldart grupp A) och (D) i flerbubbelfasen (Geldart grupp B) [16].

I bubbelregimet med flera bubblor visualiseras tryckvariationen i figur 6C för partiklar i Geldart grupp A och i figur 6D för partiklar i Geldart grupp B. Jämfört med figur 6A och 6B så är variationen i amplituden mycket mindre och mer irreguljära för 6C och 6D samt att det sker fler tryckvariationer per tidsenhets [16]. Värt att notera är det även att amplituden för 6A är markant större än 6B.

## 2.6 Packad fluidiserad bädd

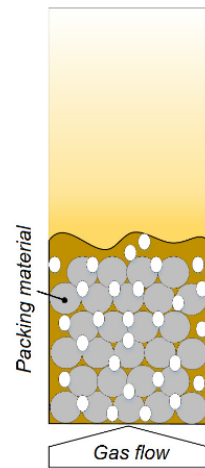
Packad fluidiserad bädd innebär att solida material med betydligt större diameter än de solida partiklarna i emulsionsfasen finns i bädden, se figur 7. Dessa material benämns som packningsmaterial, och är vanligt förekommande i t.ex. destillationskolonner [17].

Idén med att ha packning i den fluidiserade bädden är bland annat att det skulle kunna minska bubbelstorleken och därmed öka massöverföringen mellan de två faserna. Det skulle också minska bubblornas maximala storlek.

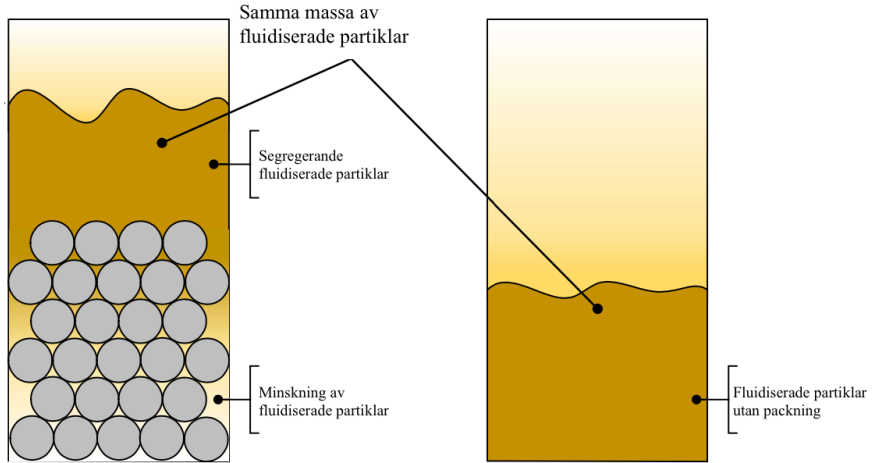
Tidigare studier visar på att metoden verkar vara effektiv. I en artikel av Jesper Aronsson så påvisar packning i en fluidiserad bädd bland annat på minskad bubbelstorlek, ökad massöverföring mellan gas och solid samt ett högre tryckfall över bädden [8][18]. I en tidig studie från 60-talet visar packad fluidiserad bädd på en större bæddexpansion i jämförelse med vanlig fluidiserad bädd, samt en minskning i tryckfall då den fluidiserade bædden expanderar över packningen [19].

### 2.6.1 Vertikal segregation

Vertikal segregation innebär att två separata faser bildas i den solida fasen, oftast att packningen och sanden separeras från varandra och att det då uppstår ett skikt med mycket liten andel bæddmaterial i botten av cylindern, se figur 8 [18].



Figur 7: Visualisering av en fluidiserad bædd med packning [8].



Figur 8: Visualisering av vertikal segregation [18] / Orginaltext översatt till svenska.

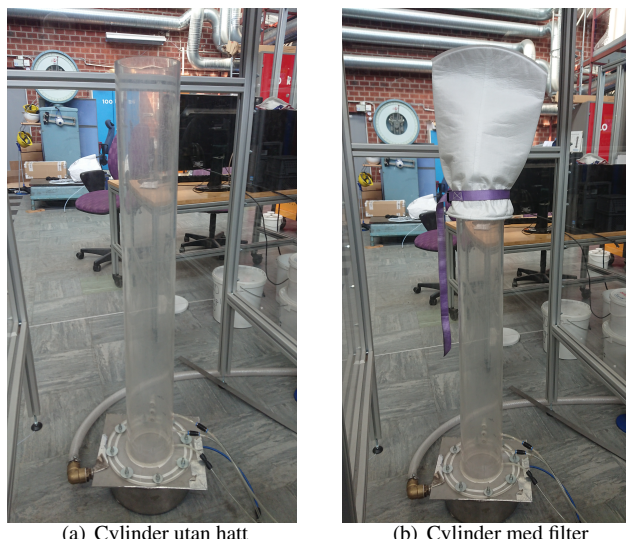
I figur 5 så kan det noteras att tryckfallet börjar gå uppåt igen vid högre gashastighet. Detta innebär att bäddepartiklar börjar dras med uppåt i bädden, vilket skulle kunna tyda på vertikal segregation alternativt att partiklarna dras med gasen, som i en cirkulerande fluidiserad badd. Det kan även bero på baddexpansion, det vill säga att baddhöjden ökar i och med fluidiseringen.

### 3 Metod

Nedan följer en redogörelse för den apparatur som användes under experimenten, samt en beskrivning av den arbetsmetod som ligger till grund för projektets experiment och analys och projektets avgränsningar.

#### 3.1 Apparatur

Experimenten som ligger till grund för rapporten genomfördes i en cylindrisk kallflödesreaktor i plexiglas, med en innerdiameter på 12 cm och en höjd på 1 m, enligt Figur 9(a). Figuren illustrerar cylindern utan sand eller packning närvarande.



Figur 9: Bilder på cylindern som användes vid experimenten.

Anordningen bestod av en vindbox som var placerad under cylindern där luft från experimenthallens kompressorsystem pumpades in, se Figur 10. Experimenten använde två olika källor för luftflöde för att pumpa in luft; MFC FR, och MFC AR. Bild på massflödesswitch hittas i Bilaga C. MFC FR användes för lägre flöden, och MFC AR för högre. Bytet av massflödeskälla skedde runt  $0.55 \text{ m/s}$ . Luften transporterades från vindboxen till cylinderns botten genom en porös metallplatta. Fyra HUBA Control sensorer vars syfte var att mäta tryck fanns placerade i systemet. En positionerad i vindboxen, och de övriga tre högre upp i bädd-delen av cylindern på höjderna  $1 \text{ cm}$ ,  $6.5 \text{ cm}$  respektive  $12.1 \text{ cm}$  ovanför vindboxen. Bilder på sensorernas placering finns i Bilaga B. Värdena som gavs av sensorna digitaliseras genom en NiDAQ A/D omvandlare. Luftflödet styrs genom en Bronkhorst massflödesmätare av programmet LabView<sup>TM</sup>. Försöken kördes kallt, det vill säga ingen förbränningreaktion var aktuell under experimenten.

Användandet av utrustningen ledde till att små sandpartiklar frigjordes i luften, vilket kan ses som en hälsorisk vid utdragen exponering och långvarig inandning. För att förhindra inandning av partiklar placerades därför ett filter på cylinderns topp, se figur 9(b), och en extern dammsugare fanns i anslutning till cylindern i syfte att suga upp partiklar som trängde igenom filtret. Bilder på dessa finns att hitta i Bilaga C.



Figur 10: Bild på vindbox.

### 3.2 Sand

För experimenten användes två typer av sand med olika medeldiameter. Ett krav som ställdes på sanden var att den skulle tillhöra Geldart Group B, och för att få en mer enhetlig sand med kontrollerat intervall på diametern genomfördes silning av sanden i en silningsapparatur, se Bilaga B. Detta gjordes endast för Sand I. Medeldiametern för Sand I var  $240.6 \mu\text{m}$  och dess densitet var  $1.45 \text{ g/cm}^3$ . Sand II silades endast för att kontrollera dess medeldiameter. Den mättes att ha en medeldiameter på  $574.6 \mu\text{m}$  och en densitet på  $1.40 \text{ g/cm}^3$ .

Följande ekvation användes för att beräkna medeldiametern hos sandpartiklarna:

$$\bar{d}_{sand} = \frac{\sum m_i d_i}{m_{tot}}$$

Där  $m_i$  är massan sand som fastnar i varje silsteg och  $d_i$  diametern på hålen i sil  $i$ .  $m_{tot}$  är totala massan silad sand.

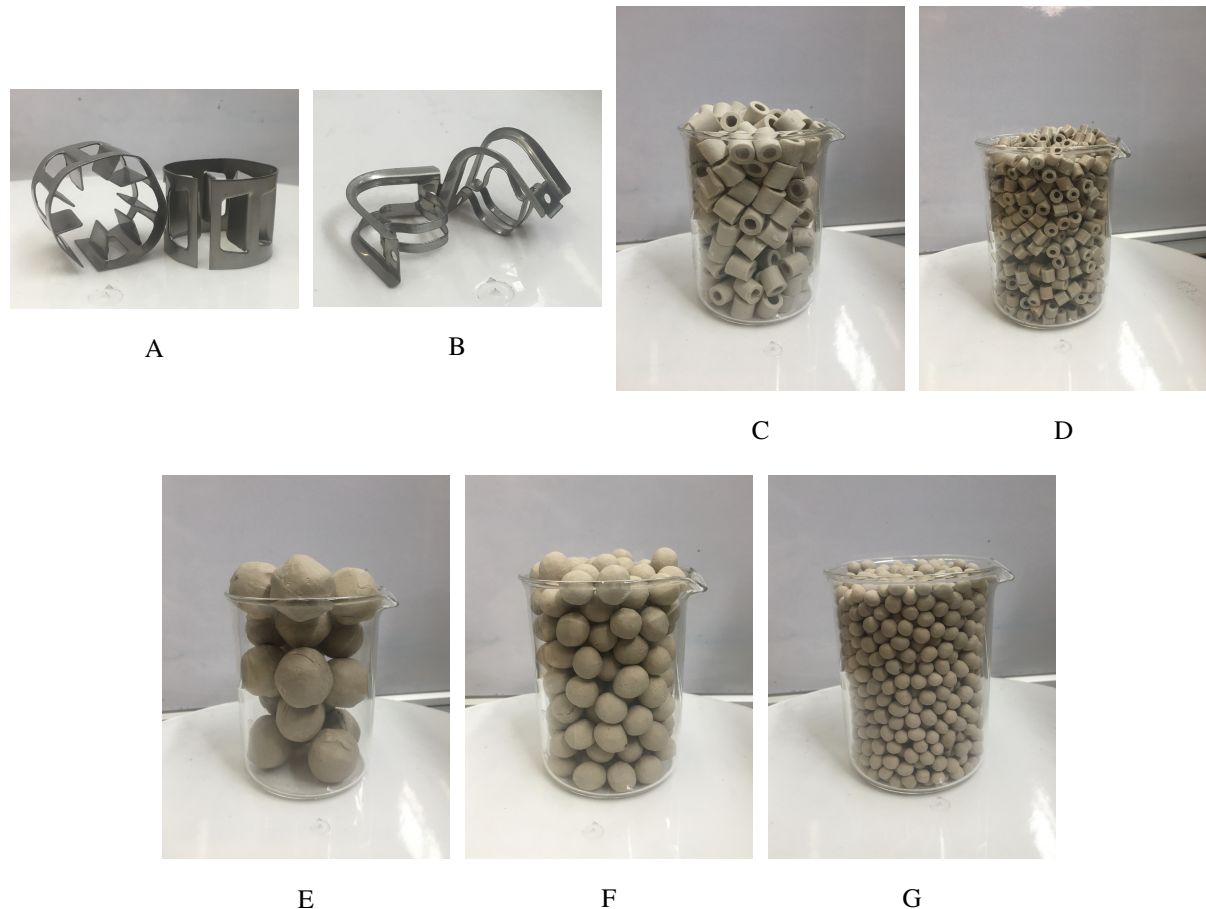
### 3.3 Packningar

I tabell 1 finnes information om alla packningar som fanns tillgängliga för experimenten. I kolumnen "Storlek" används vissa förkortningar enligt följande: n = nominell storlek, d = diameter, t = tjocklek, b = bredd. Viktigt att notera är att all data om storlek är hämtad från tillverkare. För att beräkna tomrumsfraktionen användes ekvation 1 och för densiteten användes ekvation 2, båda vilka finns i avsnitt 3.3.1.

Tabell 1: Information om tillgängliga packningar

Namn	Material	Storlek	Densitet	Tomrumsfraktion
Hiflow-ringar 25-5 [20]	Rostfritt stål	n25mm, t0.5mm	$280 \text{ kg/m}^3$	95 %
RMSR 25-3 [21]	Rostfritt stål	n25mm, t0.3mm	$204 \text{ kg/m}^3$	96 %
Raschigringar 10x10 [22]	Keramik	b10mm, d10mm	$890 \text{ kg/m}^3$	58 %
Raschigringar 6x6 [22]	Keramik	b6mm, d6mm	$1110 \text{ kg/m}^3$	50 %
ASB 1" [18][23]	Aluminiumsilikat	d25.4mm	$1340 \text{ kg/m}^3$	44 %
ASB 1/2" [18][23]	Aluminiumsilikat	d12.7mm	$1390 \text{ kg/m}^3$	42 %
ASB 1/4" [18][23]	Aluminiumsilikat	d6.35mm	$1395 \text{ kg/m}^3$	41 %

Bilder på alla packningar finns i figur 11.



Figur 11: Packningar som fanns tillgängliga för experimenten (A) Hiflow-ringar 25-5, (B) RMSR 25-3, (C) Raschig ringar 10x10, (D) Raschigringar 6x6, (E) ASB 1", (F) ASB 1/2", (G) ASB 1/4".

Av de packningar som fanns tillgängliga användes alla förutom Raschigringar 6x6 och ASB 1/4", figur 11D respektive figur 11G, i experimenten.

### 3.3.1 Beräkning av tomrumsfraktion samt densitet

Tomrumsfraktionen,  $\phi$ , definieras på som i ekvation 1

$$\phi = \frac{V_T}{V_B} \quad (1)$$

där  $V_T$  är volymen av tomrummet och  $V_B$  är bulkvolymen, båda med enheten  $m^3$ .

För att beräkna tomrumsfraktionen användes en cylindrisk bågare med liknande diameter som cylindern för experimenten. Bägaren vägdes tom, full med packning, full med packning och vatten samt endast med vatten. Från detta kunde volymen av tomrummet samt bulkvolymen, det vill säga volymen av bågaren, tas fram med hjälp av vattnets densitet som antogs vara  $997 \text{ kg/m}^3$ . Densiteten av packningen,  $\rho_{\text{packning}}$ , kunde också räknas fram genom att använda datan för bulkvolymen samt packningens vikt enligt ekvation 2

$$\rho_{\text{packning}} = \frac{m_{\text{packning}}}{V_B} \quad (2)$$

där packningens massa har enheten  $\text{kg}$  och bulkvolymen har enheten  $\text{m}^3$ .

### 3.4 Definition av förhållande mellan sand och packning

Under experimenten testades olika förhållanden mellan sand och packning. Förhållandet,  $R$ , definieras på följande sätt:

$$R = \frac{h_{sand}}{h_{packning}}$$

Detta förhållandet bestämdes genom att massan packningsmaterial  $m_{packning}$  som krävdes för att uppnå ungefär 12 cm i höjd i kolonnen mättes. Sedan bestämdes  $m_{sand}$  då hålrummet mellan packningen fylldes upp till ungefär 12 cm. Dessa massor användes för förhållandet då följande antagande gjordes:

$$h_{packning} \sim m_{packning}$$

det vill säga att dubbel massa skulle ge dubbel packningshöjd. Massan av packning och sand bestämdes för varje individuell typ av packning.

### 3.5 Experiment - Packad fluidiserad bädd

Försöken undersökte för olika packningsmaterial och  $R$  hur den packade fluidiserade bädden svarade mot varierande luftflödeshastigheter.

Den initiala bæddhöjden, det vill säga höjden på sanden, som hålls som standard för försöken var 12 cm, se figur 12. Eftersom packningsmaterialet har varierande tomrumsfraktioner och geometrier kom därför vikten på sanden som användes inte att vara konstant i alla försök. Det var initiala bæddhöjden som kom att hållas konstant till 12 cm.

Luftvolymflödet i försöken stegrades från 0.01 m/s upp till ett flöde där det visuellt bedömdes vara utan mening att fortsätta. Detta flöde varierade beroende på prestation hos packningen. Ett detaljerat stegningschema som efterföljdes i varje experiment hittas i Bilaga B. Under stegringen antecknades visuella beträckelser av bæddens beteende där mycket fokus låg på att identifiera störningar i fluidiseringen hos bædden. Framförallt slaggning och kanalbindning var av intresse. Höjden hos bædden antecknades också för att kunna jämföra sandbæddens förmåga att expandera med de olika packningarna.

För varje stegring av luftflödet genomfördes en tryckmätning för bædden där mätning gjordes under en minut för varje steg. Trycken som uppmättes av sensorerna var relativt atmosfärtrycket.

De olika packningarna provades på identiskt sätt, och tester gjordes med  $R = 1$ ,  $R = 0.5$  och  $R = 0.25$ . En detaljerad standardiserad laborationsmetod för försöken hittas i Bilaga A.



Figur 12: Bild på 12 cm bæddhöjd av sand.

#### 3.5.1 Icke-packad fluidiserad bædd

Experiment för bædd utan packning närvarande genomfördes för både Sand I och Sand II. Testerna utfördes på identiskt sätt som experimenten med packning närvarande. Sand I testades för bæddhöjd 12 cm, och Sand II testades för 12 cm respektive 30 cm.

#### 3.5.2 Djup bædd

Experiment med en ökad bæddhöjd, 30 cm, genomfördes för Sand II. Experimenten genomfördes på identiskt sätt som fallet med 12 cm, med skillnaden att endast RMSR 25-3 testades.

### 3.5.3 Definition av superficiell gashastighet

För experimenten användes en superficiell gashastighet som beräknas på följande sätt

$$u = \frac{Q}{A_{tv}}$$

där  $u$  är den superficiella hastigheten för gasen i  $m/s$ ,  $Q$  är volymflödet av gasen i  $m^3/s$  och  $A_{tv}$  är tvärsnittsarean för insidan av cylindern i  $m^2$ .

## 3.6 Sammanställning av data

För att kunna analysera den data som gavs av programmet NI Labview<sup>TM</sup> skapades programmet BachelorThesisSEEX15-20-1.m i MATLAB-sviten. Vid varje körning av gasgenomströmning, exempelvis 0.03  $m/s$ , tog programmet Labview<sup>TM</sup> fram trycket vid fyra olika punkter,  $P_{windbox}$ ,  $P_1$ ,  $P_2$ , och  $P_3$  med en sampling rate på 50, d.v.s. att vid varje sekund som mätningen var igång togs det 50 datapunkter vid varje sensor. Programmet sparade 47 olika mätvektorer totalt. Detta gav i genomsnitt en matris med 47 kolumner och 2500-6000 rader. För att få datan sorterad i naturlig ordning och ta ut rätt tryck vid rätt punkt användes programmen BachelorThesisSEEX15-20-1.m och natsortbib.m[24], Bilaga E.1 och E.3.

All data sorterades i rätt ordning och medelvärdet för varje trycksensor under mätningen togs. Programmet gav sedan en excel-fil där all data kunde analyseras vidare. För vidare analys skrevs även kod som tog ut rätt typ av packning och rätt hastigheter. Denna delen av koden gjorde en ny matris som bara innehöll tryckvärdet för en typ av packning vid ett visst packning/sand-förhållande. Analys av data gjordes med hjälp av figurer och en enklare approximation av minsta fluidiseringshastigheten.

## 3.7 Avgränsningar

Modellen som används är endast en kallflödesmodell, det vill säga att ingen värmtransport betraktas. Det är endast luft som strömmar genom sandbädden och ingen reaktion sker. Dessutom är projektet på en liten skala, vilket gör att en uppskalning eventuellt inte skulle ge samma resultat. Det bör tas i beaktning att analysen gjorts mycket baserat på observationer och inte i stor mängd på mätdata.

En annan avgränsning var att endast två stycken sandstorlekar användes, varav båda befann sig i Geldart Grupp B. Dessa ansågs vara speciellt lämpade då det är dessa som brukar se störst användning inom cirkulerande fluidiserade bäddpannor. Generellt lades inte så stor vikt på valet av sand, utan packningen var det som var av intresse. Ingen särskild hänsyn till bäddeexpansion har tagits utöver enkla observationer.

Alla packningsmaterial testades inte med de båda sandstorlekarna. Som en utgångspunkt testades packningsmaterialen till en början endast med Sand I. Beroende på deras prestation i dessa tester valdes de mest lovande packningsmaterialen ut för att testas vidare med Sand II för att undersöka om deras prestation påverkades av sandvalet.

## 4 Resultat

Följande del av rapporten presenterar de resultat som den experimentella och analytiska delen av undersökningen genererat. Presentationen sker i form av grafer som relaterar parametrar mot varandra, och genom rapportering av de observationer som noterats i labbjournal under experimenten.

### 4.1 Sammanfattad observationsdata

Nedan presenteras vikter och hastighetsdata tagen från de experiment som utförts för Sand I, Sand II samt djup bädd-körning.

#### 4.1.1 Sand I

I tabell 2 presenteras den minsta superficiella hastighet för vilket fluidisering observerades för Sand I, samt högst testade superficiella gashastigheten och mängden sand som krävdes för att fylla upp till 12 cm i cylindern. Ingen minsta fluidiseringshastighet angavs för Raschigringar med förhållande R = 0.5 då den aldrig observerades.

Tabell 2: Observerad minsta fluidiseringshastighet, sandvikt och högst testade superficiella gashastigheten för packningsmaterial vid olika sand/packningsförhållande för Sand I.

	Packnings-material	Minsta fluidiseringshastighet (m/s)	Högsta testade superficiell hastighet (m/s)	Vikt sand (g)
$R = 1$	Icke-packad	0.04	0.35	2237.5
	RMSR 25-3	0.05	0.35	2100.4
	Hiflow-ringar	0.05	0.55	2225.8
	Raschigringar 10x10	0.04	0.55	1349.1
	ASB 1"	0.03	0.55	1101.4
	ASB 1/2"	0.04	0.95	841.9
$R = 0.5$	RMSR 25-3	0.05	0.90	2100.4
	Hiflow-ringar	0.06	1.00	2225.8
	Raschigringar 10x10	-	0.75	1349.1
	ASB 1"	0.03	1.00	1101.4
	ASB 1/2"	0.04	1.00	798.8
$R = 0.25$	RMSR 25-3	0.05	0.95	2100.4
	Hiflow-ringar	0.05	1.00	2225.7

Fluidiseringsfenomen som uppstod under experimenten noterades vid de hastigheter då de förekom. I tabell 3 visas hastighetsintervallen för eventuella fenomen som uppstod för de olika packningsmaterialen. Intervallet är angivet i enheten av den superficiella gashastigheten, m/s. Streck i tabellen indikerar att fenomenet inte observerades vid försöket.

Tabell 3: Observerade fluidiseringsfenomen vid uppmätt hastighetsintervall för alla packningar och packningsförhållanden för Sand I. Hastigheter är angivna i m/s.

	Packning	Kanalbildning	Slugging	Vertikal segregation	Bubbelformation
$R = 1$	Icke-packad	—	0.30-0.35	—	0-0.35
	RMSR 25-3	—	—	—	0-0.35
	Hiflow-ringar	—	0.55-0.55	—	0-0.55
	Raschigringar 10x10	0.07-0.55	0.45-0.55	0.10-0.55	0-0.55
	ASB 1"	—	0.40-0.55	0.40-0.55	0-0.34
	ASB 1/2"	0.50-0.75	—	0.50-0.75	0-0.50
$R = 0.5$	RMSR 25-3	0.90-0.90	—	0.80-0.90	0-0.90
	Hiflow-ringar	—	—	0.70-1.00	0-1.00
	Raschigringar 10x10	0.10-0.75	0.64-0.75	0.10-0.75	0-0.45
	ASB 1"	—	0.64-1.00	0.45-1.00	0-0.34
	ASB 1/2"	0.40-0.60	—	0.30-0.60	0-0.49
$R = 0.25$	RMSR 25-3	—	—	0.70-1.00	0-0.85
	Hiflow-ringar	—	—	0.92-1.0	0-0.60

#### 4.1.2 Sand II

De experiment som genomfördes med Sand II utfördes med packningsförhållandena  $R = 0.5$  och  $R = 0.25$  för RMSR 25-3 och Hiflow-ringar. Minsta fluidiseringshastighet, den högsta testade superficiella hastigheten samt vikten sand som användes för olika sand/packningsförhållanden för Sand II presenteras i tabell 4. Starthöjden för Sand II i experimentet för Hiflow-ringar uppmättes till 12 cm och för RMSR 25-3 till 14 cm.

Tabell 4: Observerad minsta fluidiseringshastighet, sandvikt och högst testade superficiella gashastigheten för packningsmaterial vid olika sand/packningsförhållande för Sand II.

	Packnings-material	Minsta fluidiserings-hastighet (m/s)	Högsta testade superficiell hastighet (m/s)	Vikt sand (g)
-	Icke-packad	0.20	0.65	2309.0
$R = 0.5$	RMSR 25-3	0.25	1.47	2626.3
	Hiflow-ringar	0.20	1.47	2068.0
$R = 0.25$	RMSR 25-3	0.30	1.62	2752.0
	Hiflow-ringar	0.25	1.40	2068.0

Tabell 5 visar intervallen då fluidiseringsfenomen observerats för RMSR 25-3 och Hiflow-ringar vid försök med Sand II.

Tabell 5: Observerade fluidiseringsfenomen vid uppmätt hastighetsintervall för alla packningar och packningsförhållanden. Data för Sand II. Hastigheter är angivna i m/s.

	Packning	Kanalbildning	Slugging	Vertikal segregation	Bubbelformation
-	Icke-packad	—	0.45-0.65	—	0-0.65
$R = 0.5$	RMSR 25-3	—	—	0.20-1.47	0-1.47
	Hiflow-ringar	1.20-1.47	—	0.7-1.47	0-1.47
$R = 0.25$	RMSR 25-3	1.25-1.62	—	1.2-1.62	0-1.62
	Hiflow-ringar	1.40-1.40	—	0.70-1.4	0-1.40

#### 4.1.3 Djup bädd

Tabell 6 visar minsta fluidiseringshastigheter, högst testade superficiella gashastigheten och sandvikt för experiment körd med Sand II under djup bädd-körning.

Tabell 6: Observerad minsta fluidiseringshastighet, sandvikt och högst testade superficiella gashastigheten för packningsmaterial vid djup bädd-körning för Sand II.

	Packnings-material	Minsta fluidiserings-hastighet (m/s)	Högsta testade superficiell hastighet (m/s)	Vikt sand (g)
$R = 1$	Icke-packad djup bädd	0.20	0.60	5177.1
	RMSR 25-3 djup bädd	0.25	0.80	4903.2
	Hiflow-ringar djup bädd	0.25	1.40	2626.3
$R = 0.5$	RMSR 25-3 djup bädd	0.25	1.00	4886.8

Tabell 7 visar hastighetsintervallen då eventuella fenomen uppstod för RMSR 25-3 djup bädd, då tester med Sand

II kördes. För jämförelse är även icke-packad djup bädd tabellerad.

Tabell 7: Observerade fluidiseringssfenomen för djup bädd-körning, Sand II. Hastigheter är angivna i  $m/s$ .

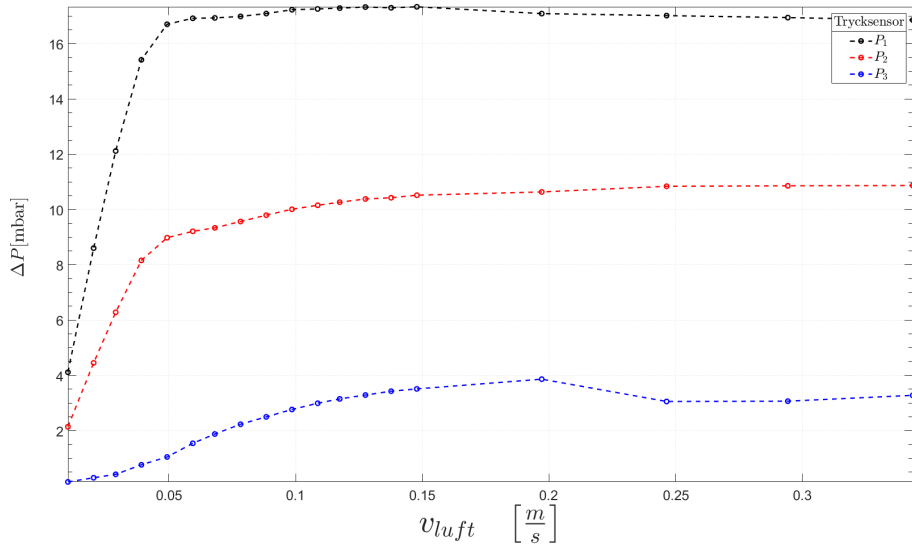
	Packning	Kanalbildning	Slugging	Vertikal segregation	Bubbelformation
$R = 1$	Icke-packad djup bädd	—	0.20-0.60	—	0-0.60
	RMSR 25-3 djup bädd	—	0.45-0.80	—	0-0.35
$R = 0.5$	RMSR 25-3 djup bädd	—	0.50-1.00	—	0-1.47

## 4.2 Resultat Sand I

Sand I var det bäddmaterial som användes till de flesta av försöken och testades för alla bäddmaterial vid förhållanden  $R = 1$  och  $R = 0.5$ . Den kördes även utan packning i en icke-packad bädd och i försök vid förhållandet  $R = 0.25$  för Hiflow-ringar och RMSR 25-3.

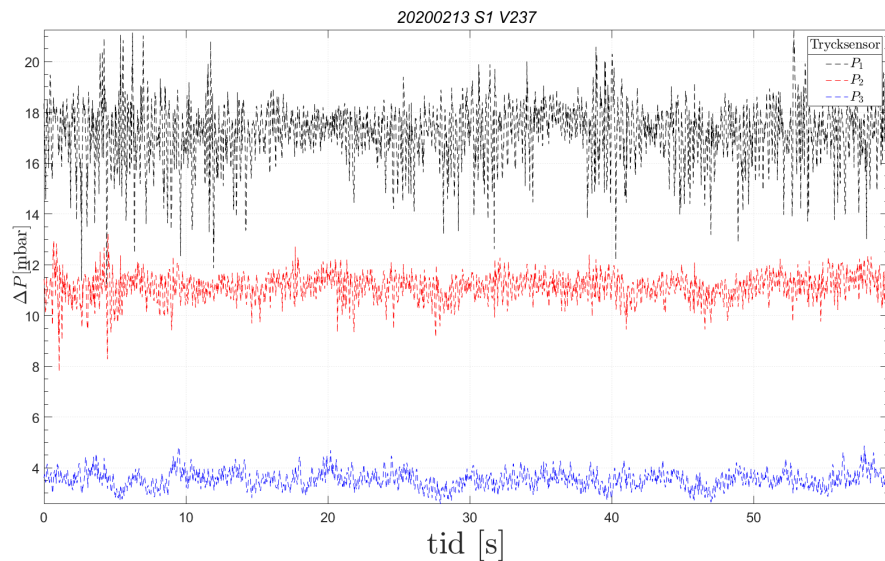
### 4.2.1 Icke-packad fluidiserad bädd

För utvärdering av packningsmaterialens påverkan på fluidiseringssfenomen utfördes försöken för en fluidiserad bädd utan packning med avsikt att uppföra standardvärdet och fenomen för jämförelse. Figur 13 visar hur trycket beror på ökad superficiell gashastighet i den icke-packade fluidiserade bädden för Sand I. Grafen visar hur trycket ökar mycket vid olika avstånd från instromningen av luft där  $P_1$  är trycket närmast botten,  $P_2$  i mitten och  $P_3$  överst. Trycket är relativt atmosfärtryck, övertryck.



Figur 13: Tryckskillnad vid ökad superficiell gashastighet för icke-packad bädd.

Den icke-packade bädden uppvisade mycket bubblor i sanden under experimentets gång och en turbulent yta med stora bubblor från hastigheter över  $0.20 \text{ m/s}$ . Kring  $0.30 \text{ m/s}$  började slugging observeras. Figur 14 visar hur trycket varierar under samplingstiden för icke-packad bädd för Sand I.



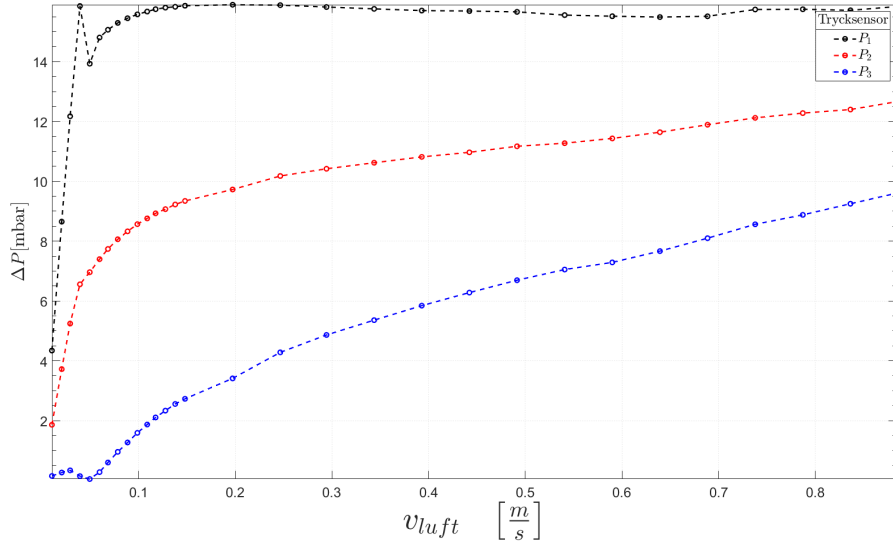
Figur 14: Tryckändring under samplingstiden för Sand I,  $v_{luft} = 0.35 \text{ m/s}$ .

#### 4.2.2 RMSR 25-3

Förhållandet  $\mathbf{R} = 1$  fluidiseraade jämnt vid lägre hastigheter och upptäcktes något mindre bubblor än för icke-packad bädd. Vid runt  $0.08 \text{ m/s}$  kunde packningen inte längre synas vid sandytan på grund av bäddeexpansion. Efter detta började sanden fluidisera över packningen likt en icke-packad bädd, men fortsatt jämnt. Vid  $0.25 \text{ m/s}$  var ytan väldigt turbulent, se figur 17. Vid högre hastighet växte bubblorna i storlek och kring  $0.30 \text{ m/s}$  observerades de förekomma irreguljärt med ökad intensitet.

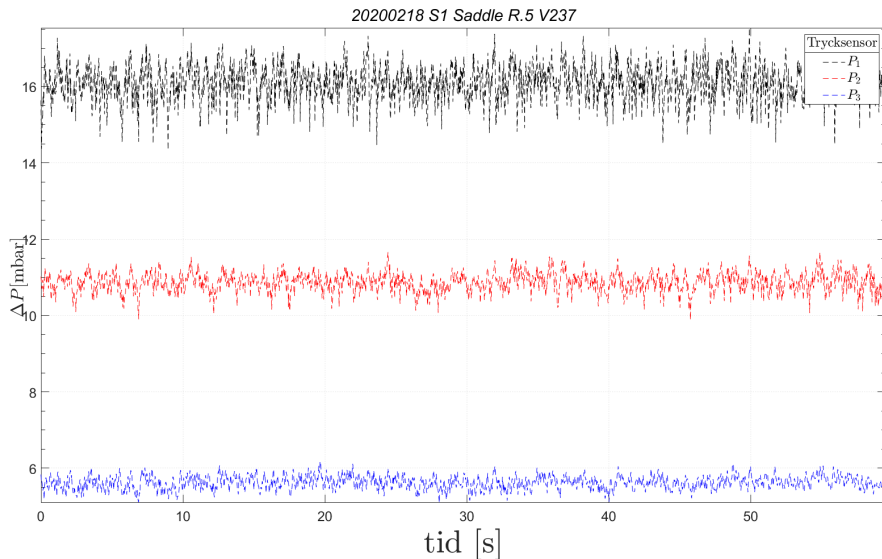
För  $\mathbf{R} = 0.5$  fluidiseras badden jämnt likt den gjorde för  $R=1$ . Fluidiseringen skedde med gradvis bäddeexpansion fram till  $0.40 \text{ m/s}$  där sanden började stänka ovanför packningen och en turbulent yta kunde observeras. När  $0.65 \text{ m/s}$  nåddes hade sandbädden expanderat så att packningen inte längre var möjlig att se. Med expansion ovanför packningen var ytan inte längre lika turbulent, utan fortsatte med en jämn fluidisering. Vid  $0.70 \text{ m/s}$  började ytan bli turbulent. Flödet  $0.90 \text{ m/s}$  gav upphov till ett observerat luftflöde runt individuella packningar som liknades till någon lokal kanalbildning. Sandpartiklar vid ytan började bete sig gasformigt runt, se figur 18, och kunde observeras som en grumlig luft ovanför packningen.

Figur 15 visar hur trycket beror på ökad superficiell gashastighet för packningen RMSR 25-3,  $\mathbf{R} = 0.5$ , Sand I.



Figur 15: Tryck vid ökad superficiell gashastighet för RMSR 25-3, R=0.5.

Figur 16 visar hur trycket förändras under samplingstiden för RMSR 25-3 R=0.5 . Trycket hos sensorn närmast gasinflödet oscillerar mer än de längre ifrån gasinflödet.

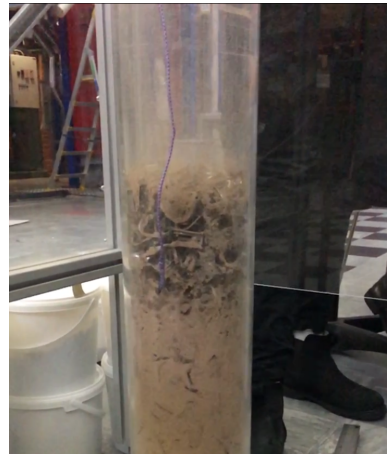


Figur 16: Tryckändring under samplingstiden för RMSR 25-3, R=0.5,  $v_{luft} = 0.35 \text{ m/s}$ .

Fluidiseringen vid förhållandet **R = 0.25** bettade sig likt försöket för R=0.5 i avseende på bäddexpansion och bubbelstorlek. Vid hastigheten  $0.85 \text{ m/s}$  observerades sandpartiklarna ha ett gasliknande beteende över packningen, se figur 18. I samma figur går det även att observera att lite sand hade börjat lägga sig som ett tunt lager ovanpå packningen. Själva bädden var fortfarande fluidiserad.



Figur 17: Bildbeskrivning av turbulent yta.



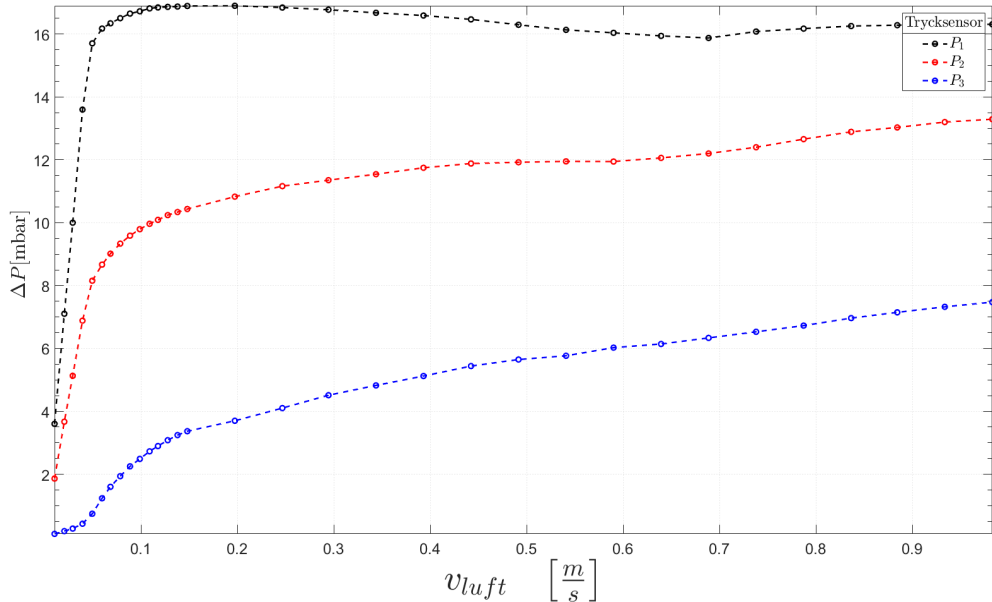
Figur 18: Gasformig sand ovanför packning för Sand I, RMSR 25-3,  $R = 0.25$

#### 4.2.3 Hiflow-ringar

För  $R = 1$  kunde en turbulent yta noteras vid  $0.12 \text{ m/s}$ . Turbulensen vid ytan observerades öka med högre luftflödeshastigheter. Vid  $0.55 \text{ m/s}$  kunde påbörjan till slaggning observeras i bädden.

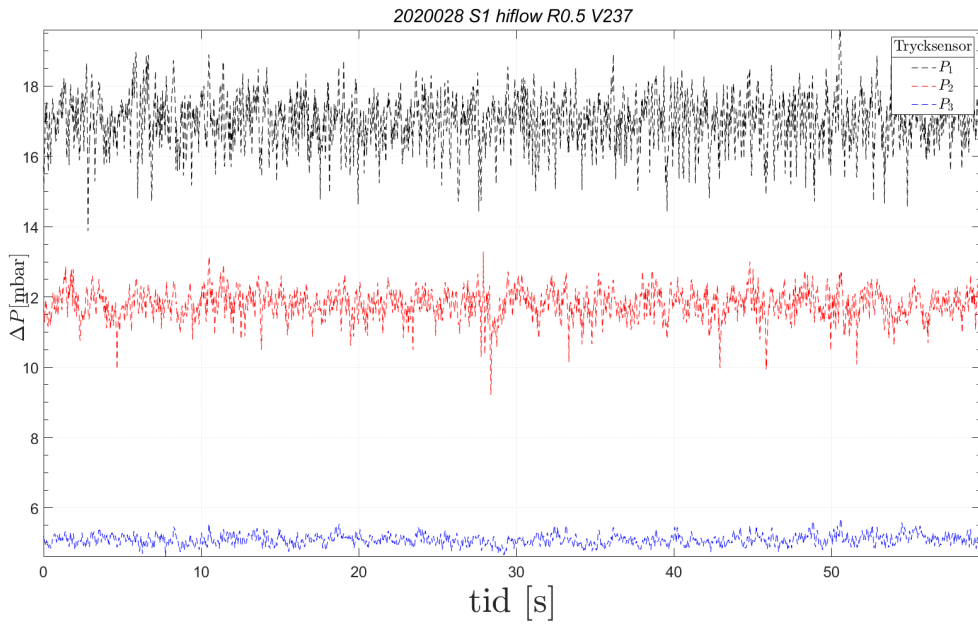
Förhållanden  $R = 0.5$  visade hur sanden började fastna på packningarna vid  $0.09 \text{ m/s}$  i form av att sanden skyttes vid sandytan och inte rann tillbaka. En turbulent sandyta observerades vid  $0.65 \text{ m/s}$ . Vid  $0.80 \text{ m/s}$  hade sandbädden expanderat så att packningen täcktes helt. Hastigheten  $0.95 \text{ m/s}$  visade beteendet med gasformiga sandpartiklar, likt figur 18.

$R = 0.25$  gav att det vid  $0.60 \text{ m/s}$  kunde observeras hur sanden började bete sig gasformigt och sandpartiklar fastnade på packningarna högt upp. Vid  $0.95 \text{ m/s}$  hade så mycket sand fastnat på packningarna att den började rinna tillbaka till sandytan, se figur 40 i Bilaga D. Figur 19 visar hur trycket beror på ökad superficiell gashastighet för packningen Hiflow-ringar,  $R = 0.5$ .



Figur 19: Tryck vid ökad superficiell gashastighet för Hiflow-ringar,  $R = 0.5$ .

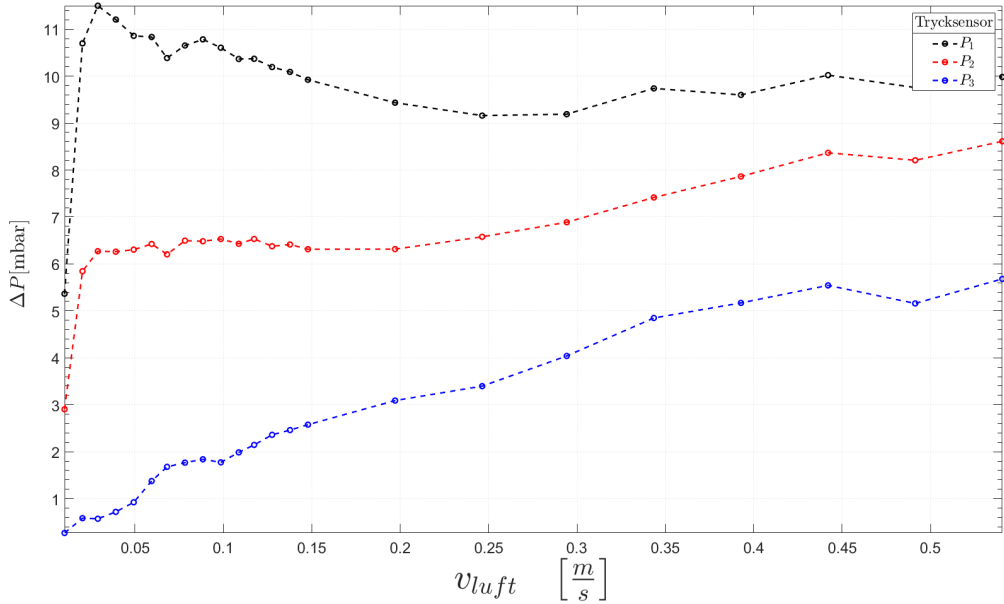
Figur 20 visar hur trycket förändras under samplingstiden för Hiflow-ringar.



Figur 20: Tryckändring under samplingstiden för Hiflow-ringar,  $R = 0.5$ ,  $v_{luft} = 0.35 \text{ m/s}$ .

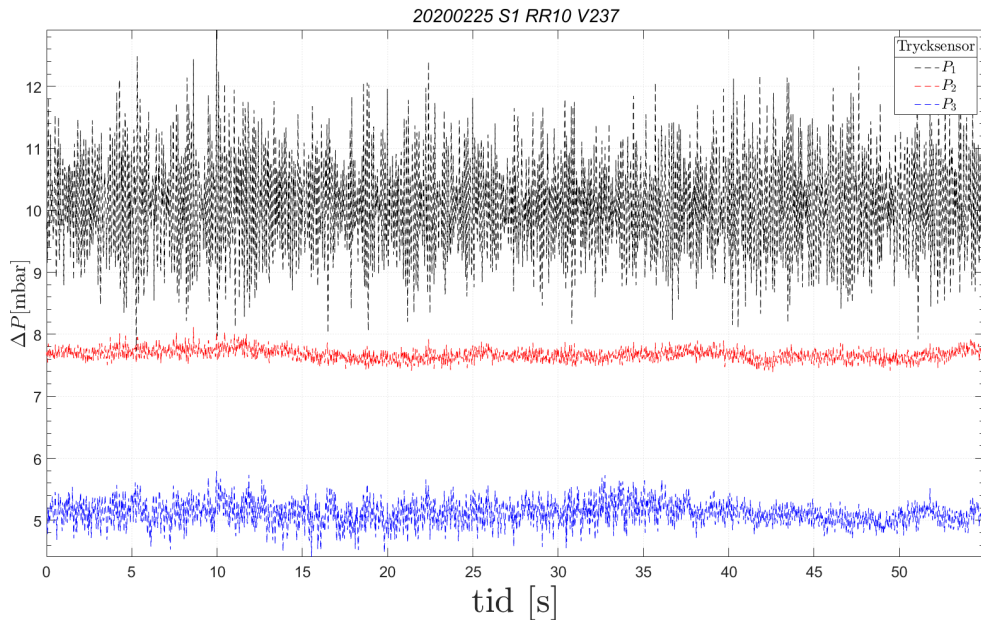
#### 4.2.4 Raschigringar

Raschigringar 10x10mm med  $\mathbf{R = 1}$  upptäcktes tydlig kanalbildning vid låga hastigheter, först observerat runt  $0.07 \text{ m/s}$ . Vid högre hastigheter, med start från  $0.35 \text{ m/s}$  så observerades tydlig vertikal segregation av packningen och sanden. Vid  $0.45 \text{ m/s}$  uppkom till viss del slaggning, samt att sanden upptäcktes dålig cirkulation i bädden. En stor andel av sanden låg för denna lufthastighet ovanpå packningen. Figur 21 visar hur trycket beror på ökad superficiell gashastighet för packningen Raschigringar 10x10 mm,  $R = 1$ .



Figur 21: Tryck vid ökad superficiell gashastighet för Raschigringar 10x10 mm,  $R = 1$ .

Figur 22 visar hur trycket förändras under samplingstiden för Raschigringar vid luftflödet  $0.35 \text{ m/s}$  och packningsförhållandet  $R = 1$ .

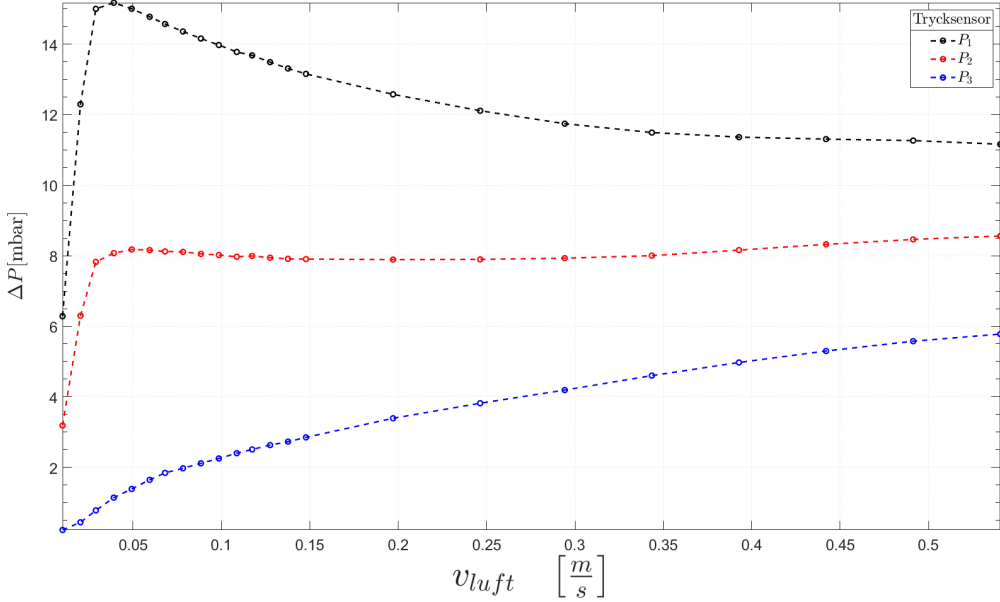


Figur 22: Tryckändring under samplingstiden för Raschigringar ,  $R = 1$ ,  $v_{luft} = 0.35 \text{ m/s}$ .

Raschigringar med förhållandet  $\mathbf{R = 0.5}$ , visade tidig kanalbildning nära väggarna på cylindern vid  $0.10 \text{ m/s}$ . Vid  $0.20 \text{ m/s}$  observerades det hur sanden blåsts upp och landat ovanpå packningen. När  $0.35 \text{ m/s}$  nåtts noterades det att det att sand blåste upp ur tvärsnittsareans mitt, i ett fontänliknande beteende, vilket tyder på kanalbildning. Vidare ökning av luftflöde gav mer deponering av sand ovanför packningen, och det kunde observeras att inga bubblor bildades på ytan vid  $0.45 \text{ m/s}$ . Härefter så noterades det att det var lite sand kvar bland packningen, då majoriteten migrerat uppåt i cylindern. Vid  $0.60 \text{ m/s}$  observerades tendenser till fluidisering för första gången i det lager av sand som skapats ovanpå packningen. Vid  $0.75 \text{ m/s}$  kunde slaggning noteras i sagda sandlager ovanpå packningen.

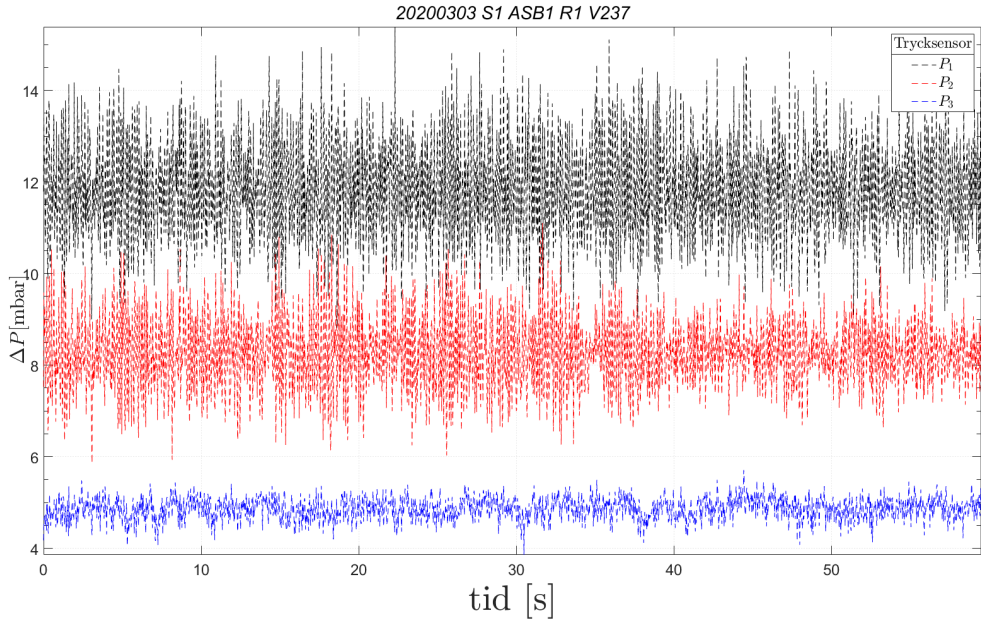
#### 4.2.5 ASB-packning

För **ASB 1”** och  $\mathbf{R = 1}$  expanderade bädden tidigt vid  $0.08 \text{ m/s}$ . Sanden fluidiserade ovanför packningen och vid  $0.40 \text{ m/s}$  kunde slaggning observeras i sanden. Sandytan var dessutom väldigt turbulent. Figur 23 visar hur trycket beror på ökad superficiell gashastighet för packningen ASB 1” vid  $R = 1$ .



Figur 23: Tryck vid ökad superficiell gashastighet för ASB 1”, R = 1.

Figur 24 visar hur trycket förändras under samplingstiden för ASB 1” R = 1 vid luftflödet  $0.35 \text{ m/s}$ .



Figur 24: Tryckändring under samplingstiden för ASB 1”, R = 1,  $v_{lufi} = 0.35 \text{ m/s}$ .

För **ASB 1”** vid **R = 0.5** började sanden stänka upp ovanpå packningen vid  $0.10 \text{ m/s}$ . Det noterades vid  $0.45 \text{ m/s}$  hur större luftfickor bildades runt packningarna. Vid  $0.95 \text{ m/s}$  noterades att packningen inte verkade ha tydlig effekt längre, då majoriteten av sanden befann sig ovanför packningen.

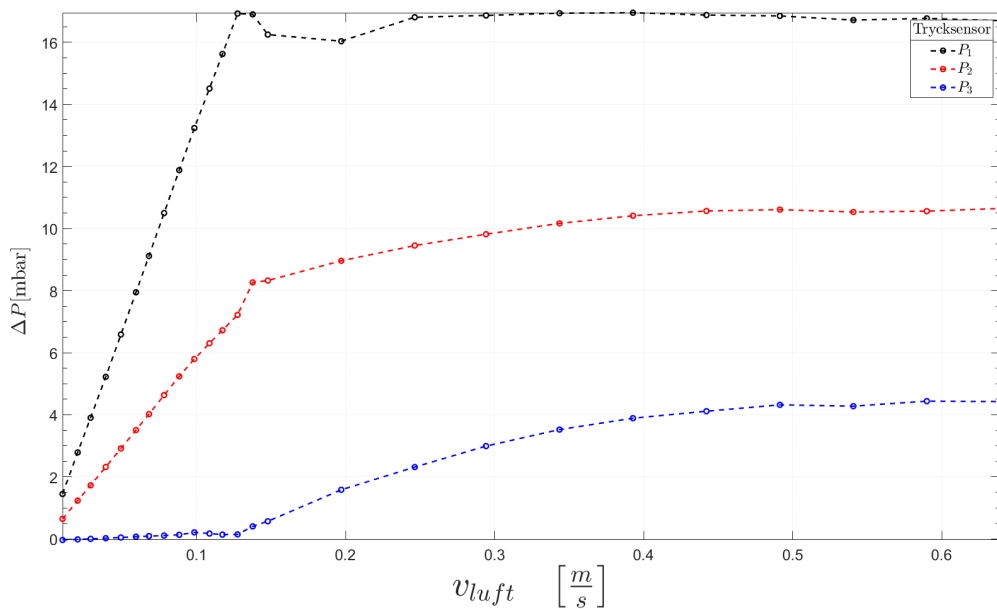
För **ASB 1/2”** med **R = 1** så noterades större luftrum och en separation av sanden från botten av cylindern vid  $0.25 \text{ m/s}$ . Vid  $0.35 \text{ m/s}$  ökade luftrummet kring packningen och sandytan betedde sig mer turbulent. Vid  $0.50 \text{ m/s}$  observerades det gasformiga sandpartiklar ovanför sandbädden. Vid  $0.60 \text{ m/s}$  kunde kanalbildung observeras kring kanterna på cylindern. Efter dessa högre hastigheter hade någon form av vertikal segregation bildats.

För **ASB 1/2"** och **R = 0.5** kunde det vid  $0.30 \text{ m/s}$  observeras hur sanden började lägga sig på toppen av bädden. Vid  $0.40 \text{ m/s}$  kunde viss kanalbildning observeras genom att ena sidan av sandbädden var mer turbulent än andra sidan. Ju mer hastigheten ökade desto mer minskade sanden i botten av cylindern och ökade ovanför packningen, det vill säga vertikal segregation. Vid  $0.70 \text{ m/s}$  började sandpartiklarna överst bete sig gasformigt och vid  $0.95 \text{ m/s}$  noterades en vertikal segregation på  $5 \text{ cm}$  från botten.

## 4.3 Resultat Sand II

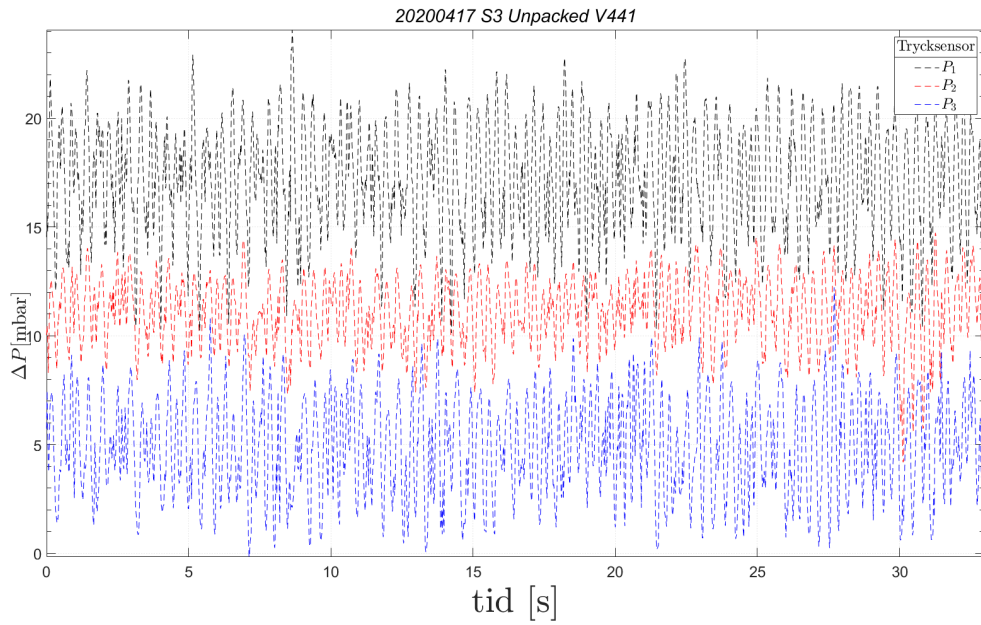
### 4.3.1 Icke-packad fluidiserad bädd

Figur 25 visar hur trycket beror på ökad superficiell gashastighet för den fluidiserade bädden för Sand II. Grafen visar hur trycket ökar mycket vid olika avstånd från inströmmningen av luft, där  $P_1$  är närmast cylinderns botten,  $P_2$  i mitten och  $P_3$  överst.



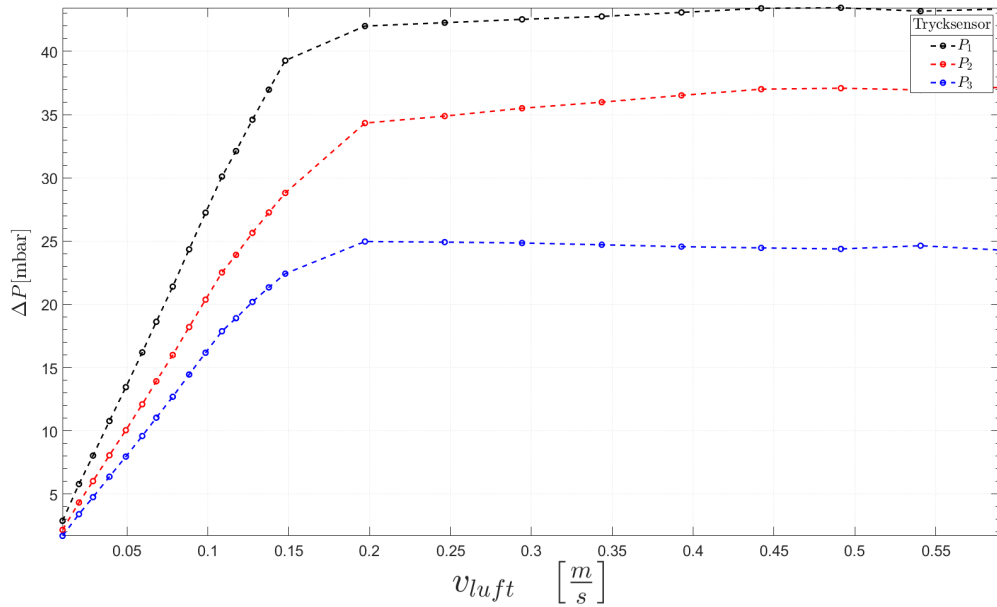
Figur 25: Tryckskillnad vid ökad superficiell gashastighet för icke-packad badd Sand II.

Stora bubblor bildades vid  $0.25 \text{ m/s}$  och vid  $0.45 \text{ m/s}$  förekom viss slaggning. Vid  $0.55 \text{ m/s}$  vad slaggning tydligt förekommande. Figur 26 visar hur trycket förändras under samplingstiden för en icke-packad badd.



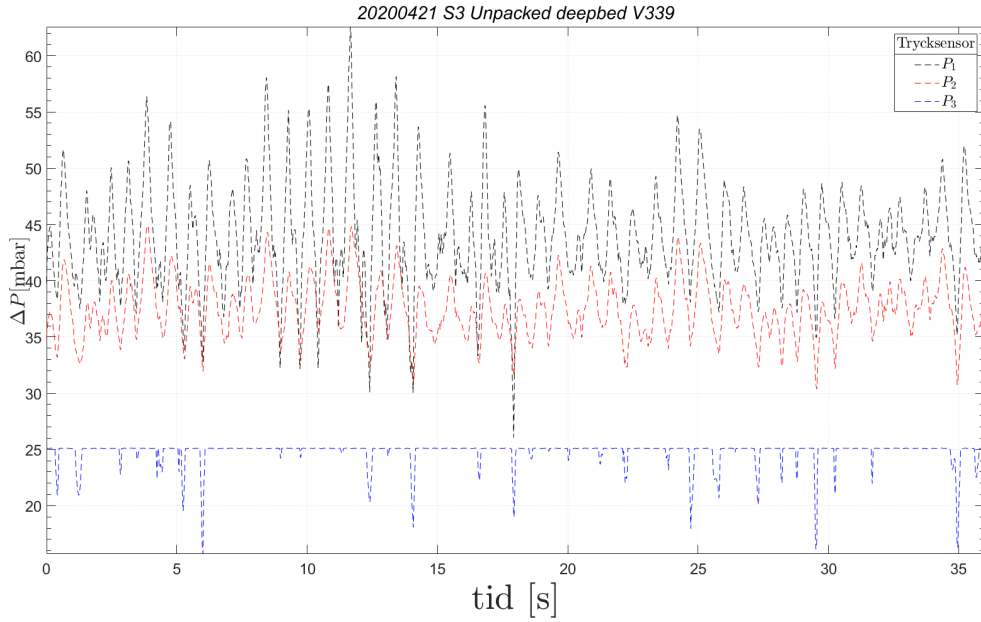
Figur 26: Tryckändring under samplingstiden för Sand II,  $v_{luft} = 0.65 \text{ m/s}$ .

Figur 27 visar hur trycket ändras med ökad gasgenomströmning för Sand II, djup bädd.



Figur 27: Tryckskillnad vid ökad superficiell gashastighet för icke-packad bädd Sand II djup bädd.

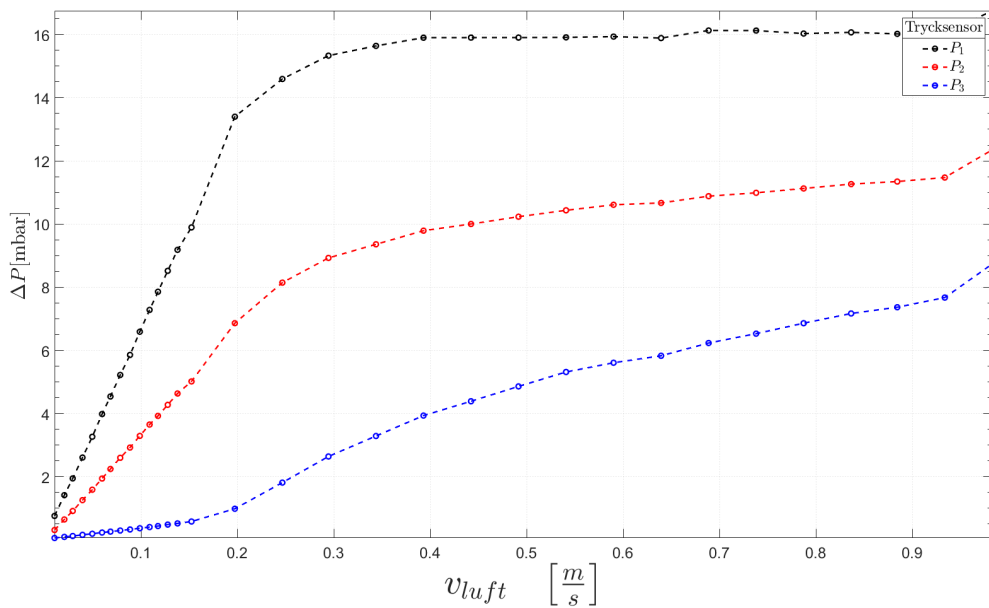
För **djup bädd** kunde slaggning observeras strax efter fluidisation vid  $0.20 \text{ m/s}$  och fortsatte slaggna upp tills att experimentet avslutades vid  $0.60 \text{ m/s}$  då sanden nästan nådde toppen av cylindern. Se figur 41 i Bilaga D. Figur 28 visar hur trycket förändras under samplingstiden för djup bädd, Sand II.



Figur 28: Tryckändring under samplingstiden för Sand II djup bädd,  $v_{luft} = 0.50 \text{ m/s}$ .

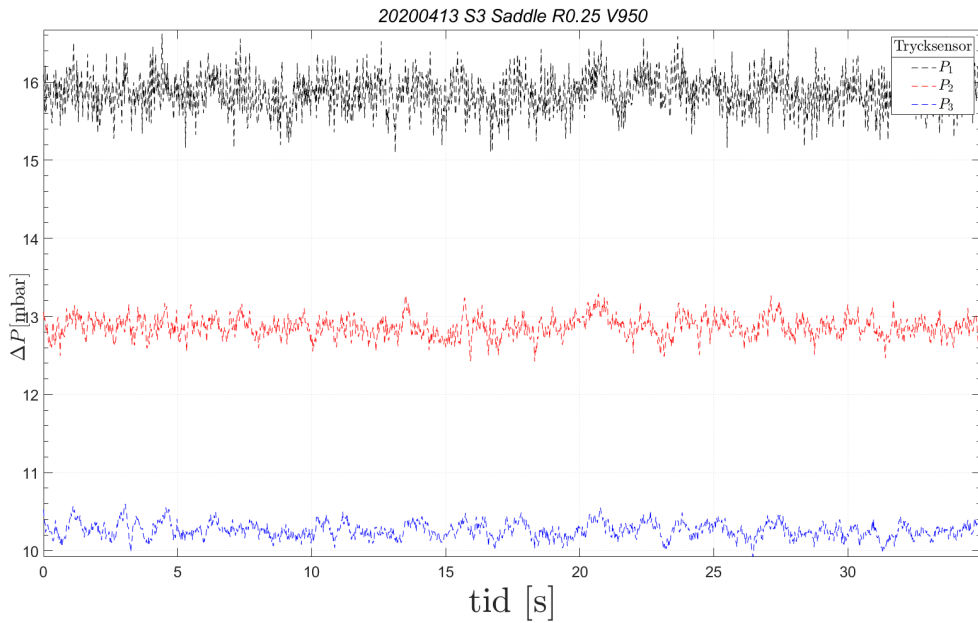
#### 4.3.2 RMSR 25-3

För  $\mathbf{R = 0.5}$  observerades det att sanden skvätte ovanför packningen först vid  $0.61 \text{ m/s}$ . Vid  $0.95 \text{ m/s}$  gjordes en notering om att bubblorna var jämnt fördelade i bädden. Figur 29 visar tryck mot luftflöde för packningen RMSR 25-3 med packningsförhållandet  $R = 0.25$ , Sand II.



Figur 29: Tryck vid ökad superficiell gashastighet för RMSR 25-3 Sand II,  $R=0.5$ .

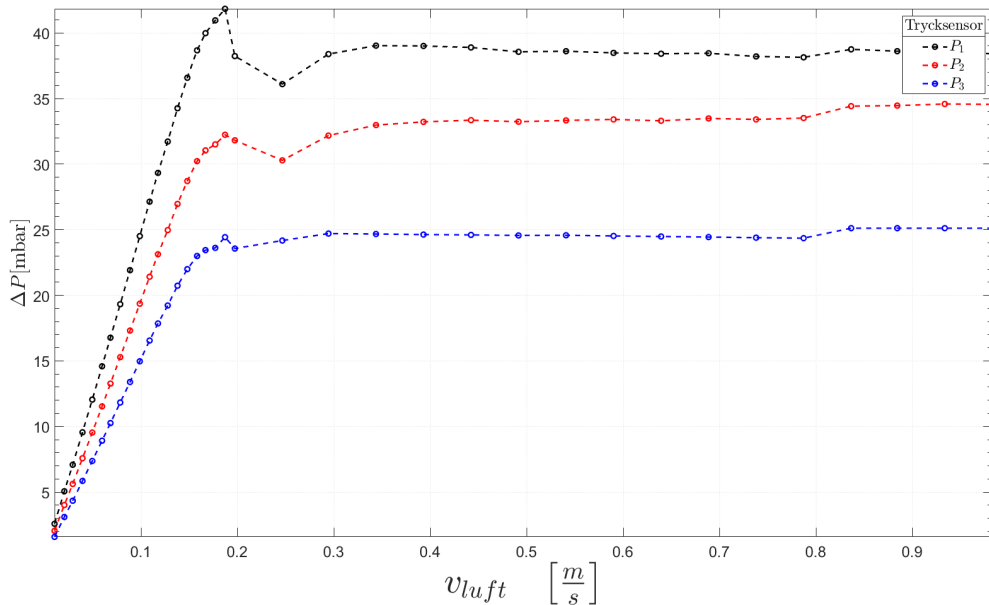
Figur 30 visar tryckförändring under samplingtiden för packningen RMSR 25-3 med packningsförhållandet  $R = 0.25$ , Sand II och flödeshastigheten  $v_{luft} = 1.40 \text{ m/s}$ . För  $\mathbf{R = 0.25}$  observerades lite kanalbildung vid  $1.25 \text{ m/s}$  och vid  $1.62 \text{ m/s}$  så började sanden vid ytan bete sig gasformigt.



Figur 30: Tryckändring under samplingstiden för Sand II, RMSR 25-3,  $v_{luft} = 1.40 \text{ m/s}$ .

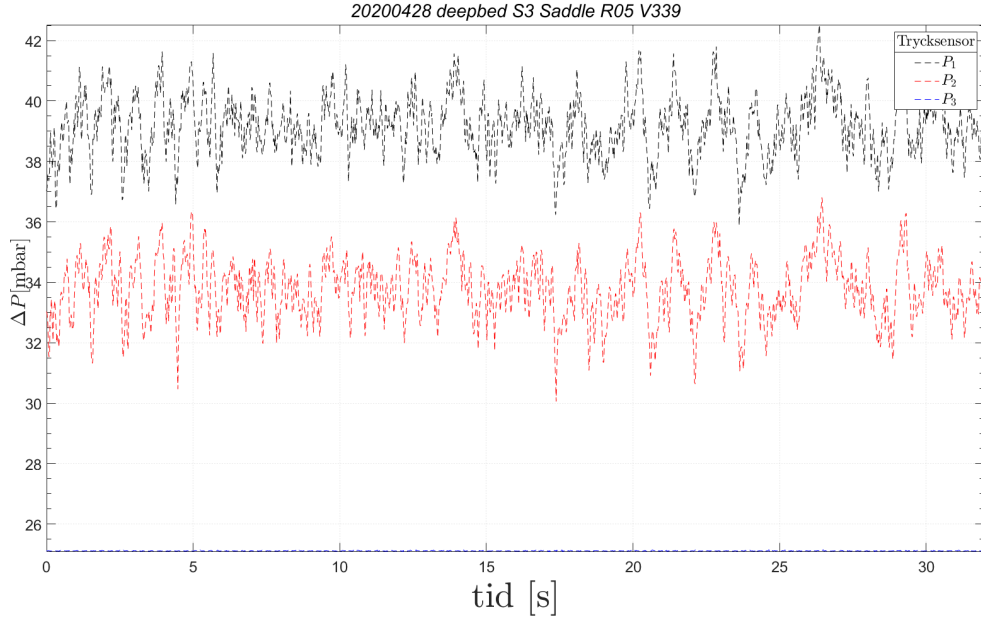
För att se hur konfigurationen presterade med mer sand kördes även experiment med ökad sandhöjd, cirka 30 cm. Med förhållandet  $\mathbf{R} = 1$  vid  $0.3 \text{ m/s}$ , efter fluidisering, förekom stora bubblor i bädden och vid ytan. Vid  $0.45 \text{ m/s}$  observerad sluggning i den sanden som befann sig ovanför packningen. I den del av bädden där packningen fanns förekom en bra fördelning av bubblor.

Efter fluidisering för  $\mathbf{R} = 0.5$ , vid  $0.25 \text{ m/s}$ , noterades en jämn fördelning av bubblor i bädden. Vid  $0.30 \text{ m/s}$  noterades en lite större andel bubblor på ena sidan cylindern jämfört med den andra sidan. Vid  $0.45 \text{ m/s}$  noterades ett visst pulserande i sanden, men inte så att det kunde kallas för sluggning. Figur 31 visar hur trycket ändras med ökad gasgenomströmning för RMSR 25-3 i fallet Sand II, för djup bådd.



Figur 31: Tryckskillnad vid ökad superficiell gashastighet för RMSR 25-3, Sand II djup bådd. Grafen visar hur trycket ökar mycket vid olika avstånd från inströmmningen av luft.

Figur 32 visar hur trycket förändras under samplingstiden för djup bädd, Sand II.

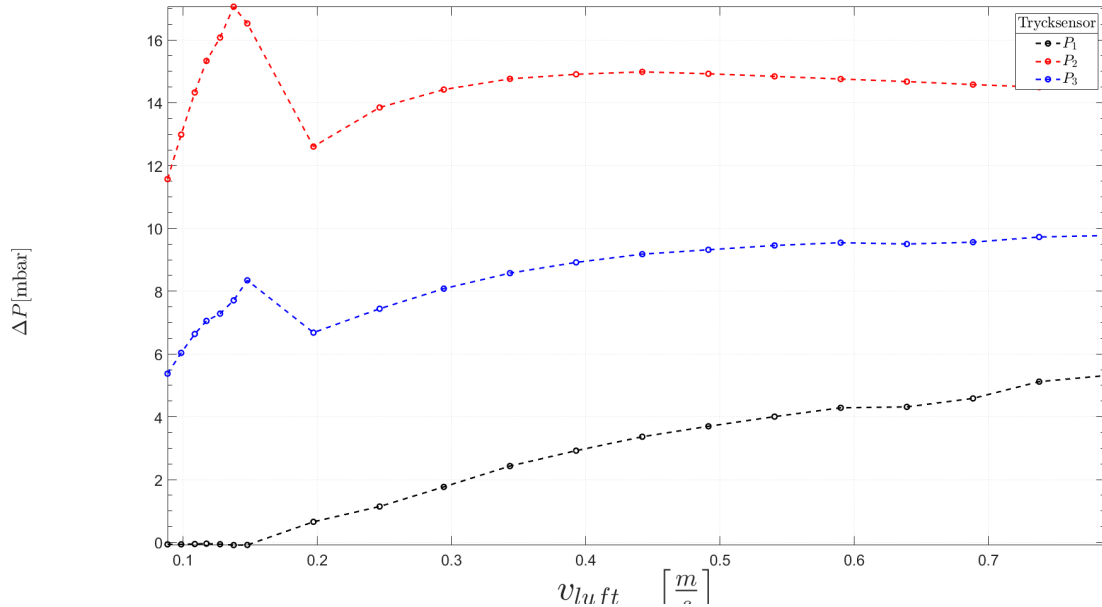


Figur 32: Tryckändring under samplingstiden för RMSR 25-3, Sand II djup bädd,  $v_{luft} = 0.50 \text{ m/s}$ .

#### 4.3.3 Hiflow-ringar

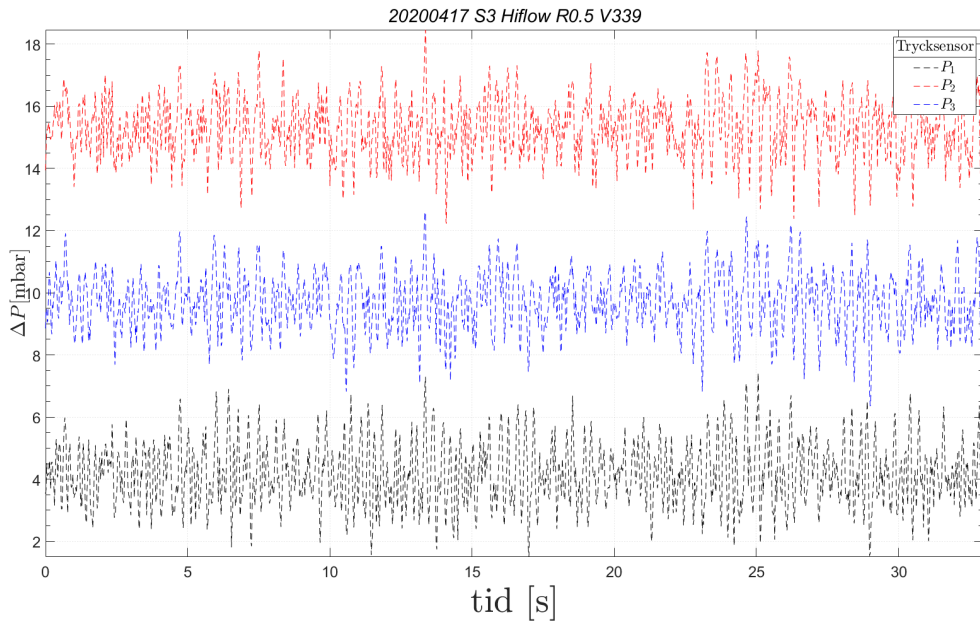
För  $\mathbf{R = 0.5}$  vid  $0.45 \text{ m/s}$  noterades stora bubblor i bädden och vid  $0.75 \text{ m/s}$  stänktes sand ovanför packningen. Vid  $0.90 \text{ m/s}$  var bädden turbulent och vid  $1.2 \text{ m/s}$  noterades viss kanalbildning vid kanterna på cylindernas.

Figur 33 visar tryck mot luftflöde för packningen RMSR 25-3 med packingsförhållandet  $R = 0.5$ , Sand II.



Figur 33: Tryck vid ökad superficiell gashastighet för Hiflow-ringar Sand II,  $R = 0.5$ .

För  $\mathbf{R = 0.25}$  förekom kanalbildning först vid  $1.40 \text{ m/s}$ . Figur 34 visar tryckförändring under samplingtiden för packningen Hiflow-ringar med packingsförhållandet  $R = 0.25$ , Sand II och flödet  $v_{luft} = 1.40 \text{ m/s}$ .



Figur 34: Tryckändring under samplingstiden för Sand II, Hiflow-ringar,  $v_{luft} = 0.50 \text{ m/s}$ .

## 5 Diskussion

Följande del av rapporten avhandlar de tankar och resonemang kring arbetets resultat som ligger till grund för de slutsatser som dragits.

### 5.1 Packningsmaterialens prestation

De packningsmaterial som testades skiljde sig mycket i beteenden. Hur de presterade i relation till varandra beskrivs i följande stycken.

#### 5.1.1 RMSR 25-3

Bland alla använda packningsmaterial hade RMSR 25-3 högst tomrumsfraktion med 96%. Den höga tomrumsfraktionen ledde till att viken sand som användes var ungefär densamma som krävdes till en icke-packad bädd, vilket kan ses i tabell 1. Något som noterades är att den observerade minsta fluidiseringshastigheten,  $0.05 \text{ m/s}$ , för Sand I från tabell 2, är högre än den för icke-packad bädd, vilket kan vara en indikation på att packningen gör det något svårare för sanden att fluidisera.

Det kan ses från tabell 3 att packningsmaterialet RMSR 25-3 tillåter fluidisering utan förekomsten av ogenomskinliga fluidiseringssfenomen, som kanalbildning och slaggning, åtminstone upp till de hastigheter som var testade. Vid jämförelse mellan figur 14 och 16 för **Sand I** så blir det tydligt att packningen har haft inverkan på trycksvängningarna. Från figur 16 ses det att amplituden av svängningarna är mindre och hålls mer konsekventa då packning har introducerats till bädden. Detta stämmer med observationerna gjorda vid de olika körningarna som visade på jämnare och mindre bubbelstorlek. Vid en superficiell gashastighet av  $0.35 \text{ m/s}$  förekom slaggning i den icke-packade bädden medan den packade bädden hade expanderat något men bibehållit jämn bubbelformation i R-förhållanden.

Vid förhållandena  $R = 0.5$  och  $R = 0.25$  vid ökande superficiell gashastighet tycktes bädden expandera jämnt över hela cylindern utan förekomst av någon tydlig vertikal segregering, förrän vid väldigt hög gashastighet.

Icke-packad bädd med **Sand II** fluidiseras vid ett högre gasgenomflöde än Sand I och de bildade bubblorna var

av betydligt större storlek. Vid ökat gasgenomflöde svängde trycket väldigt mycket och med jämn period vilket kan ses i figur 26. Detta tolkades som förekomsten av slaggning, med stöd av observationer från experimenttillfället. Packningsmaterialet RMSR 25-3 testades vid förhållanden  $R = 0.5$  och  $R = 0.25$  med Sand II då det var dessa förhållanden som hade uppvisat störst skillnad gentemot icke-packad bädd för Sand I. Vid tester med tillsatt packningsmaterial kunde höga hastigheter, över  $1.33 \text{ m/s}$ , uppnås utan förekomsten av de icke gynnsamma fluidiseringssfenomen som förekom för Sand II i en icke-packad bädd vid samma hastighet. Från figur 30 ses hur amplituden av tryckförändringarna minskat avsevärt även vid mer än dubbla gasgenomflödet än för icke-packad bädd i figur 26 vid förhållandet  $R = 0.25$ . Bubbelstorleken observerades även att vara liten under försöken med tillsatt packningsmaterial, vilket är gynnsamt för hög massöverföring i bubbelregimen.

RMSR 25-3 testades även vid förhållandet  $R = 0.5$  för djup bädd. Detta visade sig bidra till att starkt begränsa uppkomsten av slaggningssfenomen, som hade varit tydliga och uppkommit tidigt vid försök med djup bädd utan packning.

RMSR 25-3 klarade av höga flöden och varierande partikeldiameter på sanden. Dess diskontinuerliga form tillsammans med höga tomrumsfaktor antas vara en anledning till att den presterar bra, då detta leder till mer turbulens, vilket leder till ökad massöverföring i en reaktor.

### 5.1.2 Hiflow-ringar

Hiflow-ringarna hade en tomrumsfraktion väldigt lik den av RMSR 25-3 men hade en mer cylindrisk form. Den minsta observerade fluidiseringshastigheten var också högre än den för icke-packad bädd. Packningsmaterialets prestation kan liknas till den av RMSR 25-3 då de båda lyckades bra med hålla oönskade fluidiseringssfenomen till ett minimum vid höga gashastigheter, se tabell 3. Hiflow-ringar tillät en jämn expansion av bädden med bibehållen fluidisering. Jämför man figur 16 med figur 20 så ses Hiflow-ringar uppvisa större trycksvängningar vilket tyder på att RMSR 25-3 uppvisa en stabilare fluidisering. Då packningsmaterialen är lika i både tomrumsfraktion och densitet antogs detta bero på formen hos Hiflow-ringar. Formen hos Hiflow-ringarna är mer ordnad och tillät den att lägga sig mer strukterat än RMSR 25-3. Den ordnade strukturen kan leda till att genomflödande gas inte tillåts många flödesvägar, som i sin tur skulle kunna bidra till ett ökat tryckfall. Bädden observerades även ha en starkare tendens att segrera uppåt jämfört med RMSR 25-3.

För Sand II klarade Hiflow-ringar ( $R = 0.25$ ) ett flöde på strax över  $1.77 \text{ m/s}$  utan att oönskade fluidiseringssfenomen uppstod, men med fortsatt god blandning. Hiflow-ringar visade sig prestera bättre än RMSR 25-3 vid extrema gasgenomströmningar för Sand II. Detta kan indikera på att Hiflow-ringar är bättre när höga flöden av gas är eftersträvat, om man utgår från data för Sand II.

### 5.1.3 Raschigringar

Raschigringarnas tomrumsfraktion finns angiven i tabell 1 och 59% för  $10 \times 10 \text{ mm}$ . Tomrumsfraktionen ligger grund till att mängden sand som används var mindre än den använd för de övriga packningsmaterialen som ses i tabell 2, med undantag för ASB som hade lägre tomrumsfraktion.

Vid förhållandet  $R = 1$  för Raschigringar  $10 \times 10$  kunde bädden observeras att fluidisera men gav upphov till kanalbildning redan vid låga hastigheter. Det förekom även slaggning och vertikal segregation av bädden vid högre hastigheter vilket ses i tabell 3. Raschigringar  $10 \times 10$  med förhållandet  $R = 0.5$  hade tendenser till fluidisering men det förekom aldrig jämnt över hela bädden. Vid högre hastigheter hade den största delen av sanden segrerat upp ovanför packningsmaterialet. Även då förekom icke gynnsamma fluidiseringssfenomen i form av slaggning i det bildade sandlagret. Packningsmaterialet hade överlag problem att klara av jämn fluidisering och höga flöden då kanalbildung och vertikal segrering förekom tidigt, för båda testade R-förhållanden. Från figur 22 ses Raschigringar med förhållandet  $R = 1$  visa stora trycksvängningar vid hastigheten  $0.35 \text{ m/s}$ . Framförallt förekommer svängningarna från sensorn  $P_1$  närmast botten av bädden. Dessa svängningar antas kunna relateras till de ognynsamma fluidiseringssfenomen som Raschigringarna gav upphov till vid den hastigheten.

Då testen med Raschigringar  $10 \times 10$  inte gav fördelaktiga resultat med avseende på fluidiseringsegenskaper i jämförelse med en icke-packad bädd så testades inte Raschigringar  $6 \times 6$ . Dessa antogs ha relativt liknande egenskaper som den större varianten av packningsmaterialet och därmed leda till liknande resultat.

### 5.1.4 ASB

De använda packningarna av ASB beräknades ha liknande tomrumsfaktion, oavsett deras skillnad i storlek. Detta borde leda till att massan sand som används för att nå till 12 cm är densamma för ASB 1" som för ASB 1/2". Tabell 2 visar dock att så inte var fallet och mängden sand skilje sig med ca 300 gram för de två olika packningarna. Anledningen till detta kan antas komma från att ASB 1/2" på grund av dess mindre storlek kunde placeras mer ordnat i cylindern och därmed ge mindre plats för sanden. Då den använda cylindern till kallflödesexperimenten endast var 12 cm i diameter kan packningsformationen av ASB 1" skilja sig mellan olika körningar och leda till att den givna tomrumsfaktorn inte längre stämmer för tillämpningen. De båda packningsmaterialen avvek från den angivna tomrumsfaktionen i tabell 2 med runt 5%.

Under testen så fluidiserade bädmmaterialet vid relativt låga hastigheter och bubblorna höll sig jämnt fördelade över ytan. Vid jämförande av minsta fluidiseringshastigheterna i tabell 2 fluidiserade både ASB 1" och 1/2" vid liknande hastighet av en icke-packad bätt. Med stegande ökning av hastigheten expanderade bädmen konsekvent tills sanden nått toppen av packningen vid vilken punkt det började förekomma vertikal segregation från cylinderns botten för båda packningsstorlekar, se figur 3. Sanden fortsatte att ackumuleras tills all sand nått över packningen och fluidiseras ovanför packningsmaterialet. Den låga tomrumsfaktionen av packningarna ledde till att mindre massa av sand användes i bädmen för att uppnå en höjd av 12 cm. Då mängden sand skiljer sig såpass mycket från den icke-packade bädmen antas det även ha legat grund till packningens egenskaper i bädmen.

Resultaten för ASB 1" och ASB 1/2" uppvisade lika expansionsbeteende av bädmen vid  $R = 1$  och  $R = 0.5$  med avseende på vertikal segregation. Bildandet av en bätt ovanför packningen ledde till slut att packningsmaterialet inte hade någon vidare betydelse för fluidiseringen och bubbelsbildningen. De stora variationer i tryck som kan ses i figur 24 påvisar i sig ett slaggingsbeteende för ASB 1". Vid denna superficiella gashastighet, 0.35 m/s, hade bädmen expanderat till den punkt att en stor del av sanden befann sig ovanför packningen. Enligt tabell 3 påvisade inte ASB 1/2" några slaggingsfenomen. Anledningen till detta tros vara att mängden sand i detta försök var för liten för att kunna ge upphov till bubblor tillräckligt stora för att bilda slaggning. Bädmen bildade fortfarande stora bubblor då den expanderat ovanför packningen. Då de två testade storlekarna av ASB gav liknande resultat och hade runt samma tomrumsfaktion som ASB 1/4" så antogs denna storlek på packningsmaterialet ha liknande egenskaper. Då testen inte gav lika positiva resultat som för andra testade packningsmaterial så gjordes inga vidare experiment för att testa ASB 1/4".

## 5.2 Sandskillnader

För majoriteten av experimenten användes Sand I, som hade en lägre medeldiameter på sandkornen gentemot Sand II. Direkta skillnader i prestation var hur en lägre medeldiameter resulterade i en betydligt lägre minsta fluidiseringshastighet i samtliga av försöken som genomfördes. Det är generellt enklare för den strömande luften att passera igenom sand med mindre diameter på kornen. Att Sand II kräver högre flöden av luft för att fluidisera medför att sanden också klarar av högre luftflöden innan det uppkommer störningar i sandens prestation. Det går allstår att argumentera för att sand med lägre medeldiameter på kornen är mer gynnsamt för lägre flöden av luft eftersom man erhåller fluidisering med bra om blandning tidigt, i jämförelse med sand som har högre medeldiameter. För processer som vill hålla ett högt luftflöde, vilket är ett vanligt krav, pekar resultaten från experimenten på att det är gynnsamt att använda sand med högre medeldiameter.

## 5.3 Potentiella packningsproblem

För de packningar som var mest lovande, RMSR 25-3 och Hiflow-ringar, har det inte under testerna funnits underlag för att det skulle ge några problem att använda dem i en fluidiserad bätt. Det verkar som att Hiflow-ringar är något bättre presterande för Sand II än RMSR 25-3 medan verkar RMSR 25-3 bättre för Sand I. För de mindre lovande packningarna, ASB och Raschigringar, så fanns det problem med att sanden migrerade uppåt vid höga gashastigheter och placerade sig ovanpå packningen. Det är ofördelaktigt då det försämrar packningens inverkan på bubbelsstorleken samt att sanden istället fluidiseras ovanför packningen.

Huruvida packningsmaterialet skulle vara ett problem i en reaktor är svårt att formulera en argumentation för, men det framstår inte som omöjligt att valet av packning skulle kunna påverka en potentiell reaktion i en reaktor av

fluidisering båddtyp. En metall skulle kunna reagera med syret i reaktionen, något som sker även om packningen består av rostfritt stål. Packningen bör även klara av de höga temperaturer som skulle kunna uppstå i en reaktion.

## 5.4 Förhållandet mellan mängden packning och sand

Det visade sig tidigt vara fördelaktigt att ha mer packning än sand i cylindern, då detta verkade leda till ökad räckvidd för sanden att befina sig i samma volym som packningen. Ökat gasflöde gör att bådden expanderar, mer packning leder till att kontaktytan mellan packning och sand bibehålls. Raschiringar och ASB 1" hade inte samma fördel av att ha mer packning än sand då de uppvisade fler oönskade fluidiseringssfenomen. ASB 1/2" presterade aningen bättre. Ett stort problem med Raschiringar och ASB var att den fluidiserade bådden hade en stor tendens att vandra uppåt i cylindern vid högre gasflöden. Detta ledde till att mer packning i cylindern bara bidrog till en försenad segrering för dessa typer av packningar. För RMSR 25-3 och Hiflow-ringar visade det sig vara gynnsamt att ha mer packning än sand i cylindern.

## 5.5 Potentiella problem med metoden

Den laborationsmetod som har efterföljts, och som finns beskriven under metod, innehåller moment som gör det svårt att få kvantitativa resultat. En stor del av den slutsats som formulerats utifrån resultaten bygger på observationer där en laborant med ord beskrivit vilka fenomen och beteenden som personen i fråga anser uppkommit i cylindern. Metoden ger inte resultat som nödvändigtvis ger en identisk upprepning om man skulle genomföra samma experiment igen. I tidiga experiment stod det inte helt klart hur alla olika fenomen som uppstod såg ut vilket gjorde bedömningen av det visuella svårare för laboranten.

Utöver detta kunde en noggrannare studie av båddhöjd ha genomförts, för att se ifall detta hade någon inverkan. Det borde också ha diskuterats hurvida massa borde använts istället för höjd för att framställa noggrannare experiment.

## 6 Slutsats

Projektet visar hur olika packningsmaterial har olika förmåga att motverka icke-gynnsamma fluidiseringssfenomen. Två av de testade packningsmaterialen, RMSR 25-3 och Hiflow-ringar, uppvisade positiva effekter och lyckades båda att reducera oönskade fluidiseringssfenomen för alla packningsförhållanden och för båda sandtyperna. De två packningsmaterialen presterade bra även i en djup bådd, och lyckades eliminera flera av de oönskade fluidiseringssfenomen . Raschiringar presterade inte på en acceptabel nivå, då det förekom problem med att få bådden att fluidisera redan vid låga luftflöden, där icke-gynnsamma fluidiseringssfenomen var närvarande. ASB-packning uppförde en svag förmåga att hämma icke-gynnsamma fluidiseringssfenomen, då packningens lägre tomrumsfaktor i kombination med formen på packningen, ledde till vertikal segregation.

De egenskaper som var bärande för god prestation hos de packningsmaterial som bedömdes mest lämpliga, Hiflow-ringar och RMSR 25-3, verkar vara deras höga tomrumsfaktioner samt förmågan att placera sig i ostrukturerade mönster i sanden. Den höga tomrumsfaktionen har effekten att mängden sand i bådden inte påverkas speciellt mycket av packningens närvär. Ostruktureringar packningsmönster motverkar strömningsslutens möjligheter att hitta enklare vägar genom bådden, och motverkar på så sätt kanalbildning. Hiflow presterade bäst för Sand II och RMSR 25-3 bäst för Sand I utav alla packningar, detta tillsammans med packningsförhållandena  $R = 0.5$  och  $R = 0.25$  gav mest positiv inverkan på den fluidiserade bådden och ökade troligtvis masstransporten betydande mellan gas och sanden .

Ett förslag för vidare forskning hade varit att testa de packningarna som gav gynnsamma förhållande i en reaktion för att utvärdera deras kapacitet i att klara höga temperaturer. Det hade också varit intressant att skapa packningar av andra material än metall med en högre tomrumsfaktion för att säkerställa att detta är den faktor som har mest inverkan.

## Källförteckning

- [1] bp p.l.c. BP Statistical Review of World Energy, 2019. URL <https://www.bp.com/content/dam/bp/business-sites/en/global/corporate/pdfs/energy-economics/statistical-review/bp-stats-review-2019-full-report.pdf>.
- [2] Brian J McPherson. Carbon Capture and Storage. *Access Science*, 2010. doi: <https://doi.org/10.1036/1097-8542.YB100132>. URL <https://www.accessscience.com/content/carbon-capture-and-storage/YB100132#YB100132s009>.
- [3] Magnus Rydén, Anders Lyngfelt, Øyvind Langørgen, Yngve Larring, Anders Brink, Sebastian Teire, Hallstein Havåg, and Per Karmhagen. Negative CO<sub>2</sub> Emissions with Chemical-Looping Combustion of Biomass – A Nordic Energy Research Flagship Project. *Energy Procedia*, 114:6074–6082, 2017. doi: <https://doi.org/10.1016/j.egypro.2017.03.1744>. URL <https://www.sciencedirect.com/science/article/pii/S187661021731946X?via%3Dihub>.
- [4] Tianxu Shena, Shen Wanga, Jingchun Yan, Laihong Shen, and Hanjing Tian. Performance improvement of chemical looping combustion with coal by optimizing operational strategies in a 3 kwth interconnected fluidized bed. *International Journal of Greenhouse Gas Control*, 84(103060), 7 2020.
- [5] Malin Hanning, Magnus Rydén, Christina Dueso, Tobias Mattisson, and Anders Lyngfelt. Camn0.9mg0.1o3-δ as oxygen carrier in a gas-fired 10 kwth chemical-looping combustion unit. *Industrial & Engineering Chemistry Research*, 52(21):6923–6932, 10 2017.
- [6] Grace J.R. and Clift R. On the two-phase theory of fluidization. *Chemical Engineering Science*, 29(2): 327–334, 2 1974.
- [7] Donald E. Beasley. Fluidized bed. *Access Science*, 1999. doi: <https://doi.org/10.1036/1097-8542.YB990415>. URL <https://www.accessscience.com/content/fluidized-bed/YB990415>.
- [8] Magnus Rydén. The application of confined fluidization in energy conversion. Technical report, Chalmers, 2018.
- [9] Tobias Mattisson, Erik Jerndal, Carl Linderholm, and Anders Lyngfelt. Reactivity of a spray-dried NiO/NiAl<sub>2</sub>O<sub>4</sub> oxygen carrier for chemical-looping combustion. *Chemical Engineering Science*, 66(20): 4636–4644, 2011. doi: <https://doi.org/10.1016/j.ces.2011.06.025>.
- [10] Hans H. Bruun, Falk Hamad, and Barbara K. Pierscionek. Two-Phase Flow. *AccessScience*, 2014. doi: <https://doi.org/10.1036/1097-8542.757752>. URL <https://www.accessscience.com/content/two-phase-flow/757752>.
- [11] Cornelius Emeka Agu, Lars-André Tokheim, Marianne Eikeland, and Britt M.E. Moldestad. Determination of onset of bubbling and slugging in a fluidized bed using a dual-plane electrical capacitance tomography system. *Chemical Engineering Journal*, 328:997–1008, 2017. doi: <https://doi.org/10.1016/j.cej.2017.07.098>. URL <https://www.sciencedirect.com/science/article/pii/S1385894717312445>.
- [12] Hassan Abba Khawaja and Mojtaba Moatamed. *Multiphysics Modelling of Fluid-Particulate Systems*. Academic Press, 2020. ISBN 978-0-12-818345-8. doi: <https://doi.org/10.1016/B978-0-12-818345-8.00001-9>. URL <https://www.sciencedirect.com/science/article/pii/B9780128183458000019>.
- [13] D. Geldart. Types of Gas Fluidization. *Powder Technology*, 7(5):285–292, 1973. doi: [https://doi.org/10.1016/0032-5910\(73\)80037-3](https://doi.org/10.1016/0032-5910(73)80037-3).
- [14] Ronald W. Breault. *Handbook of Chemical Looping Technology*. Wiley-VCH Verlag GmbH & Co. KGaA, 2018. ISBN 978-3-52-780933-2. doi: <https://doi.org/10.1002/9783527809332>.
- [15] Daizo Kunii and Octave Levenspiel. *Fluidization Engineering*. Butterworth-Heinemann, 2 edition, 1991. ISBN 978-0-08-050664-7. doi: <https://doi.org/10.1016/C2009-0-24190-0>.

- [16] C. Alberto, S. Felipe, and S. C. S. Rocha. Time series analysis of pressure fluctuation in gas-solid fluidized beds. *Brazilian Journal of Chemical Engineering*, 21, 2004. doi: <https://doi.org/10.1590/S0104-66322004000300014>. URL [https://www.scielo.br/scielo.php?script=sci\\_arttext&pid=S0104-66322004000300014&lng=en&tlang=en](https://www.scielo.br/scielo.php?script=sci_arttext&pid=S0104-66322004000300014&lng=en&tlang=en).
- [17] Fyllkropp, 2020. URL <https://www.ne.se/uppslagsverk/encyklopedi/ltext=%C3%A5ng/fyllkropp>. [May 10, 2020].
- [18] Jesper Aronsson, David Pallarès, Magnus Rydén, and Anders Lyngfelt. Increasing Gas-Solids Mass Transfer in Fluidized Beds by Application of Confined Fluidization — A Feasibility Study. *Applied Sciences*, 9(4):634, 2019. doi: 10.3390.
- [19] J. P. Sutherland, George Vassilatos, Hiroshi Kubota, and G. L. Osberg. The Effect of Packing on a Fluidized Bed. *A.I.Ch.E. Journal*, 9(4):437–441, 1963.
- [20] Hansa Engineering AB. Hiflow, 2020. URL <http://hansa-engineering.se/miljoteknik-processteknik/fyllkroppar/hiflow/>.
- [21] Hansa Engineering AB. RMSR, 2020.
- [22] Hembryggning Gert Strand AB. Rashigringar & Fyllkroppar, 2020. URL <https://hembryggning.se/utrustning-for-jasning/tillbehor/rashigringar-fyllkroppar>.
- [23] Vereinigte Füllkörper-Fabriken GmbH & Co. KG. DURANIT, 2020. URL [http://www.vff.com/phocadownloadpap/120521\\_{\\_}duranit{\\_}ef{\\_}download.pdf](http://www.vff.com/phocadownloadpap/120521_{_}duranit{_}ef{_}download.pdf).
- [24] Stephen Cobeldic. natsortbib.m, 2019. URL <https://se.mathworks.com/matlabcentral/fileexchange/47434-natural-order-filename-sort>.
- [25] Yair Altman. screencapture.m, 2016. URL <https://www.mathworks.com/matlabcentral/fileexchange/24323-screencapture-get-a-screen-capture-of-a-figure-frame-or-component>.

## Bilagor

### A Standardiserad laborationsmetod

#### Laborationsmetod

##### Datorprogram

1. Sätt på och logga in på datorn i experimenthallen
2. Starta LabVIEW
3. Starta rätt program i LabVIEW, i vårt fall Jespers "Cold Flow-model"

##### Sanden

4. Sila sanden (vid behov). Gå annars till steg 6
5. Beräkna medeldiameter för sanden och märk sandens behållare med namn och diameter

##### Unpacked sand

6. Beräkna medeldensitet på sanden som används
7. Beräkna hur mycket sand som krävs för att få en bäddhöjd på 12 centimeter
  - a. Notera vikten på sanden
8. Häll i uppmätt sand i tuben
  - a. Notera höjden
9. Notera att MFC FR är öppen
10. Kalibrera LabVIEW med "calibrate"-verktyget.
11. Ange volymflöde för MFC
  - a. se excel för vilket volymflöde
  - b. kontrollera att volymflödet inte överstiger 400l/min för MFC FR. Om det gör det, genomför steg 13.
  - c. Spara med rätt filnamn (DATUM\_SAND\_PACKNING\_VF\_R) och i rätt folder
  - d. spara tryckdata i 1 minut med "Save"-verktyget
  - e. anteckna observationer i lab-boken
  - f. bedöm om det är värt att fortsätta experimentet (se steg 14).
12. Upprepa steg 11 med nytt volymflöde.
13. Vid ~400 L/min ändra MFC från FR till AR
  - a. Sänk först FR-flödet successivt till noll
  - b. Öka AR-flödet successivt till önskat volymflöde
14. Avbryt då slugging/splashing är för overdriven. Se avsnitt "Avsluta Försök".

##### Packed sand

15. Notera vilken ratio R försöket ska hålla
16. Fyll med packning till ca ~12 cm för R=1
  - a. notera massan av packningen som används
  - b. använd packningsmassan för R=1 för att beräkna massan packning som ska användas vid R=0,5 och R=0,25.
17. För R=0,5 eller 0,25, fyll på med beräknad packningsmassa.
18. Fyll sand till ~12 cm
  - a. notera massan av sanden
19. Notera att MFC FR är öppen

20. Kalibrera LabVIEW med "calibrate"-verktyget.
21. Ange volymflöde för MFC
  - a. se excel för vilket volymflöde
  - b. kontrollera att volymflödet inte överstiger 400l/min för MFC FR. Om det gör det, genomför steg 13.
  - c. Spara med rätt filnamn (DATUM\_SAND\_PACKNING\_VF\_R) och i rätt folder
  - d. spara tryckdata i 1 minut med "Save"-verktyget
  - e. anteckna observationer i lab-boken
  - f. bedöm om det är värt att fortsätta experimentet (se steg 14).
22. Upprepa steg 11 med nytt volymflöde.
23. Vid ~400 L/min ändra MFC från FR till AR
  - a. Sänk först FR-flödet successivt till noll
  - b. Öka AR-flödet successivt till önskat volymflöde
24. Avbryt då slugging/splashing är för överdriven. Se avsnitt "Avsluta Försök".

#### **Avsluta försök**

25. Töm cylindern på så mycket sand som är möjligt
26. Separera sand från packning med en sil
27. Rengör cylindern med dammsugare
28. Skicka datafilerna till Google Drive-mapp

#### **Notera**

- Det kan hamna sand i tuberna för tryckfallsmätning
  - om så är fallet, stanna experimentet och rengör.

## B Stegringschema hastigheter

Gas Velocity [m/s]	Input Volumetric air flow [NL/min]
0,01	7
0,02	14
0,03	20
0,04	27
0,05	34
0,06	41
0,07	47
0,08	54
0,09	61
0,1	68
0,11	75
0,12	81
0,13	88
0,14	95
0,15	102
0,2	136
0,25	170
0,3	203
0,35	237
0,4	271
0,45	305
0,5	339
0,55	373
0,6	407
0,65	441
0,7	475
0,75	509
0,8	543
0,85	577
0,9	610
0,95	644
1	678

## C Figurer - Apparatur



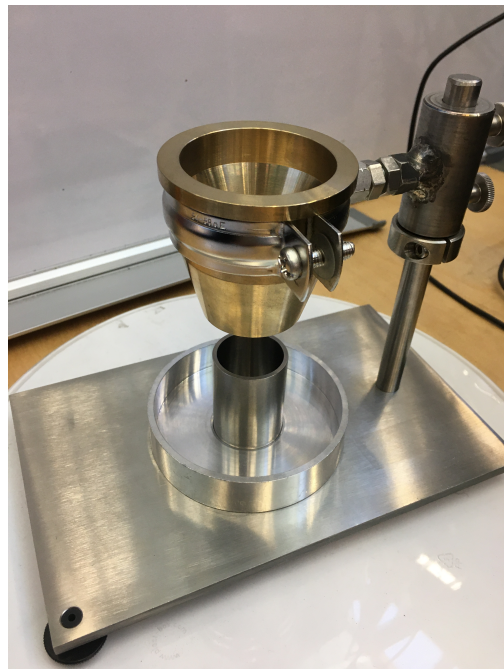
Figur 35: Bilder på dammuppsamling (vänster) och massflödesreglering (höger)



Figur 36: Bilder på silar (vänster) och silmaskin (höger)



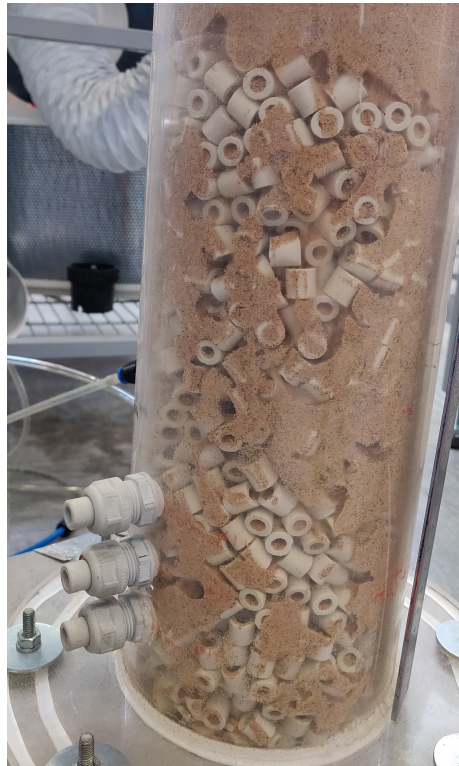
Figur 37: Bilder på bäddsensorer (vänster) och kammarsensor (höger)



Figur 38: Bild på instrument för att bestämma sandens densitet.

## D Figurer - Resultat

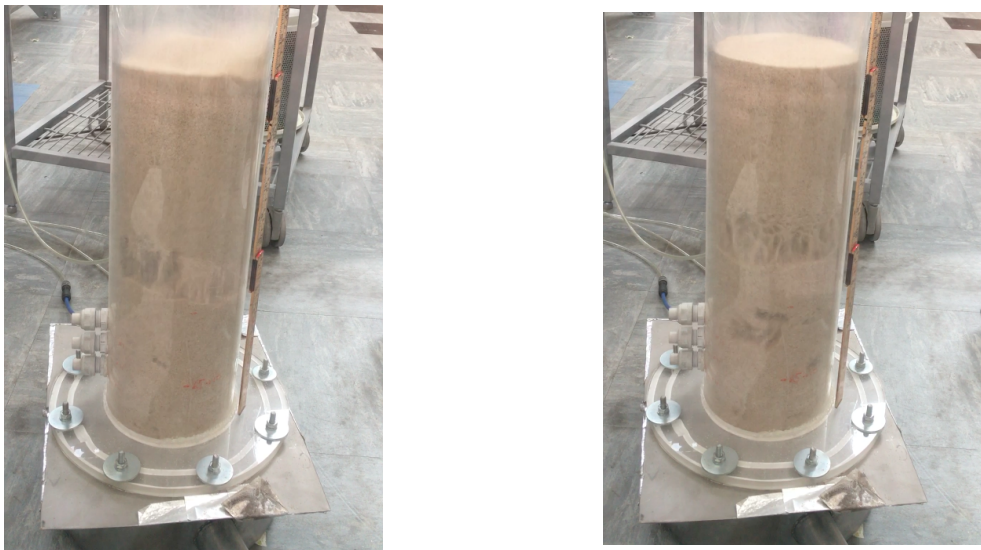
I huvudtexten gjordes ett urval av de resultat som var mest intressanta att diskutera. Nedan finnes tryckfall för övriga experiment som inte presenterades i huvudtexten.



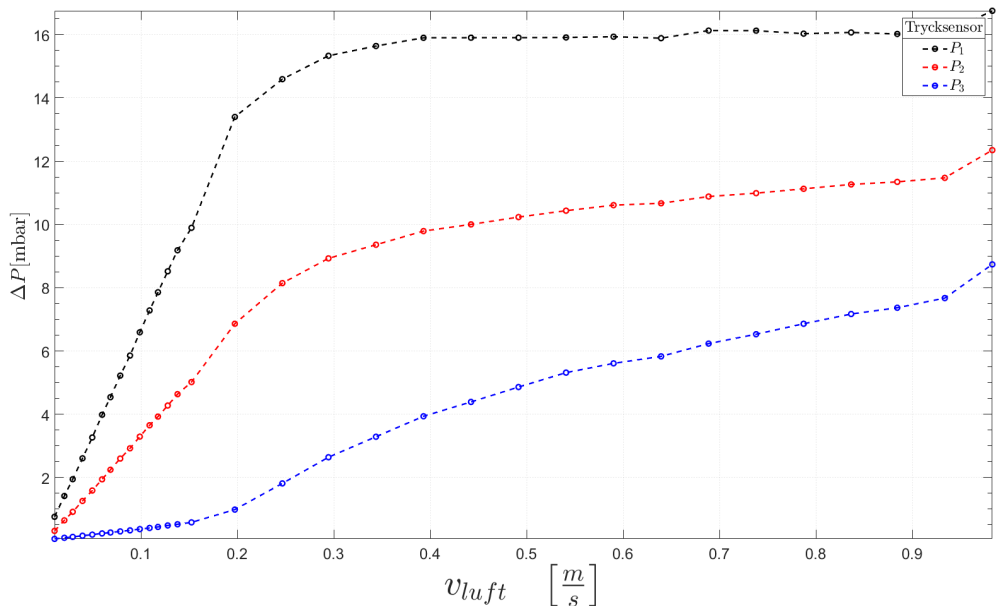
Figur 39: Vertikal segregation av sand för Raschigringar,  $R = 0.5$ .



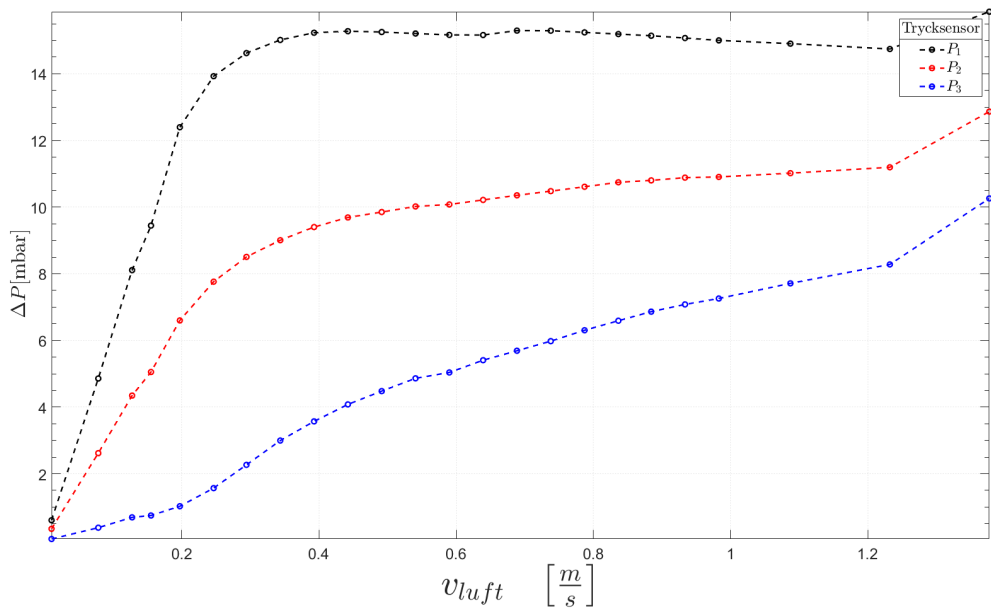
Figur 40: Sand som rinner ner efter att ha hamnat på packningen.



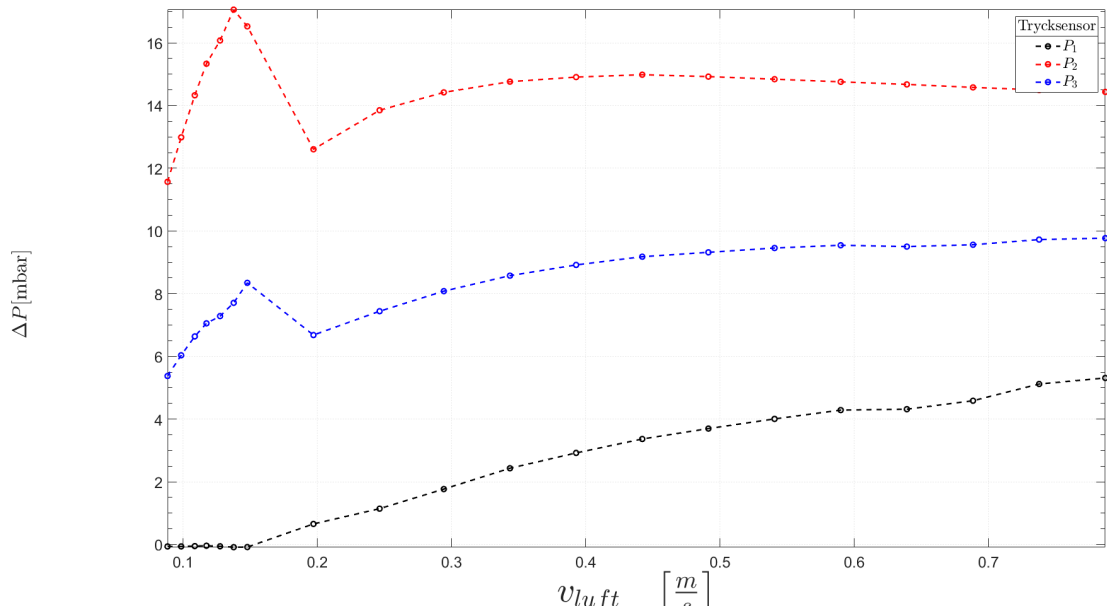
Figur 41: Slaggning i Sand II, djup bädd.



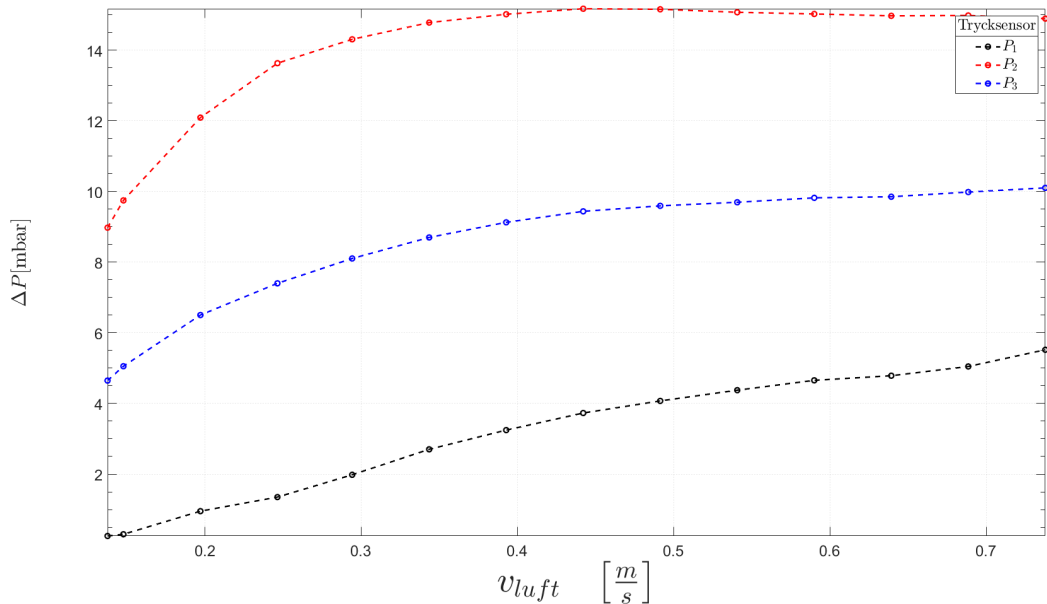
Figur 42: Tryck vid ökad gasgenomströmmning för RMSR 25-3 Sand II,  $R = 0.5$ .



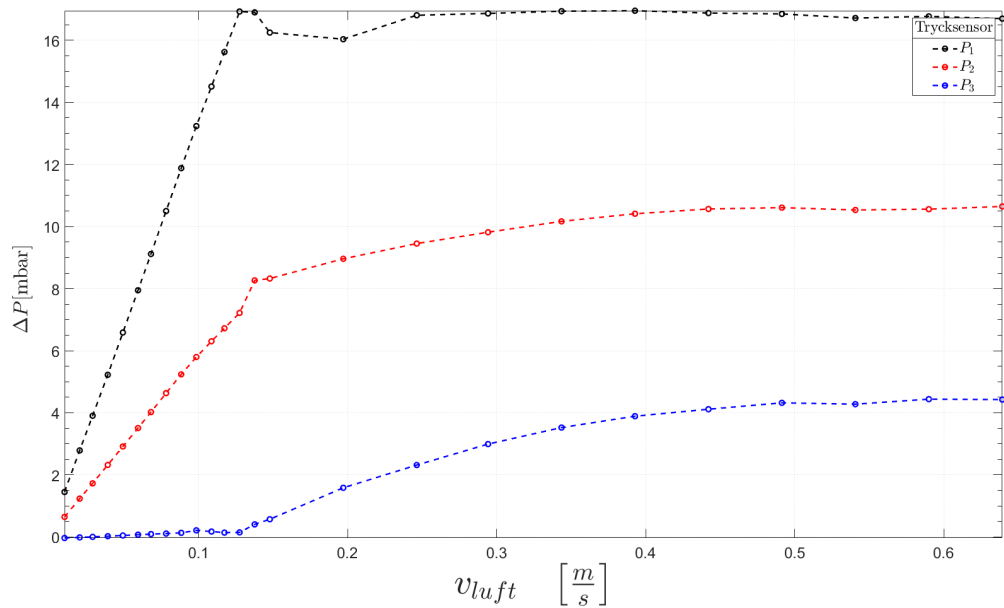
Figur 43: Tryck vid ökad gasgenomströmmning för RMSR 25-3 Sand II,  $R = 0.25$ .



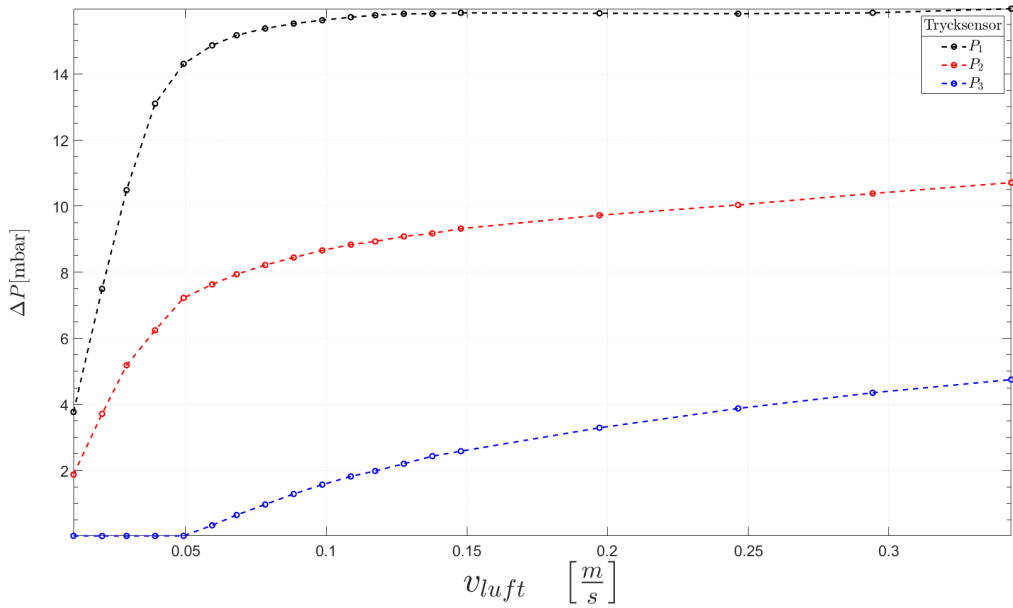
Figur 44: Tryck vid ökad gasgenomströmmning för Hiflow-ringar Sand II,  $R = 0.5$ .



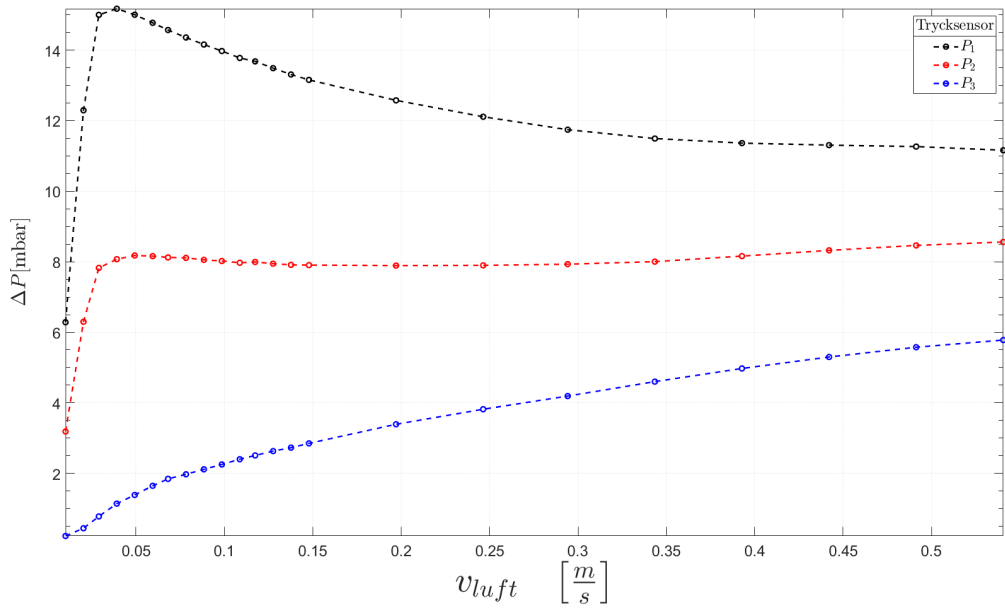
Figur 45: Tryck vid ökad gasgenomströmmning för Hiflow-ringar Sand II,  $R = 0.25$ .



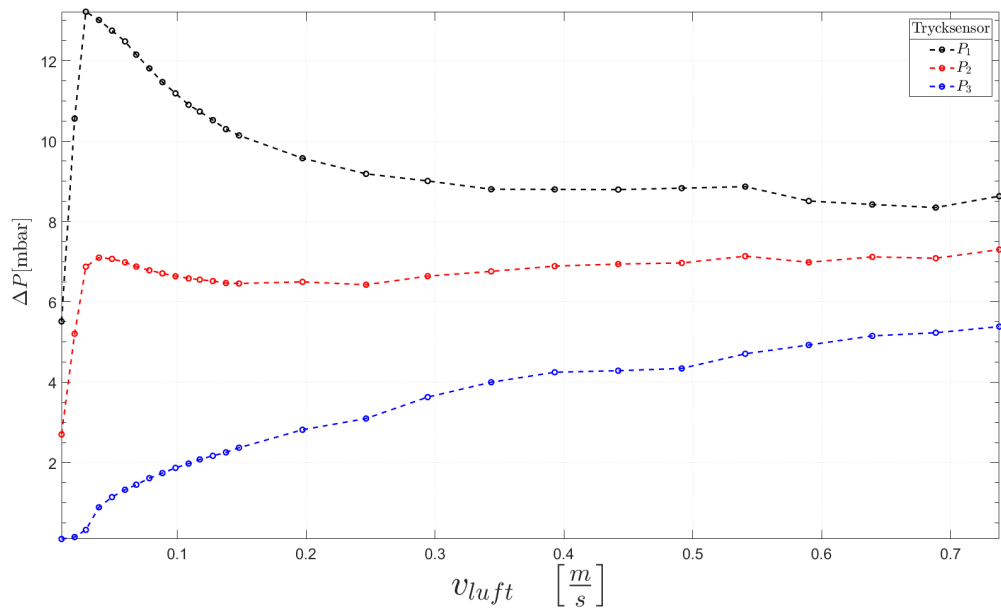
Figur 46: Tryck vid ökad gasgenomströmmning för icke packad bädd, Sand I.



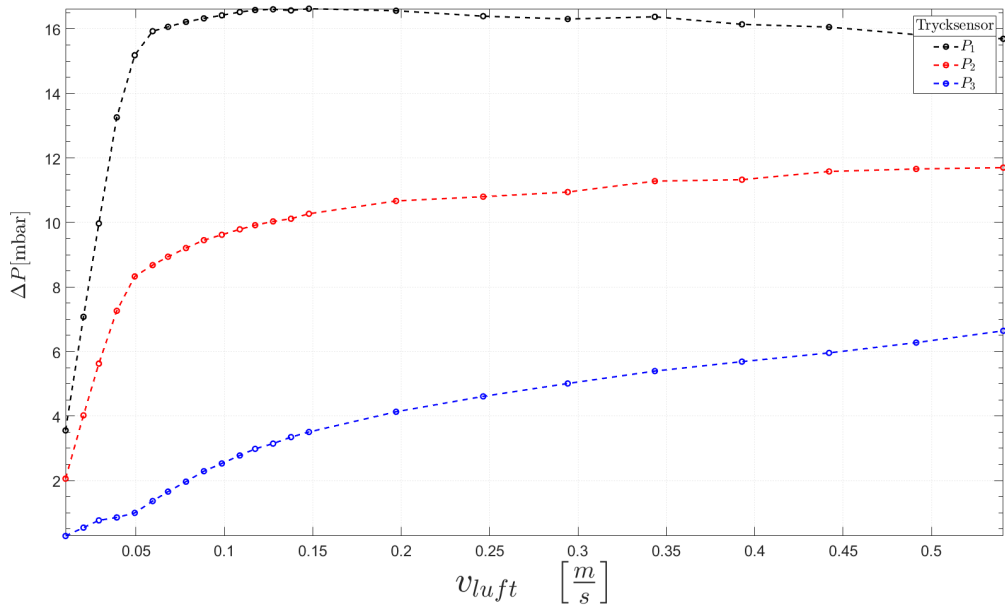
Figur 47: Tryck vid ökad gasgenomströmmning för RMSR 25-3, Sand I, R = 1



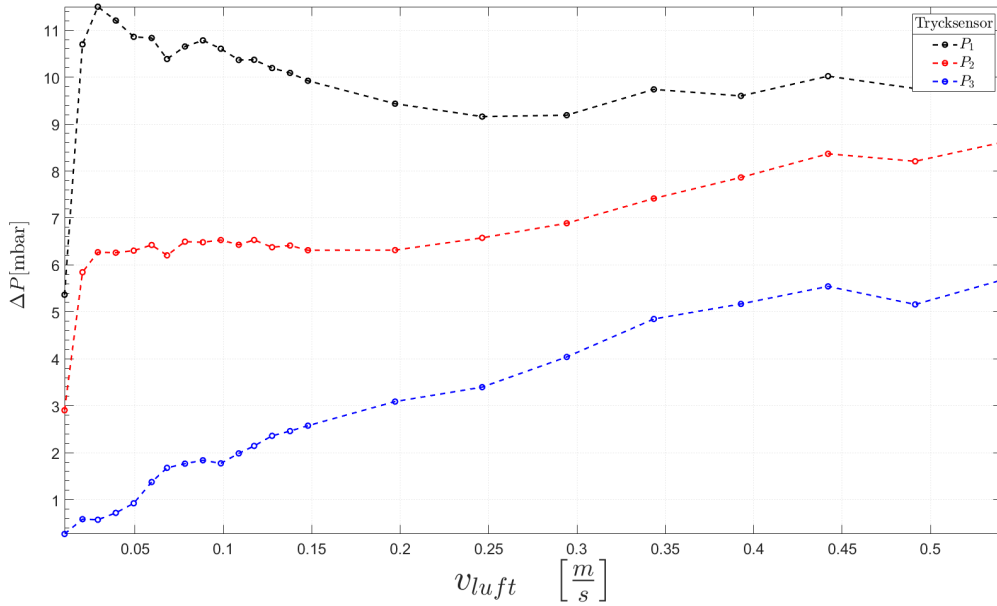
Figur 48: Tryck vid ökad gasgenomströmmning för ASB 1", Sand I, R = 1



Figur 49: Tryck vid ökad gasgenomströmmning för ASB 1/2", Sand I, R = 1



Figur 50: Tryck vid ökad gasgenomströmmning för Hiflow-ringar, Sand I, R = 1



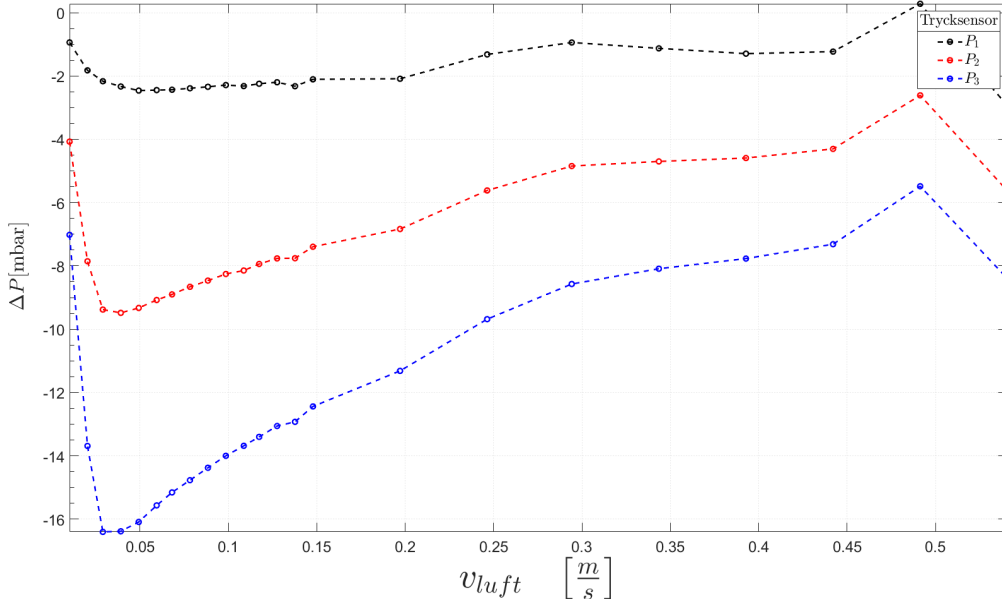
Figur 51: Tryck vid ökad gasgenomströmmning för Raschigringar, Sand I, R = 1

## D.1 Tryckfall över hela bädden

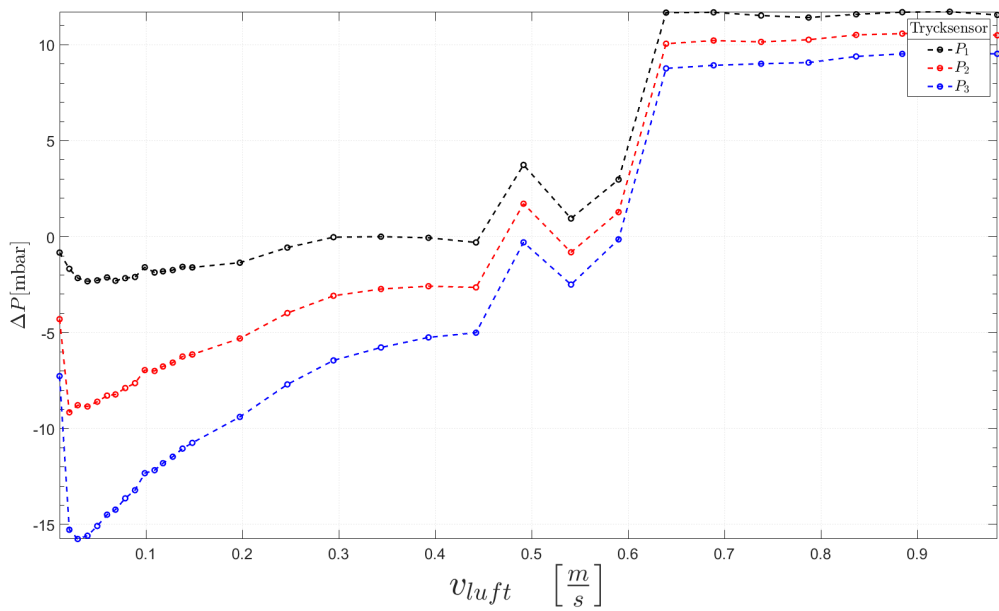
Tryckfallet över hela bädden beräknas på följande vis

$$\Delta P = P_{\text{windbox(Bädd)}} - P_{\text{windbox(Tom bädd)}} - P_{\text{atm}}$$

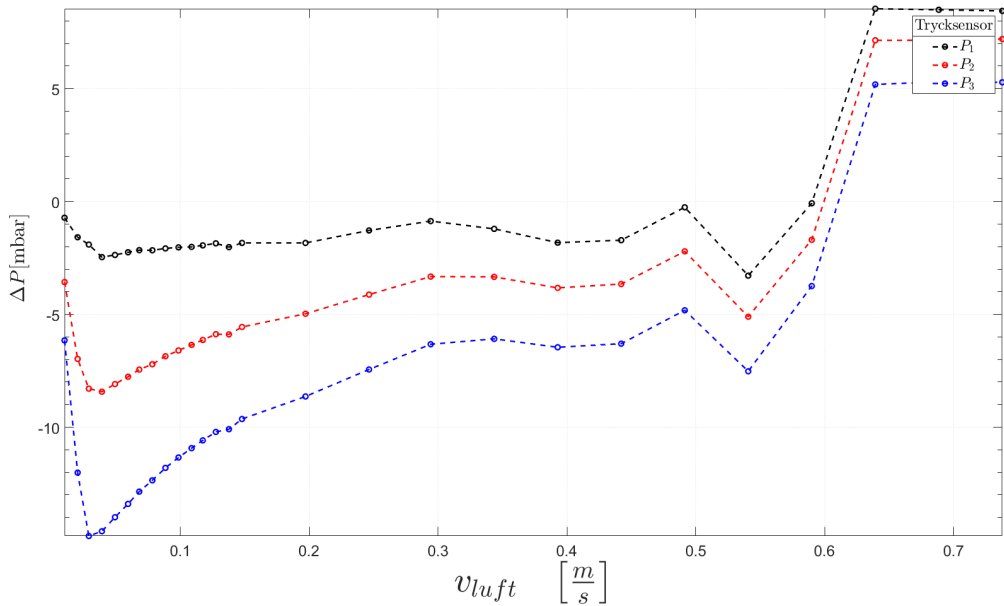
Notera att de fall då trycket planar ut i slutet innebär att trycksensorn för  $P_{\text{windbox}}$  nått sitt maxtryck.



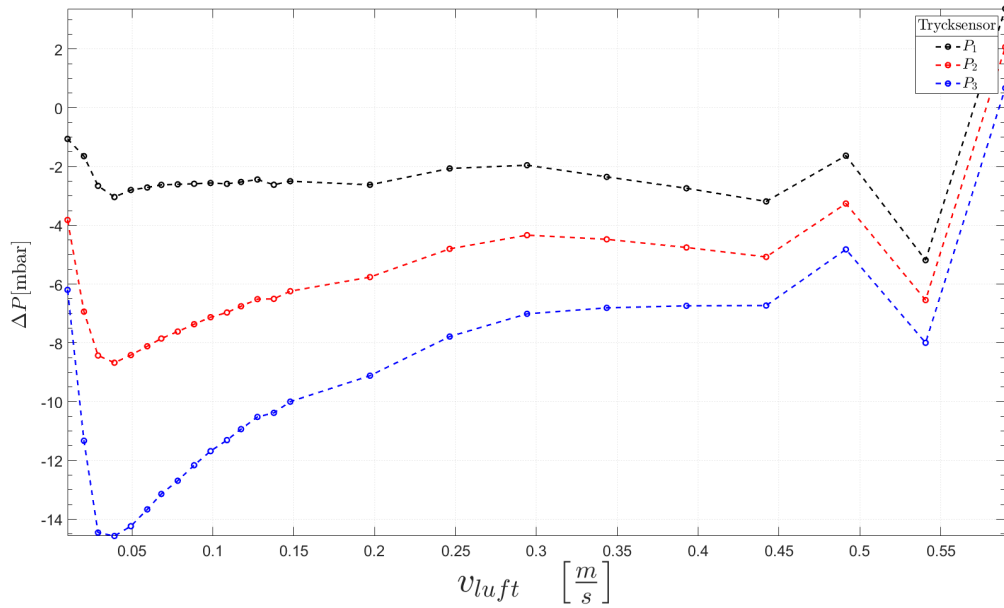
Figur 52: Tryckfall över hela bädden vid ökad gasgenomströmmning för ASB 1", Sand I, R = 1



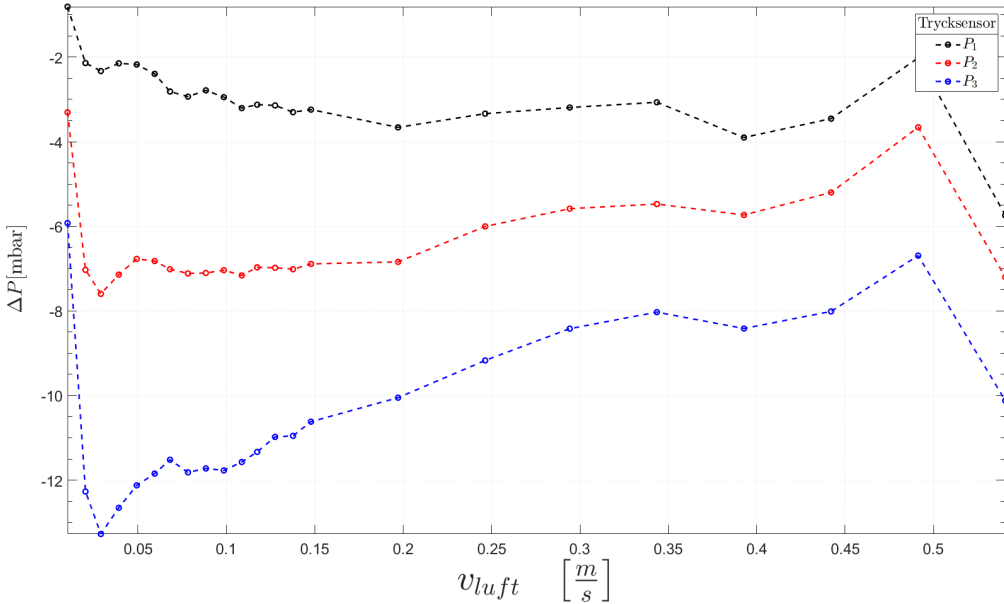
Figur 53: Tryckfall över hela bädden vid ökad gasgenomströmmning för ASB 1”, Sand I, R = 0.5



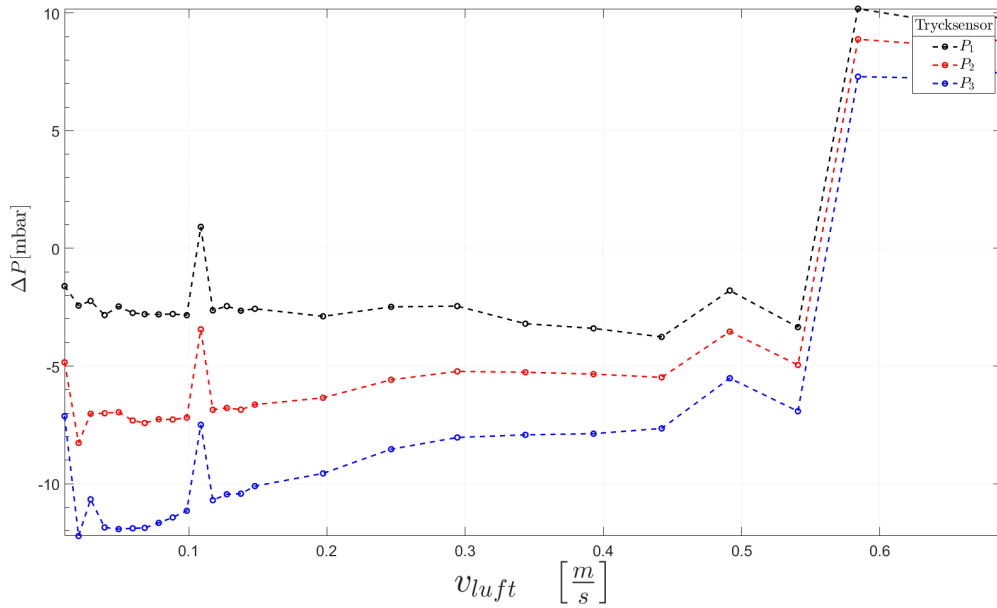
Figur 54: Tryckfall över hela bädden vid ökad gasgenomströmmning för ASB 1/2”, Sand I, R = 1



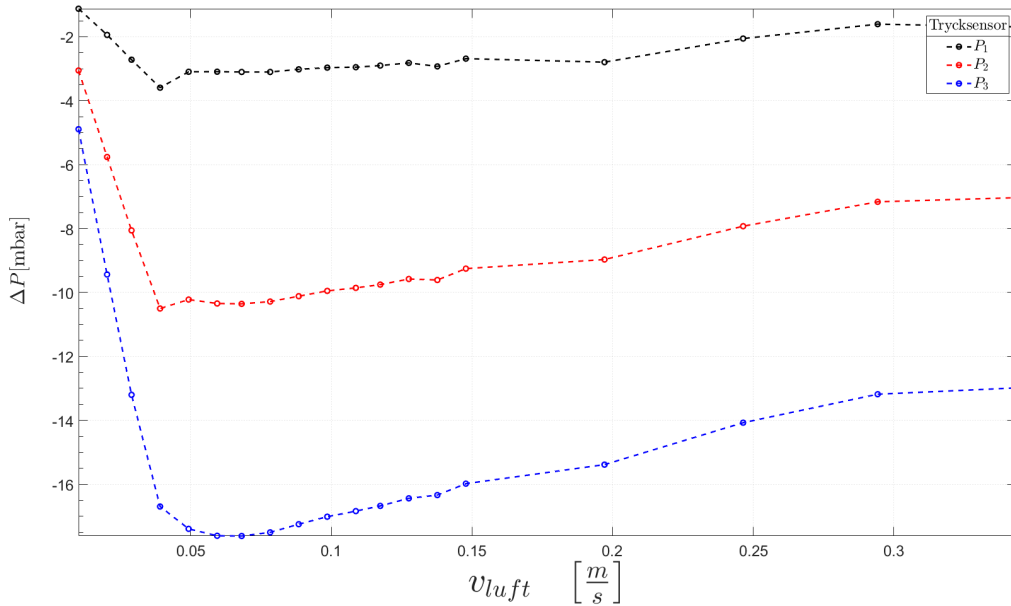
Figur 55: Tryckfall över hela bädden vid ökad gasgenomströmmning för ASB 1/2", Sand I,  $R = 0.5$



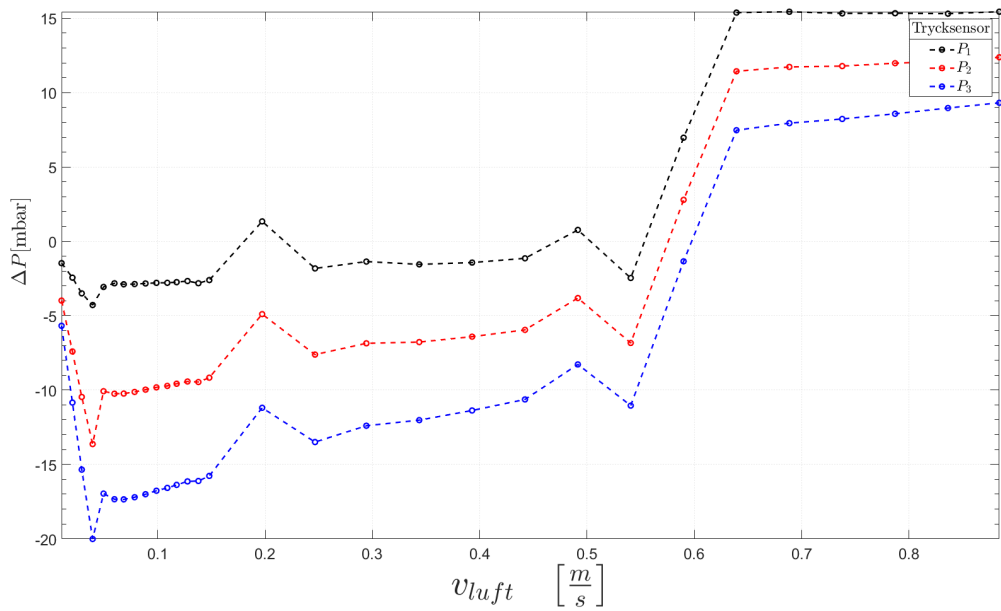
Figur 56: Tryckfall över hela bädden vid ökad gasgenomströmmning för Raschigringar, Sand I,  $R = 1$



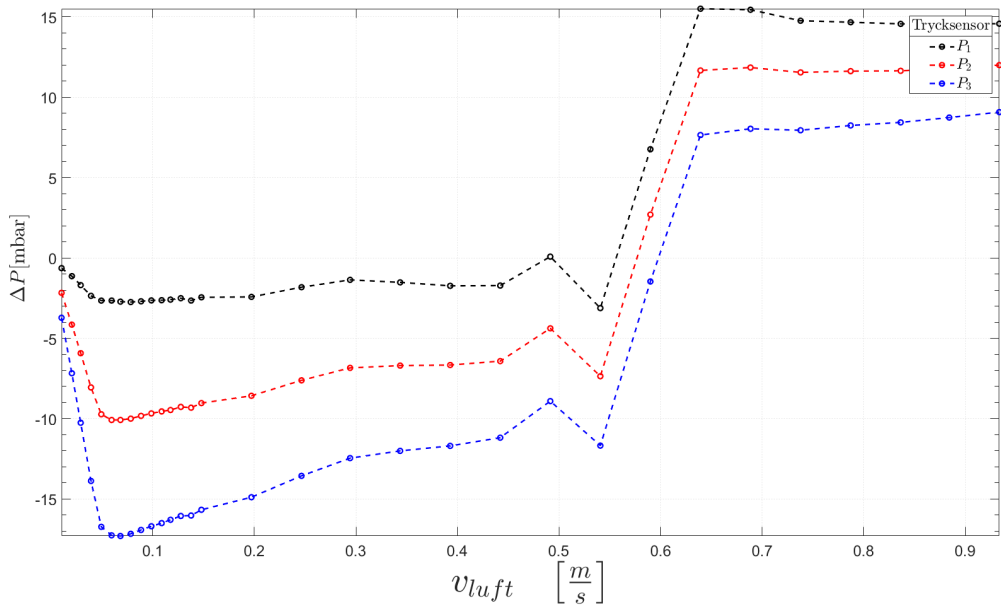
Figur 57: Tryckfall över hela bädden vid ökad gasgenomströmmning för Raschigringar, Sand I, R = 0.5



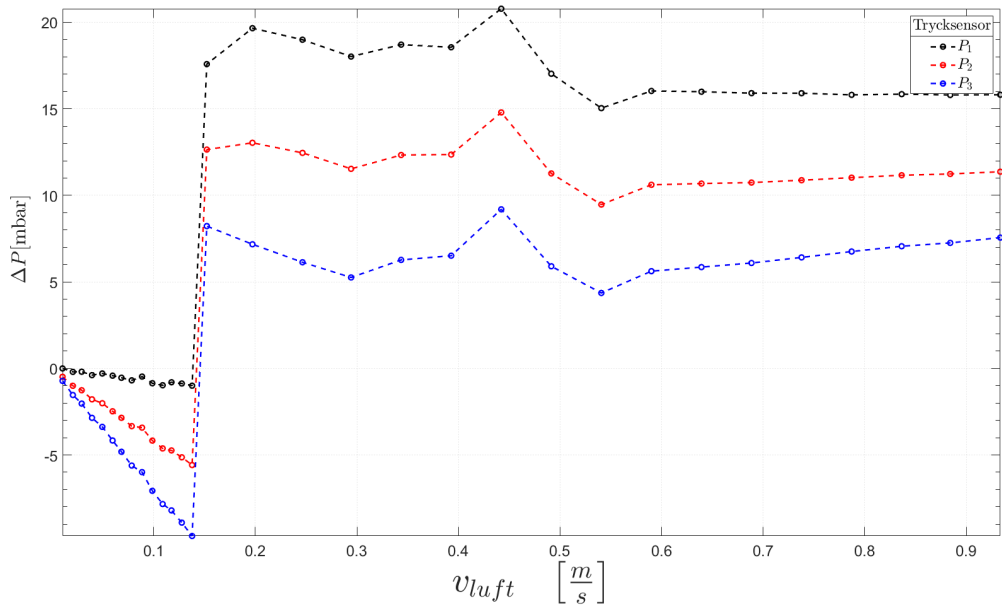
Figur 58: Tryckfall över hela bädden vid ökad gasgenomströmmning för RMSR 25-3, Sand I, R = 1



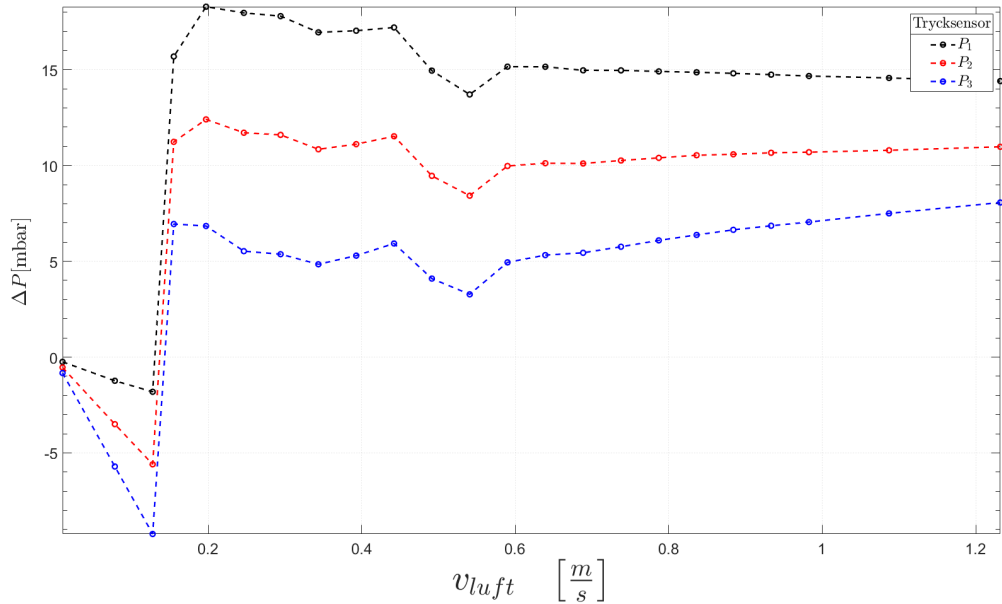
Figur 59: Tryckfall över hela bädden vid ökad gasgenomströmmning för RMSR 25-3 Sand I,  $R = 0.5$



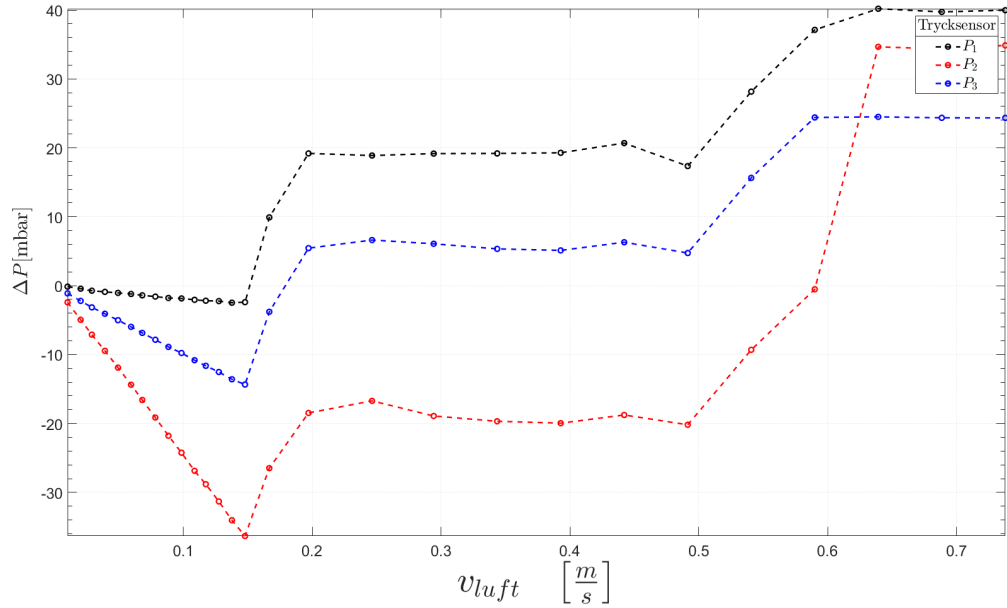
Figur 60: Tryckfall över hela bädden vid ökad gasgenomströmmning för RMSR 25-3, Sand I,  $R = 0.25$



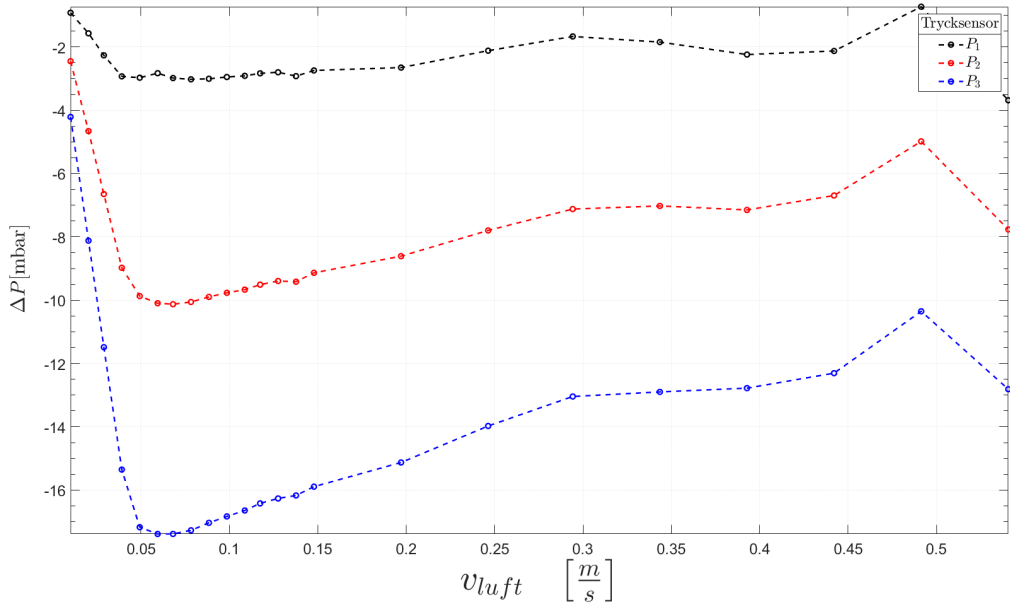
Figur 61: Tryckfall över hela bädden vid ökad gasgenomströmmning för RMSR 25-3, Sand II,  $R = 0.5$



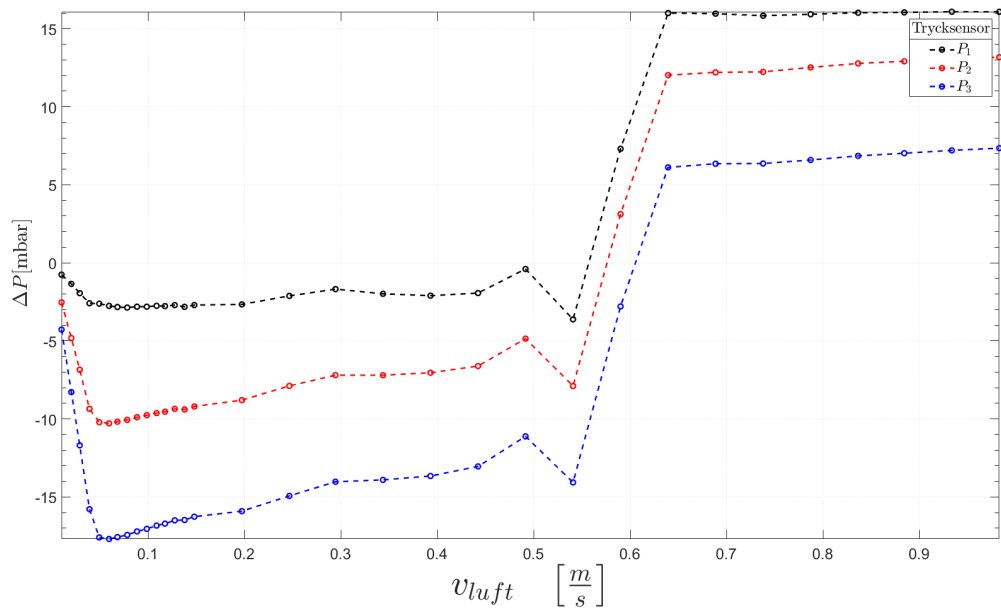
Figur 62: Tryckfall över hela bädden vid ökad gasgenomströmmning för RMSR 25-3, Sand II,  $R = 0.25$



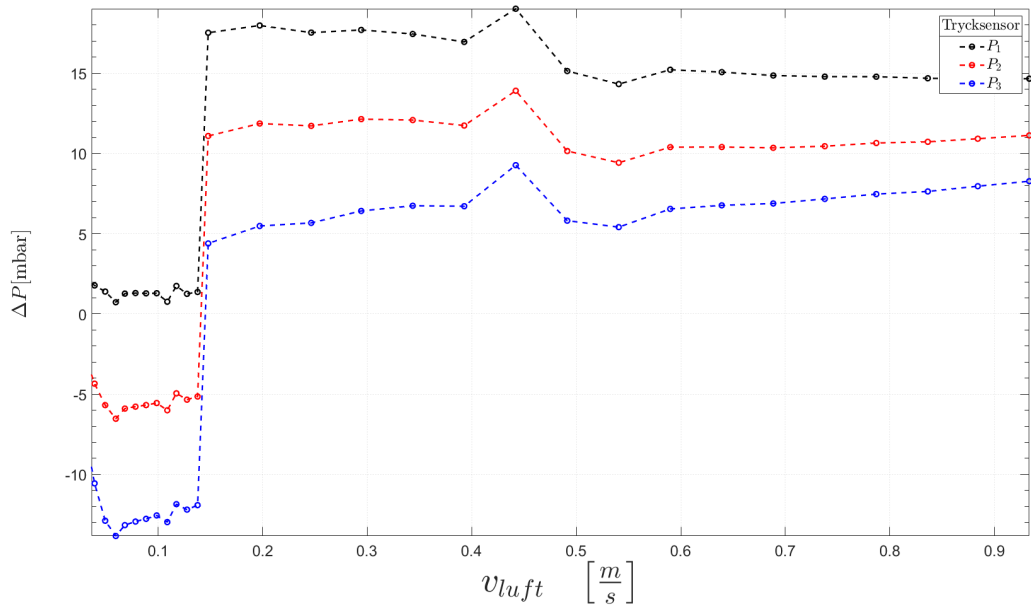
Figur 63: Tryckfall över hela bädden vid ökad gasgenomströmmning för RMSR 25-3 djup bädd, Sand II, R = 1



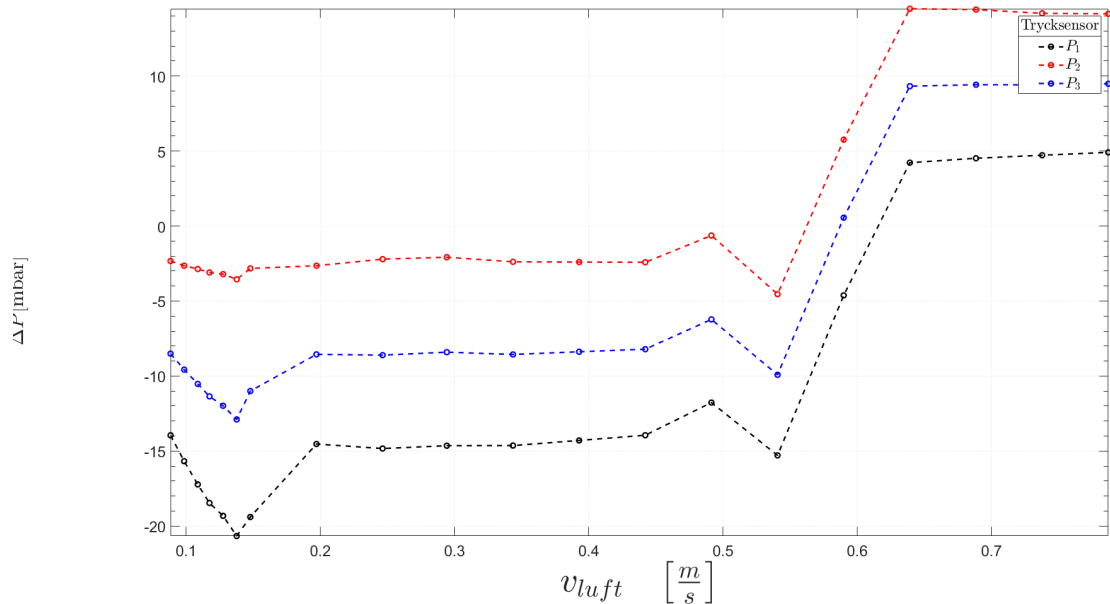
Figur 64: Tryckfall över hela bädden vid ökad gasgenomströmmning för Hiflow-ringar, Sand I, R = 1



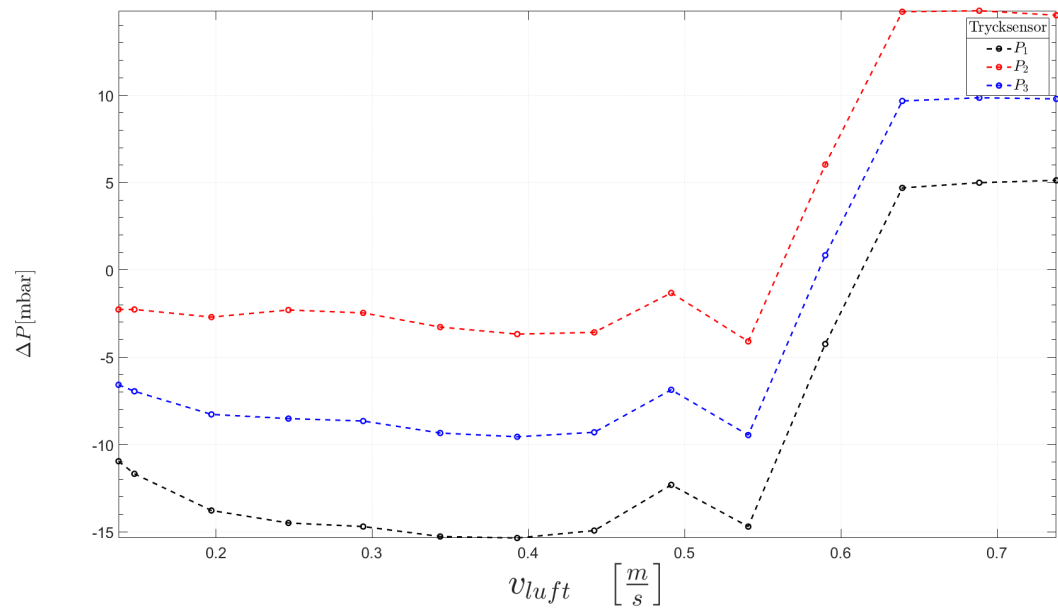
Figur 65: Tryckfall över hela bädden vid ökad gasgenomströmmning för Hiflow-ringar, Sand I,  $R = 0.5$



Figur 66: Tryckfall över hela bädden vid ökad gasgenomströmmning för Hiflow-ringar, Sand I,  $R = 0.25$



Figur 67: Tryckfall över hela bädden vid ökad gasgenomströmmning för Hiflow-ringar, Sand II,  $R = 0.5$



Figur 68: Tryckfall över hela bädden vid ökad gasgenomströmmning för Hiflow-ringar, Sand II,  $R = 0.25$

## E MATLAB

### E.1 BachelorThesisSEEX15-20-1.m

```
1 % Bachelor Thesis SEEX15-20-1
2 % =====
3 %
4 % Copyright (c) 2019--2020, Bengtsson Maarten
5 % All rights reserved.
6 %
7 % Redistribution and use in source and binary forms, with or without
8 % modification, are permitted provided that the following conditions are
9 % met:
10 %
11 % * Redistributions of source code must retain the above copyright
12 %   notice, this list of conditions and the following disclaimer.
13 % * Redistributions in binary form must reproduce the above copyright
14 %   notice, this list of conditions and the following disclaimer in
15 %   the documentation and/or other materials provided with the distribution
16 %
17 % THIS SOFTWARE IS PROVIDED BY THE COPYRIGHT HOLDERS AND CONTRIBUTORS "AS IS"
18 % AND ANY EXPRESS OR IMPLIED WARRANTIES, INCLUDING, BUT NOT LIMITED TO, THE
19 % IMPLIED WARRANTIES OF MERCHANTABILITY AND FITNESS FOR A PARTICULAR PURPOSE
20 % ARE DISCLAIMED. IN NO EVENT SHALL THE COPYRIGHT OWNER OR CONTRIBUTORS BE
21 % LIABLE FOR ANY DIRECT, INDIRECT, INCIDENTAL, SPECIAL, EXEMPLARY, OR
22 % CONSEQUENTIAL DAMAGES (INCLUDING, BUT NOT LIMITED TO, PROCUREMENT OF
23 % SUBSTITUTE GOODS OR SERVICES; LOSS OF USE, DATA, OR PROFITS; OR BUSINESS
24 % INTERRUPTION) HOWEVER CAUSED AND ON ANY THEORY OF LIABILITY, WHETHER IN
25 % CONTRACT, STRICT LIABILITY, OR TORT (INCLUDING NEGLIGENCE OR OTHERWISE)
26 % ARISING IN ANY WAY OUT OF THE USE OF THIS SOFTWARE, EVEN IF ADVISED OF THE
27 % POSSIBILITY OF SUCH DAMAGE.
28 %
29 % =====
30 %
31 tic;
32 clc
33 workspace
34 %
35 % ----- GENERAL COLUMN INDEXING -----
36 % 1 = X-Value      COMMENT: Number of sec passed.
37 % 2 = AR1-AR3      COMMENT: 2nd above distributor.
38 % 3 = AR3-AR5      COMMENT: Nonsense.
39 % 4 = AR5-AR8      COMMENT: Nonsense.
40 % 5 = LS1-CY1      COMMENT: Nonsense
41 % 6 = FR7-LS1      COMMENT: Nonsense
42 % 7 = FR1-FR4      COMMENT: Nonsense
43 % 8 = FR4-FR7      COMMENT: Nonsense
44 % 9 = FR7-FR8      COMMENT: Nonsense
45 % 10 = LS2-FR1     COMMENT: Nonsense
46 % 11 = LS2-DC1     COMMENT: Nonsense
47 % 12 = DC1-CY2     COMMENT: Nonsense
48 % 13 = LS2F-LS2    COMMENT: Nonsense
49 % 14 = LS3-FR4     COMMENT: P_Window
50 % 15 = FR7-CY3     COMMENT: 3rd above distributor.
51 % 16 = LS3-CR3     COMMENT: 1st above distributor.
52 % 17 = CR1-CR3     COMMENT: Value.
53 % 18 = CR3-CY3     COMMENT: Nonsense
54 % 19 = CY3-CS1     COMMENT: Nonsense
55 % 20 = CS4-CSfB    COMMENT: Nonsense
56 % 21 = CSfB-FR7    COMMENT: Nonsense
57 % 22 = LS4-CSfB    COMMENT: Nonsense
58 % 23 = LS4-AR5     COMMENT: Nonsense
59 % 24 = ARwb-atm   COMMENT: Nonsense
60 % 25 = FRsb-atm   COMMENT: Nonsense
61 % 26 = LS1wb-atm  COMMENT: Nonsense
62 % 27 = LS2wb-atm  COMMENT: Nonsense
63 % 28 = LS3wb-atm  COMMENT: Nonsense
64 % 29 = LS4wb-atm  COMMENT: Nonsense
65 % 30 = CRwb-atm   COMMENT: Nonsense
66 % 31 = CSwb-atm   COMMENT: Nonsense
```

```

67 % 32 = Bag height    COMMENT: Nonsense
68 % 33 = CSfb-CS1     COMMENT: Nonsense
69 % 34 = LS1wb-LS!     COMMENT: Nonsense
70 % 35 = FR1-atm      COMMENT: Nonsense
71 % 36 = FR4-atm      COMMENT: Nonsense
72 % 37 = FR7-atm      COMMENT: Nonsense
73 % 38 = Optical_1     COMMENT: Nonsense
74 % 39 = Optical_2     COMMENT: Value.
75 % 40 = Optical_3     COMMENT: Value.
76 % 41 = Optical_4     COMMENT: Value.
77 % 42 = Optical_5     COMMENT: Value.
78 % 43 = Optical_6     COMMENT: Value.
79 % 44 = Weight        COMMENT: Value.
80 % 45 = Resampled     COMMENT:
81 % 46 = Resampled 1   COMMENT: Value.
82 % 47 = Resampled 2   COMMENT: 0
83 % 48 = Resampled 3   COMMENT: 0
84
85 % Old code for dropBox download.
86 % % Get directory form downloads. This will vary from user to user.
87 % %cd 'C:\Users\Tinki\Downloads\drive-download-20200218T171112Z-001'
88 % data = dir('20200213_S1_Saddle_V*'); % order and sort the files
89 % N = length(data);
90 % startRow = 25;
91 % endRow = 3000;
92 % filename = data.name;
93 % fid = SEEX15_20_1_importfile(filename,startRow,endRow);
94 %
95 % result = mean(table2array(fid))
96 %
97 % result(result < 0.05) = []
98 % dropboxAccessToken = 'jx-OodfX_v0AAAAAAAAEohQQ5isUFke2dop56Kee8KnWWhq09FreXVWQnSRsLwQs'
99 % fileNames = {'https://www.dropbox.com/home/Appar/BachelorThesisSEEX15'}
100 % downloadFromDropbox(dropboxAccessToken,fileNames)
101
102 % Get correct path.
103 % cd C:\Users\Tinki\Desktop\BachelorThesis\
104 % addpath(genpath('C:\Users\Tinki\Desktop\BachelorThesis\'))
105
106 % If on school computer change directory to thsi and comment out the section
107 % above.
108
109
110 if isfolder('C:\Users\Tinki\Desktop\BachelorThesis\')
111     cd('C:\Users\Tinki\Desktop\BachelorThesis')
112     addpath(genpath('C:\Users\Tinki\Desktop\BachelorThesis\'))
113 else
114     cd('\\file00.chalmers.se\home\benmaar\.win\Desktop\BachelorThesisSchoolComputer')
115     addpath(genpath('\\file00.chalmers.se\home\benmaar\.win\...
116     Desktop\BachelorThesisSchoolComputer'))
117 end
118
119 % mkdir('C:\Users\Tinki\Desktop\BachelorThesis\' )
120 % We need to come up with a way to programatically add folders and
121 % subfolders to current path.
122
123 % Determine where your m-file's folder is.
124 % folder = fileparts(which('BachelorThesisSEEX15_20_1.m'));
125
126 % Add that folder plus all subfolders to the path.
127 % addpath(genpath(folder));
128
129 % get filename, this will change for each analysis
130 data = dir(fullfile('**/*.txt'));
131 sortedData = natsortfiles({data.name});
132
133 % Initialize start and endpoint for data analysis.
134 startRow = 25;
135 endRow = 3000;
136
137 % Preallocation
138 N = length(data);
139 processedData = cell(1, N);

```

```

140 rawData = cell(1, N);
141 pressure = cell(1, N);
142 rawName = cell(1, N);
143
144 % ===== SORTING AND ANALYZE =====
145 % =====
146 % =====
147
148 % for-loop just to extract neccessary data.
149 for i = 1:N
150
151     % Get correct filename
152     filename = char(sortedData{i});
153
154     % Get data
155     fid = importfile(filename, startRow, endRow);
156     X = mean(fid, 1);
157
158     % Allocate data.
159     pressure{i} = X;
160     rawData{i} = fid;
161     rawName{i} = filename;
162 end
163
164 % Get valid valid variable names for table.
165 validVariableName = matlab.lang.makeValidName(sortedData);
166
167 validRowNames = validVariableName;
168 validVarNames = {'P_window', 'P_1', 'P_2', 'P_3'};
169
170 % Preallocation.
171 P_window = cell(1, N);
172 P_1 = cell(1, N);
173 P_2 = cell(1, N);
174 P_3 = cell(1, N);
175
176 % Index for pressure taken from master column index.
177 idx = [14, 16, 2, 15];
178
179 % for-loop to make pressure values easier to access.
180 for i = 1:N
181     P_window{i} = pressure{1, i}(idx(1));
182     P_1{i} = pressure{1, i}(idx(2));
183     P_2{i} = pressure{1, i}(idx(3));
184     P_3{i} = pressure{1, i}(idx(4));
185 end
186
187 % Generate table to clearly see each data point.
188 T = table(P_window', P_1', P_2', P_3', 'VariableNames', validVarNames, ...
189     'RowNames', validRowNames);
190
191 % Save table as an Excel-file.
192 writetable(T, 'BcsMatlab.xlsx', 'WriteRowNames', true);
193 % T(:, contains(T.Properties.RowNames, 'x20200225_S1_RR10_R05_'))
194
195 % =====
196 saveTime(1) = toc;
197
198 %% Get Data For Sand 1
199 %===== PLOTTING DATA =====
200 % =====
201
202 % Match files with table to extract correct values. This will be tedious.
203 % Extract data from the table. Make it easy MxN- matrices that we can plot.
204 % Add more for more experiments.
205
206 % ===== Everything belowe this is Sand 1 =====
207 % =====
208 %
209 %
210 % Extract values for plotting and further research.
211 %
212

```

```

213 % X-values to plot against.
214 % valuesX = [7, 14, 20, 27, 34, 41, 47, 54, 61, 68, 75, 81, 88, 95, 102, ...
215 %     136, 170, 203, 237, 271, 305, 339, 373, 407, 441, 475, 509, 543, ...
216 %     577, 610, 644, 678];
217
218 % Display correct name for value matching each packing with each run of gas
219 % flow. i.e 7,14-20 L/min Rashing Ring matching 20200225_S1_RR10_R05_V7,
220 % 0200225_S1_RR10_R05_V14 etc.
221 strMatchingY = {'x20200213_S1_V', 'x20200225_S1_RR10_V', ...
222     'x20200225_S1_RR10_R05_', 'x20200213_S1_Saddle_V', ...
223     'x20200218_S1_Saddle_R_5_', 'x20200218_S1_Saddle_R_25_', ...
224     'x20200228_S1_Hiflow_R1_', 'x2020028_S1_hiflow_R0_5', ...
225     'x20200303_S1_hiflow_R0_25_', 'x20200303_S1_ASBl_R1_', ...
226     'x20200305_S1_ASBl_R0_5_', 'x20200306_S1_ASBl_R1_', ...
227     'x20200403_S1_ASBl_R0_5_', 'x20200414_empty_bed_V'};
228
229 % Note strMatchingY is kind off the master cell that controls the rest of
230 % the code. Very important to have everything in it fro running plots,
231 % minimal fluidization velocity etc etc.
232
233
234 % Preallocation.
235 numTest = length(strMatchingY);
236 valuesY = cell(1, numTest);
237 newVar = cell(1, numTest);
238 valuesX = cell(1, numTest);
239 Pavg = cell(1, numTest-1);
240 Psensor = cell(1, numTest-1);
241 Pdistributor = cell(1, 1);
242
243 for i = 1:numTest
244
245     % Extract correct series of experiment.
246     idx = ~cellfun('isempty', regexp(T.Properties.RowNames, ...
247         strMatchingY{i}, 'once'));
248     name = T(T.Properties.RowNames(idx), :);
249     % Get numeric values from string to proper X-values.
250     X = (regexp(name.Properties.RowNames, '\d+[\.]?\d*', 'match'));
251
252     % Preallocation.
253     x = zeros(1, length(X));
254
255     % Access all valuees using for-loop.
256     for k = 1:length(X)
257         x(k) = str2double(cell2mat(X{k}(end)));
258     end
259
260     % Get numeric values from string to proper X and Y values.
261     valuesX{i} = x;
262     valuesY{i} = cell2mat(table2array(name(:, 1:end)));
263 end
264
265 % Assign pressure values to calculate pressure drop over ditributor.
266 for i = 1:numTest - 1
267     Pavg{i} = valuesY{i};
268 end
269
270
271 % Assing pressure values.
272 valuesXssubtract{1} = x';
273 valuesYssubtract{1} = valuesY{end}; % Must be empby bed index 14.
274
275 % % Subtract empy bed values from pressure measures values.
276 % numRow = size(valuesY{1}, 1);
277 % numCol = size(valuesYssubtract{1}, 2);
278 % for i = 1:numTest
279 %     for k = 1:numRow
280 %         for p = 1:numCol
281 %             y = valuesY{i}(k, p) - valuesYssubtract{1}(k, p);
282 %             newVar{i}(k, p) = y;
283 %         end
284 %     end
285 % end

```

```

286 % To calculate pressure drop, first we need to calculate the pressure drop
287 % over distributor plate as below:
288
289
290 % Pressure drop over distributor (at a certain velocity)= average pressure
291 % of one of the 3 sensors (optional) above the distributor plate at empty
292 % conditions (empty bed with no packings and no sand, at a certain velocity)
293 % average pressure of windbox (empty bed with no packings and no sand,
294 % at the same velocity).
295
296 % Get pressure drop empty bed for 1 sensor, lets use P_2.
297 PemptySensor = valuesYsubstract{1}(:, 2);
298 PemptyWindbox = valuesYsubstract{1}(:, 1);
299 % Get Pressure drop over distributor.
300 Pdistributor{1} = PemptySensor - PemptyWindbox;
301
302
303 % Try on Saddle R =0.5. idx = 5.
304
305 % Psadel = Pavg{3}(1:length(Pdistributor{1}), :);
306
307 % P = Psadel - Psadel(:, 1) - Pdistributor{1};
308
309 fun = @(x, y, z) x - y - z;
310
311 % Subtract values of empty from values given by sand III.
312 for i = 1:numTest
313     % Get intersect.
314     [C, idxRow, idxCol] = intersect(valuesXsubstract{1}, ...
315         valuesX{i}, 'stable');
316
317     % Subtract empty bed from regular bed.
318     ii = length(idxRow);
319     jj = length(valuesY{i});
320     numIter = min(ii, jj);
321
322     for k = 1:numIter
323         valuesY{i}(k, :) = bsxfun(@minus, valuesY{i}(k, :), ...
324             valuesYsubstract{1}(idxRow(k), :));
325         % Take advantage of the for loop. Psensor size == vlauesXsubstract.
326         if i < numTest
327             x = bsxfun(@minus, Pavg{i}(k, :), ...
328                 Pdistributor{1}(idxRow(k), :));
329
330             % Get pressure drop over entire bed.
331             Psensor{i}(k, :) = bsxfun(@minus, x, Pavg{i}(k, 1));
332         else
333             end
334         end
335     end
336
337
338 % valuesY = newVar;
339 % valuesY = newVar;
340 saveTime(2) = toc;
341
342 P = valuesY;
343
344 % Preallocation.
345 r = 0.0605;
346 plotDataX = cell(1, numTest);
347
348 for i = 1:numTest
349     % Convert volumetric flow from L/min to [m^3/s]
350     x = valuesX{i} / (1000 * 60);
351
352     % Change plotting data to veolcity instead of volumtetric flow.
353     y = x / (pi * r^2);
354     plotDataX{i} = y;
355 end
356
357 % =====
358
```

```

359 %% Plot Calculated Pressure Drop Sand I.
360
361 clc
362 % Names for plotting. Add more for more experiments.
363 strPressureDrop = {'PD Unpacked Bed', 'PD Rashing Ring 10x10 mmR = 1', ...
364     'PD Rashing Ring 10x10 mm, R = 0,5', 'PD Saddle Rings, R = 1', ...
365     'PD Saddle Rings, R = 0,5', 'PD Saddle Rings, R = 0,25', ...
366     'PD HiFlow Pall Rings, R = 1', 'PD HiFlow Pall Rings, R = 0,5', ...
367     'PD HiFlow Pall Rings, R = 0,25', 'PD ASB 1 inch, R = 1', ...
368     'PD ASB 1 inch, R = 0,5', 'PD ASB 0.5 inch, R = 1', ...
369     'PD ASB 0.5 inch, R = 0,5'};
370
371
372 strLegend = {'$P_1$', '$P_2$', '$P_3$'};
373 colourString = {'green', 'black', 'red', 'blue'};
374 %
375
376 % Plotting and saving data. Come up with easy managable names for the
377 % graphs.
378
379 % Create Subfolder to save data in. Much neater than before.
380 if isfolder('C:\Users\Tinki\Desktop\BachelorThesis\Pressure Drop All Figures')
381     fPath = 'C:\Users\Tinki\Desktop\BachelorThesis\Pressure Drop All Figures';
382 else
383     cd(''\file00.chalmers.se\home\benmaar\.win\Desktop\BachelorThesisSchoolComputer')
384     fPath = 'Z:\.win\Desktop\BachelorThesisSchoolComputer\Pressure Drop All Figures';
385 end
386
387
388 % Values to change fontsize nad apperance of figures.
389 legendFontSize = 18;
390 axisFontSize = 1.2;
391 lineWidth = 1.8;
392 XaxisFontSize = 42;
393 YaxisFontSize = 24;
394 masterFontSize = 18;
395
396 % Strings for axis,legends,Xlabel and Ylabel.
397 Xstring = {'$v_{luft} \quad \big[ \frac{m}{s} \big] $'};
398 Ystring = {'$\Delta P [mbar]$'};
399 legendTitle = {'Trycksensor'};
400
401 % Preallocation for graphical object.
402 h = gobjects(size(Psensor{1}, 2));
403 % resolution = 300; % -DPI use double of standard DPI for PNG-file saving.
404
405 % Normalise system to use Fullscreen figures, remember to change back since
406 % you are altering the default settings.
407 % set(groot, 'defaultFigureUnits','normalized')
408 % set(groot, 'defaultFigurePosition',[0 0 1 1])
409
410 % Get actual screensize.
411 screenSize = get(0, 'ScreenSize');
412
413 % Cut away some of the screen for better grpahs to save. Offset = 70 seems
414 % to work absolutely best.
415 offset = 70;
416 embeddedPosition = [screenSize(1), screenSize(2), ...
417     screenSize(3), screenSize(4) - offset];
418
419 % screenSize(1),screenSize(2)
420
421 for i = 1:numTest - 1 % So we don't include empty bed.
422
423 %
424 % Set correct maximazing fo figures in MATLAB
425
426 % fig = gcf; % only works for MATLAB R2018a or alter.
427 % fig.WindowState = 'maximized'; % Maximize figure on screen.
428 % % Good for great resolution in plotting.
429 % Speed up saving process using set(gcf,'Postitions',...etc...etc...).
430 % set(gcf, 'unit', 'norm', 'position', [0, 0, 1, 1])
431 set(gcf, 'WindowState', 'fullscreen')

```

```

432 % Plot current data.
433 for k = 2:size(valuesY{1}), 2
434     h(k) = plot(plotDataX{i}(1:length(Psensor{i})), Psensor{i}(:, k), '—o', ...
435                 'LineWidth', lineWidth, 'Color', colourString{k});
436     hold on
437 end
438 hold off
439 % Initialize axis, figure properties legend properties.
440 ax = gca;
441 ax.FontSize = masterFontSize;
442 set(gcf, 'unit', 'norm', 'position', [0, 0, 1, 1])
443 fig = gcf;
444 set(gcf, 'color', 'w');
445 setappdata(gca, 'LegendColorbarManualSpace', 1);
446 setappdata(gca, 'LegendColorbarReclaimSpace', 1);
447 % set(ax, 'nextplot', 'replacechildren'); % Forces new plot but keeps
448 % current format on legends and axis. Also remove anyoing childrens ;
449 % feature('DefaultCharacterSet', 'UTF8')
450 % Set X-axis
451 xlabel(Xstring, 'Interpreter', 'latex', 'FontSize', ...
452         XaxisFontSize);
453 ax.XAxisLocation = 'bottom';
454 set(get(gca, 'XLabel'), 'Rotation', 0); % Horizontal text.
455 ax.XLimMode = 'auto';
456 % Set Y-axis.
457 ylabel(Ystring, 'Interpreter', 'latex', ...
458         'FontSize', YaxisFontSize);
459 ax.YAxisLocation = 'origin';
460 ax.YLimMode = 'auto';
461 % set(get(gca, 'YLabel'), 'Rotation', 180); % Horizontal text.
462 ylh = get(gca, 'ylabel');
463 ylp = get(ylh, 'Position');
464 set(ylh, 'Rotation', 90, 'Position', ylp, 'VerticalAlignment', ...
465      'middle', 'HorizontalAlignment', 'center')
466 ax.YAxis.MinorTick = 'on';
467
468 % Set title.
469 %     ax.Title.String = str{i};
470
471 % Set axis properties.
472 ax.Title.FontWeight = 'normal';
473 ax.Title.FontAngle = 'italic';
474 ax.LabelFontSizeMultiplier = axisFontSize;
475 ax.TitleFontSizeMultiplier = axisFontSize;
476 ax.FontSmoothing = 'on';
477 ax.GridLineStyle = ':';
478 ax.GridAlpha = 0.2;
479 ax.YAxis.Limits = [min(min(Psensor{i}(:, 2:end))), ...
480                     max(max(Psensor{i}(:, 2:end)))] ;
481
482 ax.XAxis.Limits = [plotDataX{i}(1), ...
483                     max(plotDataX{i}(1:length(Psensor{i}(:, 2:end))))];
484 ax.TickDirMode = 'auto';
485
486 % Set X and Y-tick properties, mainly changing their FontSize
487
488
489 % Set legends.
490 l = legend('show');
491 l.TextColor = 'black';
492 l.FontAngle = 'italic';
493 l.FontName = 'Comic Sans MS';
494 l.FontSize = legendFontSize;
495 l.Title.String = legendTitle;
496 l.Title.Color = 'black';
497 legend(strLegend, 'FontSize', legendFontSize, 'FontAngle', 'italic', ...
498         'Location', 'northeast', 'Interpreter', 'latex');
499 box on, grid on
500 set(gca, 'FontName', 'AvantGarde')
501
502 % Save figures as high-resolution PNG-files.
503 newStr = [strPressureDrop{i}, '.png']; % add .png to names.
504 saveFile = join(newStr);

```

```

505     %      drawnow;
506     % pause to let the figure fill the whole screen, screencapture is way
507     % to fast for this. Pause = 0.39 seems to work fine for now.
508     pause(0.39)
509
510
511     % NEVER EVER USE PRINTER AS AN OPTION!
512     screencapture(0, 'position', embeddedPosition, ...
513         'target', fullfile(fPath, saveFile))
514     % This is the fastest way to save figures, extremely fast.
515     % if verLessThan('matlab', '9.8.0')
516     %     % Use only if older than R2020a
517     %     saveas(gcf, fullfile(fPath, saveFile), 'png')
518     % else
519     %     % Only for matlab R2020a
520     %     exportgraphics(gcf, fullfile(fPath, saveFile), 'Resolution', resolution)
521     % end
522     % saveas(gcf, fullfile(fPath, saveFile), 'epsc')
523     % print(gcf, fullfile(fPath, saveFile), '-dpng', '-r900');
524     % F = getframe(gcf);
525     % imwrite(F.cdata, saveFile);
526     close gcf
527 end
528
529 %% Plot All Data For Sand 1
530
531 clc
532 % Names for plotting. Add more for more experiments.
533 str = {'Unpacked Bed', 'Rashing Ring 10x10 mmR = 1', ...
534     'Rashing Ring 10x10 mm, R = 0,5', 'Saddle Rings, R = 1', ...
535     'Saddle Rings, R = 0,5', 'Saddle Rings, R = 0,25', ...
536     'HiFlow Pall Rings, R = 1', 'HiFlow Pall Rings, R = 0,5', ...
537     'HiFlow Pall Rings, R = 0,25', 'ASB 1 inch, R = 1', ...
538     'ASB 1 inch, R = 0,5', 'ASB 0.5 inch, R = 1', 'ASB 0.5 inch, R = 0,5'};
539
540 strLegend = {'$P_1$', '$P_2$', '$P_3$'};
541 colourString = {'green', 'black', 'red', 'blue'};
542 %
543
544 % Plotting and saving data. Come up with easy managable names for the
545 % graphs.
546
547 % Create Subfolder to save data in. Much neater than before.
548 if isfolder('C:\Users\Tinki\Desktop\BachelorThesis\Sand1Graphs\')
549     fPath = 'C:\Users\Tinki\Desktop\BachelorThesis\Sand1Graphs\';
550 else
551     cd('\\file00.chalmers.se\home\benmaar\win\Desktop\BachelorThesisSchoolComputer')
552     fPath = 'Z:\win\Desktop\BachelorThesisSchoolComputer\Sand1Graphs';
553 end
554
555
556 % Values to change fontsizes nad apperance of figures.
557 legendFontSize = 18;
558 axisFontSize = 1.2;
559 lineWidth = 1.8;
560 XaxisFontSize = 42;
561 YaxisFontSize = 24;
562 masterFontSize = 18;
563
564 % Strings for axis,legends,Xlabel and Ylabel.
565 Xstring = {'$v_{luft} \quad \big[ \frac{m}{s} \big] $'};
566 Ystring = {'$\Delta P [mbar]$'};
567 legendTitle = {'Trycksensor'};
568
569 % Preallocation for graphical object.
570 h = gobjects(size(valuesY{1}, 2));
571 % resolution = 300; % -DPI use double of standard DPI for PNG-file saving.
572
573 % Normalise system to use Fullscreen figures, remember to change back since
574 % you are altering the default settings.
575 % set(groot, 'defaultFigureUnits','normalized')
576 % set(groot, 'defaultFigurePosition',[0 0 1 1])
577

```

```

578 % Get actual screensize.
579 screenSize = get(0, 'ScreenSize');
580
581 % Cut away some of the screen for better graphs to save. Offset = 70 seems
582 % to work absolutely best.
583 offset = 70;
584 embeddedPosition = [screenSize(1), screenSize(2), ...
585     screenSize(3), screenSize(4) - offset];
586
587 % screenSize(1),screenSize(2)
588
589
590 % Using for-loop to plot every set of pressure data and velocities
591 for i = 1:numTest - 1 % So we don't include empty bed.
592
593 %_____
594 % Set correct maximazing fo figures in MATLAB
595
596 %         fig = gcf; % only works for MATLAB R2018a or alter.
597 %         fig.WindowState = 'maximized'; % Maximize figure on screen.
598 %         % Good for great resolution in plotting.
599 % Speed up saving process using set(gcf,'Postions',...etc...etc....).
600 %         set(gcf, 'unit', 'norm', 'position', [0, 0, 1, 1])
601 set(gcf, 'WindowState', 'fullscreen')
602 % Plot current data.
603 for k = 2:size(valuesY{1}, 2)
604     h(k) = plot(plotDataX{i}(1:length(valuesY{i})), valuesY{i}(:, k), '—o', ...
605         'LineWidth', lineWidth, 'Color', colourString{k});
606     hold on
607 end
608 hold off
609 % Initialize axis, figure properties legend properties.
610 ax = gca;
611 ax.FontSize = masterFontSize;
612 set(gcf, 'unit', 'norm', 'position', [0, 0, 1, 1])
613 fig = gcf;
614 set(gcf, 'color', 'w');
615 setappdata(gca, 'LegendColorbarManualSpace', 1);
616 setappdata(gca, 'LegendColorbarReclaimSpace', 1);
617 %     set(ax, 'nextplot', 'replacechildren'); % Forces new plot but keeps
618 % current format on legends and axis. Also remove anyoing childrens ;
619 % feature('DefaultCharacterSet', 'UTF8')
620 % Set X-axis
621 xlabel(Xstring, 'Interpreter', 'latex', 'FontSize', ...
622     XaxisFontSize);
623 ax.XAxisLocation = 'bottom';
624 set(get(gca, 'XLabel'), 'Rotation', 0); % Horizontal text.
625 ax.XLimMode = 'auto';
626 % Set Y-axis.
627 ylabel(Ystring, 'Interpreter', 'latex', ...
628     'FontSize', YaxisFontSize);
629 ax.YAxisLocation = 'origin';
630 ax.YLimMode = 'auto';
631 %     set(get(gca, 'YLabel'), 'Rotation', 180); % Horizontal text.
632 ylh = get(gca, 'ylabel');
633 ylp = get(ylh, 'Position');
634 set(ylh, 'Rotation', 90, 'Position', ylp, 'VerticalAlignment', ...
635     'middle', 'HorizontalAlignment', 'center')
636 ax.YAxis.MinorTick = 'on';
637
638 % Set title.
639 %     ax.Title.String = str{i};
640
641 % Set axis properties.
642 ax.Title.FontWeight = 'normal';
643 ax.Title.FontAngle = 'italic';
644 ax.LabelFontSizeMultiplier = axisFontSize;
645 ax.TitleFontSizeMultiplier = axisFontSize;
646 ax.FontSmoothing = 'on';
647 ax.GridLineStyle = ':';
648 ax.GridAlpha = 0.2;
649 ax.YAxis.Limits = [min(min(valuesY{i}(:, 2:end))), ...
650     max(max(valuesY{i}(:, 2:end)))];
```

```

651     ax.XAxis.Limits = [plotDataX{i}(1), ...
652                         max(plotDataX{i}(1:length(valuesY{i}(:, 2:end))))];
653     ax.TickDirMode = 'auto';
654
655     % Set X and Y-tick properties, mainly changing their FontSize
656
657
658
659     % Set legends.
660     l = legend('show');
661     l.TextColor = 'black';
662     l.FontAngle = 'italic';
663     l.FontName = 'Comic Sans MS';
664     l.FontSize = legendFontSize;
665     l.Title.String = legendTitle;
666     l.Title.Color = 'black';
667     legend(strLegend, 'FontSize', legendFontSize, 'FontAngle', 'italic', ...
668           'Location', 'northeast', 'Interpreter', 'latex');
669     box on, grid on
670     set(gca, 'FontName', 'AvantGarde')
671
672     % Save figures as high-resolution PNG-files.
673     newStr = [str{i}, '.png']; % add .png to names.
674     saveFile = join(newStr);
675     % drawnow;
676     % pause to let the figure fill the whole screen, screencapture is way
677     % to fast for this. Pause = 0.39 seems to work fine for now.
678     pause(0.39)
679
680
681     % NEVER EVER USE PRINTER AS AN OPTION!
682     screencapture(0, 'position', embeddedPosition, ...
683                   'target', fullfile(fPath, saveFile))
684     % This is the fastest way to save figures, extremely fast.
685     % if verLessThan('matlab', '9.8.0')
686     %     % Use only if older than R2020a
687     %     saveas(gcf, fullfile(fPath, saveFile), 'png')
688     % else
689     %     % Only for matlab R2020a
690     %     exportgraphics(gcf, fullfile(fPath, saveFile), 'Resolution', resolution)
691     % end
692     % saveas(gcf, fullfile(fPath, saveFile), 'epsc')
693     % print(gcf, fullfile(fPath, saveFile), '-dpng', '-r900');
694     % F = getframe(gcf);
695     % imwrite(F.cdata, saveFile);
696     close gcf
697 end
698
699 %
700
701 %% Get Data For Sand III
702 % ===== Everything belowe this is Sand III =====
703 % =====
704 clc
705 strMatchingSand3Y = { ...
706     'x20200417_S3_Hiflow_R0_5_', 'x20200417_S3_Hiflow_R0_25_', ...
707     'x20200417_S3_Unpacked_', 'x20200413_S3_Saddle0_5_R0_5_', ...
708     'x20200413_S3_Saddle_R0_25_', 'x20200421_deepbed_S3_Saddle_R1_', ...
709     'x20200421_S3_Unpacked_deepbed_', 'x20200428_deepbed_S3_Saddle_R05_'};
710
711
712 % Preallocation.
713 numTest = length(strMatchingSand3Y);
714 name = cell(1, numTest);
715 valuesYsand3 = cell(1, numTest);
716 valuesXsand3 = cell(1, numTest);
717 Pavg = cell(1, numTest);
718 Psensor = cell(1, numTest);
719 Pdistributor = cell(1, 1);
720
721
722 for i = 1:numTest
723

```

```

724 % Extract correct series of experiment.
725 idx = ~cellfun('isempty', regexp(T.Properties.RowNames, ...
726 strMatchingSand3Y{i}, 'once'));
727
728 % Name is current meta-data row. Maybe get index for empty bed from
729 % this?
730 name = T(T.Properties.RowNames(idx), :);
731
732 % Get numeric values from string to proper X-values.
733 X = (regexp(name.Properties.RowNames, '\d+[\.]?\d*', 'match'));
734
735 % Preallocation.
736 x = zeros(1, length(X));
737
738 % Access all valuees using for-loop.
739 for k = 1:length(X)
740     x(k) = str2double(cell2mat(X{k}(end)));
741 end
742
743 % Get numeric values from string to proper X and Y values.
744 valuesXsand3{i} = x;
745 valuesYsand3{i} = cell2mat(table2array(name(:, 1:end)));
746
747 % Assign pressure values to calculate pressure drop over ditributor.
748 Pavg{i} = valuesYsand3{i};
749 end
750
751 % To calculate pressure drop, first we need to calculate the pressure drop
752 % over distributor plate as below:
753
754 % Pressure drop over distributor (at a certain velocity)= average pressure
755 % of one of the 3 sensors (optional) above the distributor plate at empty
756 % conditions (empty bed with no packings and no sand, at a certain velocity)
757 % average pressure of windbox (empty bed with no packings and no sand,
758 % at the same velocity).
759
760 % Get pressure drop empty bed for 1 sensor, lets use P_2.
761 PemptySensor = valuesYsubtract{1}(:, 2);
762 PemptyWindbox = valuesYsubtract{1}(:, 1);
763 % Get Pressure drop over distributor.
764 Pdistributor{1} = PemptySensor - PemptyWindbox;
765
766 % Subtract values of empty from values given by sand III.
767 for i = 1:numTest
768     [C, idxRow, idxCol] = intersect(valuesXsubtract{1}, ...
769     valuesXsand3{i}, 'stable');
770
771     % Subtract empty bed from regular bed.
772     ii = length(idxRow);
773     jj = length(valuesYsand3{i});
774     numIter = min(ii, jj);
775
776     for k = 1:numIter
777         valuesYsand3{i}(k, :) = bsxfun(@minus, valuesYsand3{i}(k, :), ...
778         valuesYsubtract{1}(idxRow(k), :));
779
780         if i < numTest
781             x = bsxfun(@minus, Pavg{i}(k, :), ...
782             Pdistributor{1}(idxRow(k), :));
783
784             % Get pressure drop over entire bed.
785             Psensor{i}(k, :) = bsxfun(@minus, x, Pavg{i}(k, 1));
786         else
787             end
788
789     end
790 end
791
792 % Preallocation.
793 r = 0.0605;
794 plotDataX = cell(1, numTest);
795
796 for i = 1:numTest

```

```

797     % Convert volumetric flow from L/min to [m^3/s]
798     x = valuesXsand3{i} / (1000 * 60);
799
800     % Change plotting data to velocity instead of volumetric flow.
801     y = x / (pi * r^2);
802     plotDataX{i} = y;
803 end
804
805
806 %% Plot Calculated Pressure Drop Sand III.
807
808 clc
809 % Names for plotting. Add more for more experiments.
810 strPressureDrop = {'PD S3 HiFlow R = 0.5', 'PD S3 HiFlow R = 0.25', 'PD S3 Unpacked ...
811     Bed', ...
812     'PD S3 Saddle Rings R = 0.5', 'PD S3 Saddle Rings R = 0.25', ...
813     'PD S3 DeepBed Saddle R = 1', 'PD S3 DeepBED Unpacked', ...
814     'PD S3 DeepBed Saddle R = 0.5'};
815
816 strLegend = {'$P_1$', '$P_2$', '$P_3$'};
817 colourString = {'green', 'black', 'red', 'blue'};
818 %
819
820 % Plotting and saving data. Come up with easy manageable names for the
821 % graphs.
822
823 % Create Subfolder to save data in. Much neater than before.
824 if isfolder('C:\Users\Tinki\Desktop\BachelorThesis\Pressure Drop All Figures')
825     fPath = 'C:\Users\Tinki\Desktop\BachelorThesis\Pressure Drop All Figures';
826 else
827     cd('..\file00.chalmers.se\home\benmaar\.win\Desktop\BachelorThesisSchoolComputer')
828     fPath = 'Z:\.win\Desktop\BachelorThesisSchoolComputer\Pressure Drop All Figures';
829 end
830
831
832 % Values to change fontsizes nad apperance of figures.
833 legendFontSize = 18;
834 axisFontSize = 1.2;
835 lineWidth = 1.8;
836 XaxisFontSize = 42;
837 YaxisFontSize = 24;
838 masterFontSize = 18;
839
840 % Strings for axis,legends,Xlabel and Ylabel.
841 Xstring = {'\$v_{luft} \quad \big[ \frac{m}{s} \big] \$'};
842 Ystring = {'\$ \Delta P [\text{mbar}] \$'};
843 legendTitle = {'Trycksensor'};
844
845 % Preallocation for graphical object.
846 h = gobjects(size(Psensor{1}, 2));
847 % resolution = 300; % -DPI use double of standard DPI for PNG-file saving.
848
849 % Normalise system to use Fullscreen figures, remember to change back since
850 % you are altering the default settings.
851 % set(groot, 'defaultFigureUnits','normalized')
852 % set(groot, 'defaultFigurePosition',[0 0 1 1])
853
854 % Get actual screensize.
855 screenSize = get(0, 'ScreenSize');
856
857 % Cut away some of the screen for better graphs to save. Offset = 70 seems
858 % to work absolutly best.
859 offset = 70;
860 embeddedPosition = [screenSize(1), screenSize(2), ...
861     screenSize(3), screenSize(4) - offset];
862
863 % screenSize(1),screenSize(2)
864
865 for i = 1:numTest - 1 % So we don't include empty bed.
866
867 %
868 % Set correct maximazing fo figures in MATLAB

```

```

869      fig = gcf; % only works for MATLAB R2018a or alter.
870      fig.WindowState = 'maximized'; % Maximize figure on screen.
871      % Good for great resolution in plotting.
872      % Speed up saving process using set(gcf,'Postions',...etc...etc...).
873      % set(gcf, 'unit', 'norm', 'position', [0, 0, 1, 1])
874      set(gcf, 'WindowState', 'fullscreen')
875      % Plot current data.
876      for k = 2:size(valuesY{1}, 2)
877          h(k) = plot(plotDataX{i}(1:length(Psensor{i})), Psensor{i}(:, k), '—o', ...
878                      'LineWidth', lineWidth, 'Color', colourString{k});
879          hold on
880      end
881      hold off
882      % Initialize axis, figure properties legend properties.
883      ax = gca;
884      ax.FontSize = masterFontSize;
885      set(gcf, 'unit', 'norm', 'position', [0, 0, 1, 1])
886      fig = gcf;
887      set(gcf, 'color', 'w');
888      setappdata(gca, 'LegendColorbarManualSpace', 1);
889      setappdata(gca, 'LegendColorbarReclaimSpace', 1);
890      % set(ax, 'nextplot', 'replacechildren'); % Forces new plot but keeps
891      % current format on legends and axis. Also remove anyoing childrens ;
892      % feature('DefaultCharacterSet', 'UTF8')
893      % Set X-axis
894      xlabel(Xstring, 'Interpreter', 'latex', 'FontSize', ...
895              XaxisFontSize);
896      ax.XAxisLocation = 'bottom';
897      set(get(gca, 'XLabel'), 'Rotation', 0); % Horizontal text.
898      ax.XLimMode = 'auto';
899      % Set Y-axis.
900      ylabel(Ystring, 'Interpreter', 'latex', ...
901              'FontSize', YaxisFontSize);
902      ax.YAxisLocation = 'origin';
903      ax.YLimMode = 'auto';
904      % set(get(gca, 'YLabel'), 'Rotation', 180); % Horizontal text.
905      ylh = get(gca, 'ylabell');
906      ylp = get(ylh, 'Position');
907      set(ylh, 'Rotation', 90, 'Position', ylp, 'VerticalAlignment', ...
908          'middle', 'HorizontalAlignment', 'center')
909      ax.YAxis.MinorTick = 'on';
910
911      % Set title.
912      % ax.Title.String = str{i};
913
914      % Set axis properties.
915      ax.Title.FontWeight = 'normal';
916      ax.Title.FontAngle = 'italic';
917      ax.LabelFontSizeMultiplier = axisFontSize;
918      ax.TitleFontSizeMultiplier = axisFontSize;
919      ax.FontSmoothing = 'on';
920      ax.GridLineStyle = ':';
921      ax.GridAlpha = 0.2;
922      ax.YAxis.Limits = [min(min(Psensor{i}(:, 2:end))), ...
923                           max(max(Psensor{i}(:, 2:end)))] ;
924
925      ax.XAxis.Limits = [plotDataX{i}(1), ...
926                          max(plotDataX{i}(1:length(Psensor{i}(:, 2:end))))];
927      ax.TickDirMode = 'auto';
928
929      % Set X and Y-tick properties, mainly changing their FontSize
930
931
932      % Set legends.
933      l = legend('show');
934      l.TextColor = 'black';
935      l.FontAngle = 'italic';
936      l.FontName = 'Comic Sans MS';
937      l.FontSize = legendFontSize;
938      l.Title.String = legendTitle;
939      l.Title.Color = 'black';
940      legend(strLegend, 'FontSize', legendFontSize, 'FontAngle', 'italic', ...

```

```

942     'Location', 'northeast', 'Interpreter', 'latex');
943 box on, grid on
944 set(gca, 'FontName', 'AvantGarde')
945
946 % Save figures as high-resolution PNG-files.
947 newStr = [strPressureDrop{i}, '.png']; % add .png to names.
948 saveFile = join(newStr);
949 % drawnow;
950 % pause to let the figure fill the whole screen, screencapture is way
951 % to fast for this. Pause = 0.39 seems to work fine for now.
952 pause(0.39)
953
954
955 % NEVER EVER USE PRINTER AS AN OPTION!
956 screencapture(0, 'position', embeddedPosition, ...
957     'target', fullfile(fPath, saveFile))
958 % This is the fastest way to save figures, extremely fast.
959 % if verLessThan('matlab', '9.8.0')
960 %     % Use only if older than R2020a
961 %     saveas(gcf, fullfile(fPath, saveFile), 'png')
962 % else
963 %     % Only for matlab R2020a
964 %     exportgraphics(gcf, fullfile(fPath, saveFile), 'Resolution', resolution)
965 % end
966 % saveas(gcf, fullfile(fPath, saveFile), 'epsc')
967 % print(gcf, fullfile(fPath, saveFile), '-dpng', '-r900');
968 % F = getframe(gcf);
969 % imwrite(F.cdata, saveFile);
970 close gcf
971 end
972
973
974
975
976
977
978
979
980
981
982
983
984
985
986
987
988 %% Plot Data For Sand III
989 % Save String.
990 % str = {'Sand III HiFlow \n Pall rings, R = 0.5', ...
991 %     'Sand III HiFlow \n Pall rings, R = 0.25', 'Sand III Unpacked bed', ...
992 %     'Sand III Saddle rings \n, R = 0.5', 'Sand III Saddle rings \n, R = 0.25'};
993
994 strSave = {'S3 HiFlow R = 0.5', 'S3 HiFlow R = 0.25', 'S3 Unpacked Bed', ...
995     'S3 Saddle Rings R = 0.5', 'S3 Saddle Rings R = 0.25', ...
996     'S3 DeepBed Saddle R = 1', 'S3 DeepBED Unpacked', ...
997     'S3 DeepBed Saddle R = 0.5'};
998
999 fPath = 'C:\Users\Tinki\Desktop\BachelorThesis\Sand3Graphs';
1000 % h = gobjects(size(valuesXsand3{1}, 2));
1001
1002 % Values to change fontsizes nad apperance of figures.
1003 legendFontSize = 18;
1004 axisFontSize = 1.2;
1005 lineWidth = 1.8;
1006 XaxisFontSize = 42;
1007 YaxisFontSize = 24;
1008 masterFontSize = 18;
1009
1010 % Strings for axis, legends, xlabel and ylabel.
1011 Xstring = {'$v_{luft} \quad \big[ \frac{m}{s} \big] $'};
1012 Ystring = {'$\Delta P [mbar]$'};
1013 legendTitle = {'Tryckssensor'};
1014

```

```

1015 % Preallocation for graphical object.
1016 h = gobjects(size(valuesYsand3{1}, 2));
1017 % resolution = 300; % -DPI use double of standard DPI for PNG-file saving.
1018
1019 % Normalise system to use Fullscreen figures, remember to change back since
1020 % you are altering the default settings.
1021 % set(groot, 'defaultFigureUnits','normalized')
1022 % set(groot, 'defaultFigurePosition',[0 0 1 1])
1023
1024 % Get acutal screensize.
1025 screenSize = get(0, 'ScreenSize');
1026
1027 % Cut away some of the screen for better graphs to save. Offset = 70 seems
1028 % to work absolutly best.
1029 offset = 70;
1030 embeddedPosition = [screenSize(1), screenSize(2), ...
1031     screenSize(3), screenSize(4) - offset];
1032
1033 % screenSize(1),screenSize(2)
1034
1035
1036 % Using for-loop to plot every set of pressure data and velocities
1037 for i = 1:numTest
1038
1039 %—————
1040 % Set correct maximazing fo figures in MATLAB
1041
1042 % fig = gcf; % only works for MATLAB R2018a or alter.
1043 % fig.WindowState = 'maximized'; % Maximize figure on screen.
1044 % % Good for great resolution in plotting.
1045 % Speed up saving process using set(gcf,'Postitions',...etc...etc...).
1046 % set(gcf, 'unit', 'norm', 'position', [0, 0, 1, 1])
1047 set(gcf, 'WindowState', 'fullscreen')
1048 % Plot current data.
1049 for k = 2:size(valuesY{1}, 2)
1050     h(k) = plot(plotDataX{i}(1:length(valuesYsand3{i})), ...
1051         valuesYsand3{i}(:, k), '—o', ...
1052         'LineWidth', lineWidth, 'Color', colourString{k});
1053     hold on
1054 end
1055 % Initialize axis, figure properties legend properties.
1056 ax = gca;
1057 ax.FontSize = masterFontSize;
1058 set(gcf, 'unit', 'norm', 'position', [0, 0, 1, 1])
1059 fig = gcf;
1060 set(gcf, 'color', 'w');
1061 setappdata(gca, 'LegendColorbarManualSpace', 1);
1062 setappdata(gca, 'LegendColorbarReclaimSpace', 1);
1063 % set(ax, 'nextplot', 'replacechildren'); % Forces new plot but keeps
1064 % current format on legends and axis. Also remove anyoing childrens ;
1065 % feature('DefaultCharacterSet', 'UTF8')
1066 % Set X-axis
1067 xlabel(Xstring, 'Interpreter', 'latex', 'FontSize', ...
1068     XaxisFontSize);
1069 ax.XAxisLocation = 'bottom';
1070 set(get(gca, 'XLabel'), 'Rotation', 0); % Horizontal text.
1071 ax.XLimMode = 'auto';
1072 % Set Y-axis.
1073 ylabel(Ystring, 'Interpreter', 'latex', ...
1074     'FontSize', YaxisFontSize);
1075 ax.YAxisLocation = 'origin';
1076 ax.YLimMode = 'auto';
1077 % set(get(gca, 'YLabel'), 'Rotation', 180); % Horizontal text.
1078 ylh = get(gca, 'ylabel');
1079 ylp = get(ylh, 'Position');
1080 set(ylh, 'Rotation', 90, 'Position', ylp, 'VerticalAlignment', ...
1081     'middle', 'HorizontalAlignment', 'center')
1082 ax.YAxis.MinorTick = 'on';
1083
1084 % Set title.
1085 % ax.Title.String = str{i};
1086
1087 % Set axis properties.

```

```

1088 ax.Title.FontWeight = 'normal';
1089 ax.Title.FontAngle = 'italic';
1090 ax.LabelFontSizeMultiplier = axisFontSize;
1091 ax.TitleFontSizeMultiplier = axisFontSize;
1092 ax.FontSmoothing = 'on';
1093 ax.GridLineStyle = ':';
1094 ax.GridAlpha = 0.2;
1095
1096 % Set axis limits, could be auto but more control with manual.
1097 ax.YAxis.Limits = [min(min(valuesYsand3{i}(:, 2:end))), ...
1098 max(max(valuesYsand3{i}(:, 2:end)))] ;
1099
1100 ax.XAxis.Limits = [plotDataX{i}(1), ...
1101 max(plotDataX{i}(1:length(valuesYsand3{i}(:, 2:end))))];
1102 ax.TickDirMode = 'auto';
1103
1104 % Set X and Y-tick properties, mainly changing their FontSize
1105
1106
1107 % Set legends.
1108 l = legend('show');
1109 l.TextColor = 'black';
1110 l.FontAngle = 'italic';
1111 l.FontName = 'Comic Sans MS';
1112 l.FontSize = legendFontSize;
1113 l.Title.String = legendTitle;
1114 l.Title.Color = 'black';
1115 legend(strLegend, 'FontSize', legendFontSize, 'FontAngle', 'italic', ...
1116 'Location', 'northeast', 'Interpreter', 'latex');
1117 box on, grid on
1118 set(gca, 'FontName', 'AvantGarde')
1119
1120 % Save figures as high-resolution PNG-files.
1121 newStr = [strSave{i}, '.png']; % add .png to names.
1122 saveFile = join(newStr);
1123 % drawnow;
1124 % pause to let the figure fill the whole screen, screencapture is way
1125 % to fast for this. Pause = 0.39 seems to work fine for now.
1126 pause(0.39)
1127
1128
1129 % NEVER EVER USE PRINTER AS AN OPTION!
1130 screencapture(0, 'position', embeddedPosition, ...
1131 'target', fullfile(fPath, saveFile))
1132 % This is the fastest way to save figures, extremely fast.
1133 % if verLessThan('matlab', '9.8.0')
1134 %     % Use only if older than R2020a
1135 %     saveas(gcf, fullfile(fPath, saveFile), 'png')
1136 % else
1137 %     % Only for matlab R2020a
1138 %     exportgraphics(gcf, fullfile(fPath, saveFile), 'Resolution', resolution)
1139 % end
1140 % saveas(gcf, fullfile(fPath, saveFile), 'epsc')
1141 % print(gcf, fullfile(fPath, saveFile), '-dpng', '-r900');
1142 % F = getframe(gcf);
1143 % imwrite(F.cdata, saveFile);
1144 close gcf
1145 end
1146
1147 %% Plot Pressure During Sample Time
1148 %
1149 % ===== Plot Sampling Data =====
1150 %
1151 % SAMPLING DATA SAMPLING DATA SAMPLING DATA SAMPLING DATA SAMPLING DATA !!!!!!!
1152 % SAMPLING DATA SAMPLING DATA SAMPLING DATA SAMPLING DATA SAMPLING DATA !!!!!!!
1153 clc
1154 % Plot over the sample interval, Time V.S Pressure.
1155 strLegend = {'$P_1$', '$P_2$', '$P_3$'};
1156 % h = gobjects(size(rawName, 2));
1157 colourString = {'black', 'red', 'blue', 'green'};
1158 saveName = cell(1, length(rawName));
1159 titleString = cell(1, length(rawName));
1160
```

```

1161 % Declare path to save file, use fullfile!!
1162 fPath = 'C:\Users\Tinki\Desktop\BachelorThesis\SamplingDataGraphs';
1164
1165 % Manipulate save string.
1166 for i = 1:length(rawName)
1167     x = rawName{i}(1:end - 4);
1168     saveName{i} = [x, '_graph'];
1169     titleString{i} = strrep(x, '_', ' ');
1170 end
1171
1172 % Values to change fontsizes nad apperance of figures.
1173 legendFontSize = 18;
1174 axisFontSize = 1.2;
1175 lineWidth = 1.8;
1176 XaxisFontSize = 42;
1177 YaxisFontSize = 24;
1178 masterFontSize = 18;
1179
1180 % Strings for axis,legends,Xlabel and Ylabel.
1181 Xstring = {'tid [s]'};
1182 Ystring = {'$\Delta P$[mbar]'};
1183 legendTitle = {'Trycksensor'};
1184
1185 % Preallocation for graphical object.
1186 h = gobjects(size(rawName{1}, 2));
1187 resolution = 300; % -DPI use double of standard DPI for PNG-file saving.
1188
1189 % Normalise system to use Fullscreen figures, remember to change back since
1190 % you are altering the default settings.
1191 % set(gcf, 'defaultFigureUnits','normalized')
1192 % set(gcf, 'defaultFigurePosition',[0 0 1 1])
1193
1194 % Get acutal screensize.
1195 screenSize = get(0, 'ScreenSize');
1196
1197 % Cut away some of the screen for better grpahs to save. Offset = 70 seems
1198 % to work absolutly best.
1199 offset = 70;
1200 embeddedPosition = [screenSize(1), screenSize(2), ...
1201     screenSize(3), screenSize(4) - offset];
1202
1203 % Plot the data using useful tricks to get it to the right subfolders and
1204 % name.
1205
1206
1207 idx = [14, 16, 2, 15];
1208
1209 for i = 1:length(rawName)
1210     %
1211     % Set correct maximazing fo figures in MATLAB
1212     set(gcf, 'WindowState', 'fullscreen')
1213
1214     if ~isempty(rawData{i})
1215
1216         % Plot current data.
1217         for k = 2:size(idx, 2)
1218
1219             h(k) = plot(rawData{i}(:, 1), rawData{i}(:, idx(k)), '—', ...
1220                 'LineWidth', 0.7, 'Color', colourString{k-1});
1221             hold on
1222
1223         end
1224
1225         % Initialize axis, figure properties legend properties.
1226         ax = gca;
1227         ax.FontSize = masterFontSize;
1228         set(gcf, 'unit', 'norm', 'position', [0, 0, 1, 1])
1229         fig = gcf;
1230         set(gcf, 'color', 'w');
1231         setappdata(gca, 'LegendColorbarManualSpace', 1);
1232         setappdata(gca, 'LegendColorbarReclaimSpace', 1);
1233         %     set(ax, 'nextplot', 'replacechildren'); % Forces new plot but keeps

```

```

1234 % current format on legends and axis. Also remove anyoing childrens ;
1235 % feature('DefaultCharacterSet', 'UTF8')
1236 % Set X-axis
1237 xlabel(Xstring, 'Interpreter', 'latex', 'FontSize', ...
1238     XaxisFontSize);
1239 ax.XAxisLocation = 'bottom';
1240 set(get(gca, 'XLabel'), 'Rotation', 0); % Horizontal text.
1241 ax.XLimMode = 'auto';
1242 % Set Y-axis.
1243 ylabel(Ystring, 'Interpreter', 'latex', ...
1244     'FontSize', YaxisFontSize);
1245 ax.YAxisLocation = 'origin';
1246 ax.YLimMode = 'auto';
1247 %      set(get(gca, 'YLabel'), 'Rotation', 180); % Horizontal text.
1248 ylh = get(gca, 'ylabel');
1249 ylp = get(ylh, 'Position');
1250 set(ylh, 'Rotation', 90, 'Position', ylp, 'VerticalAlignment', ...
1251     'middle', 'HorizontalAlignment', 'center')
1252 ax.YAxis.MinorTick = 'on';
1253
1254 % Set title.
1255 ax.Title.String = titleString{i};
1256
1257 % Set axis properties.
1258 ax.Title.FontWeight = 'normal';
1259 ax.Title.FontAngle = 'italic';
1260 ax.LabelFontSizeMultiplier = axisFontSize;
1261 ax.TitleFontSizeMultiplier = axisFontSize;
1262 ax.FontSmoothing = 'on';
1263 ax.GridLineStyle = ':';
1264 ax.GridAlpha = 0.2;
1265
1266 % Set axis limits, could be auto but more control with manual.
1267 ax.YAxis.Limits = [min(min(rawData{i}(:, idx(2:end)))), ...
1268     max(max(rawData{i}(:, idx(2:end))))];
1269
1270 ax.XAxis.Limits = [0, max(rawData{i}(:, 1))];
1271 ax.TickDirMode = 'auto';
1272 % Set legends.
1273 l = legend('show');
1274 l.TextColor = 'black';
1275 l.FontAngle = 'italic';
1276 l.FontName = 'Comic Sans MS';
1277 l.FontSize = legendFontSize;
1278 l.Title.String = legendTitle;
1279 l.Title.Color = 'black';
1280 legend(strLegend, 'FontSize', legendFontSize, 'FontAngle', 'italic', ...
1281     'Location', 'northeast', 'Interpreter', 'latex');
1282 box on, grid on
1283 set(gca, 'FontName', 'AvantGarde')
1284
1285 % Save figures as high-resolution PNG-files.
1286 newStr = [saveName{i}, '.png']; % add .png to names.
1287 saveFile = join(newStr);
1288 % drawnow;
1289 % pause to let the figure fill the whole screen, screencapture is way
1290 % to fast for this. Pause = 0.39 seems to work fine for now.
1291 pause(0.39)
1292
1293 % NEVER EVER USE PRINTER AS AN OPTION!
1294 screencapture(0, 'position', embeddedPosition, ...
1295     'target', fullfile(fPath, saveFile))
1296 % This is the fastest way to save figures, extremely fast.
1297 % if verLessThan('matlab', '9.8.0')
1298 %     % Use only if older than R2020a
1299 %     saveas(gcf, fullfile(fPath, saveFile), 'png')
1300 % else
1301 %     % Only for matlab R2020a
1302 %     exportgraphics(gcf, fullfile(fPath, saveFile), 'Resolution', resolution)
1303 % end
1304 % saveas(gcf, fullfile(fPath, saveFile), 'epsc')
1305 % print(gcf, fullfile(fPath, saveFile), '-dpng', '-r900');

```

```

1307     %      F = getframe(gcf);
1308     %      imwrite(F.cdata, saveFile);
1309     close gcf
1310 else
1311     fprintf(1, '\n');
1312     fprintf(1, ' Current Datafile is Empty, number: %3.0f.\n', i);
1313 end
1314
1315 end
1316
1317 %% Windbox-empty bed-atmospheric pressure.
1318
1319 %% Get Minimal Fluidization Velocity For Sand 1.
1320 %
1321 % ===== More Data Analysis =====
1322 %
1323
1324 % Find minimal fluidization velocity u_mf.
1325
1326 % We can make more with this loop.
1327 % Try looping over each P_1-P_3 and try to get minimal fluidization
1328 % velocity on each level of the bed.
1329
1330 % n = 15;
1331 id = 'MATLAB:polyfit:RepeatedPointsOrRescale';
1332 warning('off', id);
1333
1334 r = 0.0605;
1335
1336 for i = 1:numTest - 1
1337     x = valuesX{i}(1:length(valuesY{i}));
1338     y = valuesY{i}(:, 2)';
1339
1340     idx = islocalmax(y);
1341     localMaxX = x(idx);
1342     % Using modelfun
1343     % fcn = @(b,x) b(1).*exp(b(2).*x) + b(3).*log(b(4).*x);
1344     % [B,fval] = fminsearch(@(b) norm(y - fcn(b,x)), ones(4,1));
1345
1346     % plot(x, y, 'p')
1347     % hold on
1348     % plot(x, fcn(B,x), '-') 0,2 136
1349     % hold off
1350     % grid
1351
1352     % Using polyfit. Works for now.
1353
1354     % X = 0:0.001:700;
1355     % p = polyfit(x, y, n);
1356     % fun = @(x)polyval(p, X);
1357     % A = fun(X);
1358     % TF = islocalmax(A);
1359     % plot(x,A,x(TF),A(TF),'r*');
1360     % hold on
1361     % plot(x,y,'--')
1362     % hold off
1363     %
1364     %
1365     % localMaxX = X(TF);
1366
1367     % convert to minimal fluidization velocity and not volumetric flow.
1368     B = localMaxX ./ 1000 ./ 60;
1369     localMaxX = B ./ (pi * r.^2);
1370     % localMaxY = y(TF);
1371
1372 if isempty(localMaxX)
1373     fprintf(1, '\n');
1374     fprintf(1, ' No local Maxima was found for case\n');
1375     fprintf(1, '%s \n', str{i});
1376 else
1377
1378     fprintf(1, '\n');
1379     fprintf(1, ' Minimal fluidization velocity for case\n');

```

```

1380         fprintf(1, ' %s is:%3.9f.\n', str{i}, localMaxX(1));
1381     end
1382 end
1383 % =====

```

## E.2 importfile.m

```

1 function S1SaddleR = importfile(filename, startRow, endRow)
2 %IMPORTFILE Import numeric data from a text file as a matrix.
3 %   S1SADDLER = IMPORTFILE(FILENAME) Reads data from text file FILENAME for
4 %   the default selection.
5 %
6 %   S1SADDLER = IMPORTFILE(FILENAME, STARTROW, ENDROW) Reads data from rows
7 %   STARTROW through ENDROW of text file FILENAME.
8 %
9 % Example:
10 %   S1SaddleR = importfile('20200218-S1-Saddle-R.5-V54.txt', 25, 75);
11 %
12 % See also TEXTSCAN.
13
14 % Auto-generated by MATLAB on 2020/02/19 21:07:57
15
16 %% Initialize variables.
17 delimiter = '\t';
18 if nargin≤2
19     startRow = 25;
20     endRow = 75;
21 end
22
23 %% Format for each line of text:
24 %   column1: double (%f)
25 %   column2: double (%f)
26 %   column3: double (%f)
27 %   column4: double (%f)
28 %   column5: double (%f)
29 %   column6: double (%f)
30 %   column7: double (%f)
31 %   column8: double (%f)
32 %   column9: double (%f)
33 %   column10: double (%f)
34 %   column11: double (%f)
35 %   column12: double (%f)
36 %   column13: double (%f)
37 %   column14: double (%f)
38 %   column15: double (%f)
39 %   column16: double (%f)
40 %   column17: double (%f)
41 %   column18: double (%f)
42 %   column19: double (%f)
43 %   column20: double (%f)
44 %   column21: double (%f)
45 %   column22: double (%f)
46 %   column23: double (%f)
47 %   column24: double (%f)
48 %   column25: double (%f)
49 %   column26: double (%f)
50 %   column27: double (%f)
51 %   column28: double (%f)
52 %   column29: double (%f)
53 %   column30: double (%f)
54 %   column31: double (%f)
55 %   column32: double (%f)
56 %   column33: double (%f)
57 %   column34: double (%f)
58 %   column35: double (%f)
59 %   column36: double (%f)
60 %   column37: double (%f)
61 %   column38: double (%f)
62 %   column39: double (%f)

```

```

63 %     column40: double (%f)
64 %     column41: double (%f)
65 %     column42: double (%f)
66 %     column43: double (%f)
67 %     column44: double (%f)
68 %     column45: double (%f)
69 %     column46: double (%f)
70 %     column47: double (%f)
71 % For more information, see the TEXTSCAN documentation.
72 formatSpec = ...
    '%f%f%f%f%f%f%f%f%f%f%f%f%f%f%f%f%f%f%f%f%f%f%f%f%f...
73 %f%f%f%f%f*f%*s%*s%*s%*s%*s%[^\\n\\r]';
74
75 %% Open the text file.
76 [fileID, msg] = fopen(filename,'r');
77 if fileID < 0
    error('Failed to open file "%s" because: "%s"', filename, msg);
78 end
80
81 %% Read columns of data according to the format.
82 % This call is based on the structure of the file used to generate this
83 % code. If an error occurs for a different file, try regenerating the code
84 % from the Import Tool.
85 dataArray = textscan(fileID, formatSpec, endRow(1)-startRow(1)+1, 'Delimiter', ...
    delimiter, 'TextType', 'string', 'HeaderLines', startRow(1)-1, 'ReturnOnError', ...
    false, 'EndOfLine', '\r\n');
86 for block=2:length(startRow)
    frewind(fileID);
88 dataArrayBlock = textscan(fileID, formatSpec, endRow(block)-startRow(block)+1, ...
    'Delimiter', delimiter, 'TextType', 'string', 'HeaderLines', startRow(block)-1, ...
    'ReturnOnError', false, 'EndOfLine', '\r\n');
89 for col=1:length(dataArray)
    dataArray{col} = [dataArray{col};dataArrayBlock{col}];
90 end
91 end
92 end
93
94 %% Close the text file.
95 fclose(fileID);
96
97 %% Post processing for unimportable data.
98 % No unimportable data rules were applied during the import, so no post
99 % processing code is included. To generate code which works for
100 % unimportable data, select unimportable cells in a file and regenerate the
101 % script.
102
103 %% Create output variable
104 S1SaddleR = [dataArray{1:end-1}];
```

### E.3 natsort.m

Följande program är gjort av Stephen Cobeldick [24]

```

1 function [X,ndx,dbg] = natsort(X,rgx,varargin)
2 % Alphanumeric / Natural-Order sort the strings in a cell array of strings (1xN char).
3 %
4 % (c) 2012–2019 Stephen Cobeldick
5 %
6 % Alphanumeric sort a cell array of strings: sorts by character order and
7 % also by the values of any number substrings. Default: match all integer
8 % number substrings and perform a case-insensitive ascending sort.
9 %
10 %% Example:
11 % >> X = {'x2', 'x10', 'x1'};
12 % >> sort(X)
13 % ans = 'x1' 'x10' 'x2'
14 % >> natsort(X)
15 % ans = 'x1' 'x2' 'x10'
16 %
17 %% Syntax:
```

```

18 % Y = natsort(X)
19 % Y = natsort(X,rgx)
20 % Y = natsort(X,rgx,<options>)
21 % [Y,ndx,dbg] = natsort(X,...)
22 %
23 % To sort filenames or filepaths use NATSORTFILES (FEX 47434).
24 % To sort the rows of a cell array of strings use NATSORTROWS (FEX 47433).
25 %
26 %% Number Substrings %%
27 %
28 % By default consecutive digit characters are interpreted as an integer.
29 % Specifying the optional regular expression pattern allows the numbers to
30 % include a +/- sign, decimal digits, exponent E-notation, quantifiers,
31 % or look-around matching. For information on defining regular expressions:
32 % http://www.mathworks.com/help/matlab/matlab_prog/regular-expressions.html
33 %
34 % The number substrings are parsed by SSCANF into numeric values, using
35 % either the *default format '%f' or the user-supplied format specifier.
36 %
37 % This table shows examples of regular expression patterns for some common
38 % notations and ways of writing numbers, with suitable SSCANF formats:
39 %
40 % Regular Expression: | Number Substring | Number Substring | SSCANF
41 % Match Examples: | Match Description: | Format Specifier:
42 % =====
43 % * \d+ | 0, 123, 4, 56789 | unsigned integer | %f %i %u %lu
44 %
45 % [-+]? \d+ | +1, 23, -45, 678 | integer with optional +/- sign | %f %i %d %ld
46 %
47 % \d+\.? \d* | 012, 3.45, 678.9 | integer or decimal | %f
48 % (\d+|Inf|NaN) | 123, 4, NaN, Inf | integer, Inf, or NaN | %f
49 % \d+\.\d+e\d+ | 0.123e4, 5.67e08 | exponential notation | %f
50 %
51 % 0[0-7]+ | 012, 03456, 0700 | octal notation & prefix | %o %i
52 % [0-7]+ | 12, 3456, 700 | octal notation | %o
53 %
54 % 0X[0-9A-F]+ | 0X0, 0X3E7, 0xFF | hexadecimal notation & prefix | %x %i
55 % [0-9A-F]+ | 0, 3E7, FF | hexadecimal notation | %x
56 %
57 % 0B[01]+ | 0B1, 0B101, 0B10 | binary notation & prefix | %b (not SSCANF)
58 % [01]+ | 1, 101, 10 | binary notation | %b (not SSCANF)
59 %
60 %
61 %% Debugging Output Array %%
62 %
63 % The third output is a cell array <dbg>, to check if the numbers have
64 % been matched by the regular expression <rgx> and converted to numeric
65 % by the SSCANF format. The rows of <dbg> are linearly indexed from <X>,
66 % even columns contain numbers, odd columns contain split substrings:
67 %
68 % >> [~,~,dbg] = natsort(X)
69 % dbg =
70 % 'x' [ 2]
71 % 'x' [10]
72 % 'x' [ 1]
73 %
74 %% Examples %%
75 %
76 %%% Multiple integers (e.g. release version numbers):
77 % >> A = {'v10.6', 'v9.10', 'v9.5', 'v10.10', 'v9.10.20', 'v9.10.8'};
78 % >> sort(A)
79 % ans = 'v10.10' 'v10.6' 'v9.10' 'v9.10.20' 'v9.10.8' 'v9.5'
80 % >> natsort(A)
81 % ans = 'v9.5' 'v9.10' 'v9.10.8' 'v9.10.20' 'v10.6' 'v10.10'
82 %
83 %%% Integer, decimal, NaN, or Inf numbers, possibly with +/- signs:
84 % >> B = {'test+NaN', 'test11.5', 'test-1.4', 'test', 'test-Inf', 'test+0.3'};
85 % >> sort(B)
86 % ans = 'test' 'test+0.3' 'test+NaN' 'test-1.4' 'test-Inf' 'test11.5'
87 % >> natsort(B, '[-+]?(\d+|Inf|\.\d+e\d*)')
88 % ans = 'test' 'test-Inf' 'test-1.4' 'test+0.3' 'test11.5' 'test+NaN'
89 %
90 %%% Integer or decimal numbers, possibly with an exponent:

```

```

91 % >> C = {'0.56e007', '', '43E-2', '10000', '9.8'};
92 % >> sort(C)
93 % ans = '' '0.56e007' '10000' '43E-2' '9.8'
94 % >> natsort(C, '\d+\.?\\d*([eE][-+]?\\d+)?')
95 % ans = '' '43E-2' '9.8' '10000' '0.56e007'
96 %
97 %%% Hexadecimal numbers (with '0X' prefix):
98 % >> D = {'a0X7C4z', 'a0X5z', 'a0X18z', 'a0XFz'};
99 % >> sort(D)
100 % ans = 'a0X18z' 'a0X5z' 'a0X7C4z' 'a0XFz'
101 % >> natsort(D, '0X[0-9A-F]+', '%i')
102 % ans = 'a0X5z' 'a0XFz' 'a0X18z' 'a0X7C4z'
103 %
104 %%% Binary numbers:
105 % >> E = {'a11111000100z', 'a101z', 'a000000000011000z', 'a1111z'};
106 % >> sort(E)
107 % ans = 'a000000000011000z' 'a101z' 'a11111000100z' 'a1111z'
108 % >> natsort(E, '[01]+', '%b')
109 % ans = 'a101z' 'a1111z' 'a000000000011000z' 'a11111000100z'
110 %
111 %%% Case sensitivity:
112 % >> F = {'a2', 'A20', 'A1', 'a10', 'A2', 'a1'};
113 % >> natsort(F, [], 'ignorecase') % default
114 % ans = 'A1' 'a1' 'a2' 'A2' 'a10' 'A20'
115 % >> natsort(F, [], 'matchcase')
116 % ans = 'A1' 'A2' 'A20' 'a1' 'a2' 'a10'
117 %
118 %%% Sort order:
119 % >> G = {'2', 'a', '', '3', 'B', '1'};
120 % >> natsort(G, [], 'ascend') % default
121 % ans = '' '1' '2' '3' 'a' 'B'
122 % >> natsort(G, [], 'descend')
123 % ans = 'B' 'a' '3' '2' '1' ''
124 % >> natsort(G, [], 'num<char') % default
125 % ans = '' '1' '2' '3' 'a' 'B'
126 % >> natsort(G, [], 'char<num')
127 % ans = '' 'a' 'B' '1' '2' '3'
128 %
129 %%% UINT64 numbers (with full precision):
130 % >> natsort({'a18446744073709551615z', 'a18446744073709551614z'}, [], '%lu')
131 % ans = 'a18446744073709551614z' 'a18446744073709551615z'
132 %
133 %% Input and Output Arguments %%
134 %
135 %%% Inputs (*==default):
136 % X = CellArrayOfCharRowVectors, to be sorted into natural-order.
137 % rgx = Regular expression to match number substrings, '\d+'
138 %      = [] uses the default regular expression, which matches integers.
139 % <options> can be entered in any order, as many as required:
140 %      = Sort direction: 'descend'/'ascend'*
141 %      = NaN/number order: 'NaN<num'/'num<NaN'*
142 %      = Character/number order: 'char<num'/'num<char'*
143 %      = Character case handling: 'matchcase'/'ignorecase'*
144 %      = SSCANF number conversion format, e.g.: '%f*', '%x', '%li', '%b', etc.
145 %
146 %%% Outputs:
147 % Y = CellArrayOfCharRowVectors, <X> sorted into natural-order.
148 % ndx = NumericArray, such that Y = X(ndx). The same size as <X>.
149 % dbg = CellArray of the parsed characters and number values.
150 %      Each row is one input char vector, linear-indexed from <X>.
151 %
152 % See also SORT NATSORTFILES NATSORTROWS CELLSTR REGEXP IREGEXP SSCANF
153 %
154 %% Input Wrangling %%
155 %
156 assert(iscell(X), 'First input <X> must be a cell array.')
157 tmp = cellfun('isclass', X, 'char') & cellfun('size', X, 1) < 2 & cellfun('ndims', X) < 3;
158 assert(all(tmp(:)), 'First input <X> must be a cell array of char row vectors (1xN char).')
159 %
160 if nargin < 2 || isnumeric(rgx) && isempty(rgx)
161     rgx = '\d+';
162 else
163     assert(ischar(rgx) && ndims(rgx) < 3 && size(rgx, 1) == 1, ...

```

```

164     'Second input <rgx> must be a regular expression (char row vector).') %#ok<ISMAT>
165 end
166 %
167 % Optional arguments:
168 tmp = cellfun('isclass',varargin,'char') & cellfun('size',varargin,1)<2 & ...
    cellfun('ndims',varargin)<3;
169 assert(all(tmp(:)), 'All optional arguments must be char row vectors (1xN char).')
170 %
171 % Character case:
172 ccm = strcasecmp(varargin,'matchcase');
173 ccx = strcasecmp(varargin,'ignorecase')|ccm;
174 %
175 % Sort direction:
176 sdd = strcasecmp(varargin,'descend');
177 sdx = strcasecmp(varargin,'ascend')|sdd;
178 %
179 % Char/num order:
180 chb = strcasecmp(varargin,'char<num');
181 chx = strcasecmp(varargin,'num<char')|chb;
182 %
183 % NaN/num order:
184 nab = strcasecmp(varargin,'NaN<num');
185 nax = strcasecmp(varargin,'num<NaN')|nab;
186 %
187 % SSCANF format:
188 sfx = ~cellfun('isempty',regexp(varargin,'^%([bdieuoxfeg]|l[diuox])$'));
189 nsAssert(1,varargin,sdx,'Sort direction')
190 nsAssert(1,varargin,chx,'Char<->num')
191 nsAssert(1,varargin,nax,'NaN<->num')
192 nsAssert(1,varargin,sfx,'SSCANF format')
193 nsAssert(0,varargin,~(ccx|sdx|chx|nax|sfx))
194 %
195 % SSCANF format:
196 if nnz(sfx)
    fmt = varargin{sfx};
    if strcasecmp(fmt,'%b')
        cls = 'double';
    else
        cls = class(sscanf('0',fmt));
    end
197 else
    fmt = '%f';
    cls = 'double';
198 end
199 %
200 %% Identify Numbers %%
201 %
202 [mat,spl] = regexpi(X(:,rgx,'match','split',varargin{ccx}));
203 %
204 % Determine lengths:
205 nmx = numel(X);
206 nmn = cellfun('length',mat);
207 nms = cellfun('length',spl);
208 mxs = max(nms);
209 %
210 % Preallocate arrays:
211 bon = bsxfun(@le,1:mxs,nmn)';
212 bos = bsxfun(@le,1:mxs,nms)';
213 arn = zeros(mxs,nmx,cls);
214 ars = cell(mxs,nmx);
215 ars(:) = {''};
216 ars(bos) = [spl{:}];
217 %
218 %% Convert Numbers to Numeric %%
219 %
220 if nmx
    tmp = [mat{:}];
    if strcasecmp(fmt,'%b')
        tmp = regexprep(tmp,'^0[Bb]', '');
        vec = cellfun(@(s)sum(pow2(s-'0',numel(s)-1:-1:0)),tmp);
    else
        vec = sscanf(sprintf(' %s',tmp{:}),fmt);
    end
221 assert(numel(vec)==numel(tmp), 'The %s format must return one value for each input ...
    number.',fmt)
222 else
    vec = [];

```

```

235 end
236 %
237 %% Debugging Array %%
238 %
239 if nmx && nargout>2
240     dbg = cell(mxs,nmx);
241     dbg(:) = {''};
242     dbg(bon) = num2cell(vec);
243     dbg = reshape(permute(cat(3,ars,dbg),[3,1,2]),[],nmx).';
244     idf = [find(~all(cellfun('isempty',dbg),1),1,'last'),1];
245     dbg = dbg(:,1:idf(1));
246 else
247     dbg = {};
248 end
249 %
250 %% Sort Columns %%
251 %
252 if ~any(ccm) % ignorecase
253     ars = lower(ars);
254 end
255 %
256 if nmx && any(chb) % char<num
257     boe = ~cellfun('isempty',ars(bon));
258     for k = reshape(find(bon),1,[])
259         ars{k}(end+1) = char(65535);
260     end
261     [idr,idc] = find(bon);
262     idn = sub2ind(size(bon),boe(:)+idr(:,1),idc(:,1));
263     bon(:) = false;
264     bon(idn) = true;
265     arn(idn) = vec;
266     bon(isnan(arn)) = ~any(nab);
267     ndx = 1:nmx;
268     if any(sdd) % descending
269         for k = mxs:-1:1
270             [~,idx] = sort(nsGroup(ars(k,ndx)), 'descend');
271             ndx = ndx(idx);
272             [~,idx] = sort(arn(k,ndx), 'descend');
273             ndx = ndx(idx);
274             [~,idx] = sort(bon(k,ndx), 'descend');
275             ndx = ndx(idx);
276         end
277     else % ascending
278         for k = mxs:-1:1
279             [~,idx] = sort(ars(k,ndx));
280             ndx = ndx(idx);
281             [~,idx] = sort(arn(k,ndx), 'ascend');
282             ndx = ndx(idx);
283             [~,idx] = sort(bon(k,ndx), 'ascend');
284             ndx = ndx(idx);
285         end
286     end
287 else % num<char
288     arn(bon) = vec;
289     bon(isnan(arn)) = ~any(nab);
290     if any(sdd) % descending
291         [~,ndx] = sort(nsGroup(ars(mxs,:)), 'descend');
292         for k = mxs-1:-1:1
293             [~,idx] = sort(arn(k,ndx), 'descend');
294             ndx = ndx(idx);
295             [~,idx] = sort(bon(k,ndx), 'descend');
296             ndx = ndx(idx);
297             [~,idx] = sort(nsGroup(ars(k,ndx)), 'descend');
298             ndx = ndx(idx);
299         end
300     else % ascending
301         [~,ndx] = sort(ars(mxs,:));
302         for k = mxs-1:-1:1
303             [~,idx] = sort(arn(k,ndx), 'ascend');
304             ndx = ndx(idx);
305             [~,idx] = sort(bon(k,ndx), 'ascend');
306             ndx = ndx(idx);
307             [~,idx] = sort(ars(k,ndx));

```

```

308         ndx = ndx(idx);
309     end
310 end
311 %
312 %
313 ndx = reshape(ndx,size(X));
314 X = X(ndx);
315 %
316 end
317 %%%%%%%%%%%%%%%%
318 function nsAssert(val,inp,idx,varargin)
319 % Throw an error if an option is overspecified.
320 if nnz(idx)>val
321     tmp = {'Unknown input arguments',' option may only be specified once. Provided ...';
322             'inputs'};
323     error('%s:%s',[varargin{:},tmp{1+val}],sprintf('\n''%s''',inp{idx}))
324 end
325 %
326 function grp = nsGroup(vec)
327 % Groups of a cell array of strings, equivalent to [~,~,grp]=unique(vec);
328 [vec,idx] = sort(vec);
329 grp = cumsum([true,strcmp(vec(1:end-1),vec(2:end))]);
330 grp(idx) = grp;
331 end
332 %

```

## E.4 natsortfiles.m

```

1 function [X,ndx,dbg] = natsortfiles(X,rgx,varargin)
2 % Alphanumeric / Natural-Order sort of a cell array of filename/filepath strings (1xN ...
3 % char).
4 %
5 % (c) 2014–2019 Stephen Cobeldick
6 %
7 % Alphanumeric sort of a cell array of filenames or filepaths: sorts by
8 % character order and also by the values of any numbers that are within
9 % the names. Filenames, file-extensions, and directories (if supplied)
10 % are split apart and are sorted separately: this ensures that shorter
11 % filenames sort before longer ones (i.e. thus giving a dictionary sort).
12 %
13 %% Example:
14 % P = 'C:\SomeDir\SubDir';
15 % S = dir(fullfile(P,'*.txt'));
16 % C = natsortfiles({S.name});
17 % for k = 1:numel(C)
18 %     fullfile(P,C{k})
19 % end
20 %
21 %% Syntax:
22 % Y = natsortfiles(X)
23 % Y = natsortfiles(X,rgx)
24 % Y = natsortfiles(X,rgx,<options>)
25 % [Y,ndx,dbg] = natsortfiles(X,...)
26 %
27 % To sort all of the strings in a cell array use NATSORT (File Exchange 34464).
28 % To sort the rows of a cell array of strings use NATSORTROWS (File Exchange 47433).
29 %
30 %% File Dependency %%
31 % NATSORTFILES requires the function NATSORT (File Exchange 34464). The optional
32 % arguments <options> are passed directly to NATSORT. See NATSORT for case
33 % sensitivity, sort direction, numeric substring matching, and other options.
34 %
35 %% Explanation %%
36 %
37 % Using SORT on filenames will sort any of char(0:45), including the printing
38 % characters '!#$%&'()*+, -, before the file extension separator character '.'.
39 % Therefore this function splits the name and extension and sorts them separately.

```

```

40 %
41 % Similarly the file separator character within filepaths can cause longer
42 % directory names to sort before shorter ones, as char(0:46)<'/' and
43 % char(0:91)<'\'. Check this example to see why this matters:
44 %
45 % >>> X = {'A1\B', 'A+/B', 'A\B', 'A=/B', 'A/B'};
46 % >>> sort(X)
47 % ans = 'A+/B' 'A/B' 'A1\B' 'A=/B' 'A\B'
48 % >>> natsortfiles(X)
49 % ans = 'A\B' 'A/B' 'A1\B' 'A+/B' 'A=/B'
50 %
51 % NATSORTFILES splits filepaths at each file separator character and sorts
52 % every level of the directory hierarchy separately, ensuring that shorter
53 % directory names sort before longer, regardless of the characters in the names.
54 %
55 %% Examples %%
56 %
57 % >>> A = {'a2.txt', 'a10.txt', 'a1.txt'};
58 % >>> sort(A)
59 % ans = 'a1.txt' 'a10.txt' 'a2.txt'
60 % >>> natsortfiles(A)
61 % ans = 'a1.txt' 'a2.txt' 'a10.txt'
62 %
63 % >>> B = {'test.new.m'; 'test-old.m'; 'test.m'};
64 % >>> sort(B) % Note '-' sorts before '.':
65 % ans =
66 %   'test-old.m'
67 %   'test.m'
68 %   'test_new.m'
69 % >>> natsortfiles(B) % Shorter names before longer (dictionary sort):
70 % ans =
71 %   'test.m'
72 %   'test-old.m'
73 %   'test_new.m'
74 %
75 % >>> C = {'test2.m'; 'test10-old.m'; 'test.m'; 'test10.m'; 'test1.m'};
76 % >>> sort(C) % Wrong numeric order:
77 % ans =
78 %   'test.m'
79 %   'test1.m'
80 %   'test10-old.m'
81 %   'test10.m'
82 %   'test2.m'
83 % >>> natsortfiles(C) % Shorter names before longer:
84 % ans =
85 %   'test.m'
86 %   'test1.m'
87 %   'test2.m'
88 %   'test10.m'
89 %   'test10-old.m'
90 %
91 %%% Directory Names:
92 % >>> D = {'A2-old\test.m'; 'A10\test.m'; 'A2\test.m'; 'Alarchive.zip'; 'A1\test.m'};
93 % >>> sort(D) % Wrong numeric order, and '-' sorts before '\':
94 % ans =
95 %   'A10\test.m'
96 %   'A1\test.m'
97 %   'Alarchive.zip'
98 %   'A2-old\test.m'
99 %   'A2\test.m'
100 % >>> natsortfiles(D) % Shorter names before longer (dictionary sort):
101 % ans =
102 %   'Alarchive.zip'
103 %   'A1\test.m'
104 %   'A2\test.m'
105 %   'A2-old\test.m'
106 %   'A10\test.m'
107 %
108 %% Input and Output Arguments %%
109 %
110 %%% Inputs (*=default):
111 % X    = CellArrayOfCharRowVectors, with filenames or filepaths to be sorted.
112 % rgx = Regular expression to match number substrings, '\d+*' 
```

```

113 %      = [] uses the default regular expression, which matches integers.
114 % <options> can be supplied in any order and are passed directly to NATSORT.
115 %
116 %% Outputs:
117 % Y   = CellArrayOfCharRowVectors, filenames of <X> sorted into natural-order.
118 % ndx = NumericMatrix, same size as <X>. Indices such that Y = X(ndx).
119 % dbg = CellVectorOfCellArrays, size 1xMAX(2+NumberOfDirectoryLevels).
120 %       Each cell contains the debug cell array for directory names, filenames,
121 %       and file extensions. Helps debug the regular expression. See NATSORT.
122 %
123 % See also SORT NATSORT NATSORTROWS DIR FILEPARTS FULLFILE NEXTNAME CELLSTR REGEXP ...
124 %      IREGEXP SSCANF
125 %
126 %% Input Wrangling %%
127 %
128 assert(iscell(X), 'First input <X> must be a cell array.');
129 tmp = cellfun('isclass', X, 'char') & cellfun('size', X, 1) < 2 & cellfun('ndims', X) < 3;
130 assert(all(tmp(:)), 'First input <X> must be a cell array of strings (1xN character).')
131 %
132 if nargin > 1
133     varargin = {[rgx}, varargin];
134 end
135 %
136 %% Split and Sort File Names/Paths %%
137 %
138 % Split full filepaths into file [path, name, extension]:
139 [pth, fnm, ext] = cellfun(@fileparts, X(:, ), 'UniformOutput', false);
140 % Split path into {dir, subdir, subsubdir, ...}:
141 pth = regexp(pth, '[^/\\]+', 'match'); % either / or \ as filesep.
142 len = cellfun('length', pth);
143 num = max(len);
144 vec = cell(numel(len), 1);
145 %
146 % Natural-order sort of the file extensions and filenames:
147 if isempty(num)
148     ndx = [];
149     ids = [];
150     dbg = {};
151 elseif nargout < 3 % faster:
152     [~, ndx] = natsort(ext, varargin{:});
153     [~, ids] = natsort(fnm(ndx), varargin{:});
154 else % for debugging:
155     [~, ndx, dbg{num+2}] = natsort(ext, varargin{:});
156     [~, ids, tmp] = natsort(fnm(ndx), varargin{:});
157     [~, idd] = sort(ndx);
158     dbg{num+1} = tmp(idd, :);
159 end
160 ndx = ndx(ids);
161 %
162 % Natural-order sort of the directory names:
163 for k = num:-1:1
164     idx = len >= k;
165     vec(:) = {''};
166     vec(idx) = cellfun(@(c)c(k), pth(idx));
167     if nargout < 3 % faster:
168         [~, ids] = natsort(vec(ndx), varargin{:});
169     else % for debugging:
170         [~, ids, tmp] = natsort(vec(ndx), varargin{:});
171         [~, idd] = sort(ndx);
172         dbg{k} = tmp(idd, :);
173     end
174     ndx = ndx(ids);
175 end
176 %
177 % Return the sorted array and indices:
178 ndx = reshape(ndx, size(X));
179 X = X(ndx);
180 end
181 %%%%%%%%%%%%%%%natsortfiles

```

## E.5 natsortfiles-doc.m

```
1 %% NATSORTFILES Examples
2 % The function <https://www.mathworks.com/matlabcentral/fileexchange/47434>
3 % |NATSORTFILES| sorts a cell array of filenames or filepaths (1xN char),
4 % taking into account any number values within the strings. This is known
5 % as a natural order sort or an alphanumeric sort. Note that MATLAB's
6 % inbuilt <https://www.mathworks.com/help/matlab/ref/sort.html> |SORT| function
7 % sorts the character codes only (as does |SORT| in most programming languages).
8 %
9 % |NATSORTFILES| is not a naive natural-order sort, but splits and sorts
10 % filenames and file extensions separately, which means that |NATSORTFILES|
11 % sorts shorter filenames before longer ones: this is known as a dictionary
12 % sort. For the same reason filepaths are split at every path-separator
13 % character (either '|\'| or '|/|'), and each directory level is sorted
14 % separately. See the "Explanation" sections below for more details.
15 %
16 % For sorting the rows of a cell array of strings use
17 % <https://www.mathworks.com/matlabcentral/fileexchange/47433> |NATSORTROWS|.
18 %
19 % For sorting a cell array of strings use
20 % <https://www.mathworks.com/matlabcentral/fileexchange/34464> |NATSORT|.
21 %
22 %% Basic Usage
23 % By default |NATSORTFILES| interprets consecutive digits as being part of
24 % a single integer, any remaining substring/s are treated as characters:
25 A = {'a2.txt', 'a10.txt', 'a1.txt'};
26 sort(A)
27 natsortfiles(A)
28 %% Output 2: Sort Index
29 % The second output argument is a numeric array of the sort indices |ndx|,
30 % such that |Y = X(ndx)| where |Y = natsortfiles(X)|:
31 [~,ndx] = natsortfiles(A)
32 %% Output 3: Debugging Array
33 % The third output is a cell vector of cell arrays, where the cell arrays
34 % correspond to the directory hierarchy, filenames, and file extensions.
35 % The cell arrays contain all matched numbers (after converting to
36 % numeric using the specified |SSCANF| format) and all split character
37 % substrings. These cell arrays are useful for confirming that the
38 % numbers are being correctly identified by the regular expression.
39 % Note that the even columns contain any matched number values,
40 % while the odd columns contain any split substrings:
41 [~,~,dbg] = natsortfiles(A);
42 dbg{::}
43 %% Input 2: Regular Expression
44 % The optional second input argument is a regular expression which
45 % specifies the number matching:
46 B = {'1.3.txt','1.10.txt','1.2.txt'};
47 natsortfiles(B) % by default match integers
48 natsortfiles(B, '\d+\.\?\d*') % match decimal fractions
49 %% Inputs 3+: Optional Arguments
50 % Further inputs are passed directly to |NATSORT|, thus giving control over
51 % the case sensitivity, sort direction, and other options. See the
52 % |NATSORT| help for explanations and examples of the supported options:
53 C = {'B.txt','10.txt','1.txt','A.txt','2.txt'};
54 natsortfiles(C, [], 'descend')
55 natsortfiles(C, [], 'char<num')
56 %% Example with DIR and a Cell Array
57 % One common situation is to use <https://www.mathworks.com/help/matlab/ref/dir.html>
58 % |DIR| to identify files in a folder, sort them into the correct order,
59 % and then loop over them: below is an example of how to do this.
60 % Remember to <https://www.mathworks.com/help/matlab/matlab\_prog/preallocating-arrays.html>
61 % preallocate> all output arrays before the loop!
62 P = 'natsortfiles.test'; % directory path
63 S = dir(fullfile(P,'*.txt')); % get list of files in directory
64 C = natsortfiles({S.name}); % sort file names into order
65 for k = 1:numel(C)
66     disp(fullfile(P,C{k}))
67 end
68 %% Example with DIR and a Structure
69 % Users who need to access the |DIR| structure fields can use |NATSORTFILE|'s
70 % second output to sort |DIR|'s output structure into the correct order:
```

```

71 P = 'natsortfiles.test'; % directory path
72 S = dir(fullfile(P,'*.txt')); % get list of files in directory
73 [~,ndx] = natsortfiles({S.name}); % indices of correct order
74 S = S(ndx); % sort structure using indices
75 for k = 1:numel(S)
76     fprintf('%-13s%s\n',S(k).name,S(k).date)
77 end
78 %% Explanation: Dictionary Sort
79 % Filenames and file extensions are separated by the extension separator:
80 % the period character |'.'|. Using a normal |SORT| the period gets sorted
81 % _after_ all of the characters from 0 to 45 (including |!"#$%&()*+, -|,
82 % the space character, and all of the control characters, e.g. newlines,
83 % tabs, etc). This means that a naive natural-order sort will
84 % sort some short filenames after longer filenames. In order to provide
85 % the correct dictionary sort, with shorter filenames first, |NATSORTFILES|
86 % splits filenames from file extensions and sorts them separately:
87 D = {'test_ccc.m'; 'test-aaa.m'; 'test.m'; 'test.bbb.m'};
88 sort(D) % '-' sorts before '.'
89 natsort(D) % '-' sorts before '.'
90 natsortfiles(D) % correct dictionary sort
91 %% Explanation: Filenames
92 % |NATSORTFILES| combines a dictionary sort with a natural-order sort, so
93 % that the number values within the filenames are taken into consideration:
94 E = {'test2.m'; 'test10-old.m'; 'test.m'; 'test10.m'; 'test1.m'};
95 sort(E) % Wrong numeric order.
96 natsort(E) % Correct numeric order, but longer before shorter.
97 natsortfiles(E) % Correct numeric order and dictionary sort.
98 %% Explanation: Filepaths
99 % For the same reason, filepaths are split at each file path separator
100 % character (both |'/'| and |'\\'| are treated as file path separators)
101 % and every level of the directory structure are sorted separately. This
102 % ensures that the directory names are sorted with a dictionary sort and
103 % that any numbers are taken into consideration:
104 F = {'A2-old\test.m'; 'A10\test.m'; 'A2\test.m'; 'AXarchive.zip'; 'A1\test.m'};
105 sort(F) % Wrong numeric order, and '-' sorts before '\':
106 natsort(F) % correct numeric order, but longer before shorter.
107 natsortfiles(F) % correct numeric order and dictionary sort.
108 %% Regular Expression: Decimal Numbers, E-notation, +/- Sign
109 % |NATSORTFILES| number matching can be customized to detect numbers with
110 % a decimal fraction, E-notation, a +/- sign, binary/hexadecimal, or other
111 % required features. The number matching is specified using an
112 % appropriate regular expression: see |NATSORT| for details and examples.
113 G = {'1.23V.csv', '-1V.csv', '+1.csv', '+NaNV.csv', '1.200V.csv'};
114 natsortfiles(G) % by default match integers
115 natsortfiles(G, '[+-]?([NaN|Inf|\d+\.\.?]\d*)')
116 %% Bonus: Interactive Regular Expression Tool
117 % Regular expressions are powerful and compact, but getting them right is
118 % not always easy. One assistance is to download my interactive tool
119 % <https://www.mathworks.com/matlabcentral/fileexchange/48930 |IREGEXP|>,
120 % which lets you quickly try different regular expressions and see all of
121 % <https://www.mathworks.com/help/matlab/ref/regexp.html |REGEXP|>'s
122 % outputs displayed and updated as you type.

```

## E.6 natsortfiles-test.m

```

1 function natsortfiles_test()
2 % Test function for NATSORTFILES.
3 %
4 % (c) 2014–2019 Stephen Cobeldick
5 %
6 % See also NATSORTFILES TESTFUN NATSORT_TEST NATSORTROWS_TEST
7 fun = @natsortfiles;
8 chk = testfun(fun);
9 %
10 %% Examples HTML %%
11 %
12 A = {'a2.txt', 'a10.txt', 'a1.txt'};
13 chk(A, fun, {'a1.txt', 'a2.txt', 'a10.txt'})
14 chk(A, fun, [], [3,1,2])

```

```

15 chk(A, fun, [], [], {{'a',2;'a',10;'a',1},{'txt';'txt';'txt'}})
16 %
17 B = {'1.3.txt','1.10.txt','1.2.txt'};
18 chk(B, fun, {'1.2.txt', '1.3.txt', '1.10.txt'}, [3,1,2])
19 chk(B, '\d+\.\?\d*', fun, {'1.10.txt', '1.2.txt', '1.3.txt'}, [2,3,1])
20 %
21 C = {'B.txt','10.txt','1.txt','A.txt','2.txt'};
22 chk(C, [], 'descend', fun, {'B.txt', 'A.txt', '10.txt', '2.txt', '1.txt'}, [])
23 chk(C, [], 'char<num', fun, {'A.txt', 'B.txt', '1.txt', '2.txt', '10.txt'})
24 %
25 P = 'natsortfiles.test';
26 S = dir(fullfile(P,'*.txt'));
27 chk({S.name}, fun, {'A_1.txt','A_1-new.txt','A_1-new.txt','A_2.txt',...
28 'A_3.txt','A_10.txt','A_100.txt','A_200.txt'})
29 %
30 chk({'test_ccc.m'; 'test-aaa.m'; 'test.m'; 'test.bbb.m'}, fun,... D
31     {'test.m'; 'test-aaa.m'; 'test.bbb.m'; 'test_ccc.m'}, [3;2;4;1])
32 chk({'test2.m'; 'test10-old.m'; 'test.m'; 'test10.m'; 'test1.m'}, fun,... E
33     {'test.m'; 'test1.m'; 'test2.m'; 'test10.m'; 'test10-old.m'}, [3;5;1;4;2])
34 chk({'A2-old\test.m'; 'A10\test.m'; 'A2\test.m'; 'AXarchive.zip'; 'A1\test.m'}, fun,... F
35     {'AXarchive.zip'; 'A1\test.m'; 'A2\test.m'; 'A2-old\test.m'; 'A10\test.m'}, [4;5;3;1;2])
36 %
37 G = {'1.23V.csv','-1V.csv','+1.csv','+NaNV.csv','1.200V.csv'};
38 chk(G, fun, ...
39     {'1.23V.csv', '1.200V.csv', '+1.csv', '+NaNV.csv', '-1V.csv'}, [1,5,3,4,2])
40 chk(G, '[-+]?(NaN|Inf|\d+\.\?\d*)', fun, ...
41     {'-1V.csv', '+1.csv', '1.200V.csv', '1.23V.csv', '+NaNV.csv'}, [2,3,5,1,4])
42 %
43 %% Examples Mfile Help
44 %
45 chk({'A1\B', 'A+/B', 'A\B', 'A=/B', 'A/B'}, fun,... X
46     {'A\B', 'A/B', 'A1\B', 'A+/B', 'A=/B'}, [3,5,1,2,4])
47 chk({'a2.txt', 'a10.txt', 'a1.txt'}, fun,... A
48     {'a1.txt', 'a2.txt', 'a10.txt'}, [3,1,2])
49 chk({'test_new.m'; 'test_old.m'; 'test.m'}, fun,... B
50     {'test.m'; 'test-old.m'; 'test_new.m'}, [3;2;1])
51 chk({'test2.m'; 'test10-old.m'; 'test.m'; 'test10.m'; 'test1.m'}, fun,... C
52     {'test.m'; 'test1.m'; 'test2.m'; 'test10.m'; 'test10-old.m'}, [3;5;1;4;2])
53 chk({'A2-old\test.m'; 'A10\test.m'; 'A2\test.m'; 'A1archive.zip'; 'A1\test.m'}, fun,... D
54     {'A1archive.zip'; 'A1\test.m'; 'A2\test.m'; 'A2-old\test.m'; 'A10\test.m'}, [4;5;3;1;2])
55 %
56 %% Orientation
57 %
58 chk({}, fun, {}, [], {}) % empty!
59 chk(cell(0,2,3), fun, cell(0,2,3), nan(0,2,3)) % empty!
60 chk({'1';'10';'20';'2'}, fun, ...
61     {'1';'2';'10';'20'}, [1;4;2;3])
62 chk({'2','10','8';'#','a',' '}, fun, ...
63     {'2','10','#';'8',' ','a'}, [1,3,2;5,6,4])
64 %
65 %% Stability
66 %
67 chk({'';'';''}, fun, {'';'';''}, [1;2;3], {{'';'';''},{'';'';''}})
68 %
69 U = {'2';'3';'2';'1';'2'};
70 chk(U, [], 'ascend', fun, ...
71     {'1';'2';'2';'2';'3'}, [4;1;3;5;2])
72 chk(U, [], 'descend', fun, ...
73     {'3';'2';'2';'2';'1'}, [2;1;3;5;4])
74 %
75 V = {'x';'z';'y';''; 'z'; ''; 'x'; 'y'};
76 chk(V, [], 'ascend', fun, ...
77     {''; ''; 'x'; 'x'; 'y'; 'y'; 'z'; 'z'}, [4;6;1;7;3;8;2;5])
78 chk(V, [], 'descend', fun, ...
79     {'z'; 'z'; 'y'; 'y'; 'x'; 'x'; ''}, [2;5;3;8;1;7;4;6])
80 %
81 W = {'2x';'2z';'2y';'2';'2z';'2';'2x';'2y'};
82 chk(W, [], 'ascend', fun, ...
83     {'2';'2';'2x';'2x';'2y';'2y';'2z';'2z'}, [4;6;1;7;3;8;2;5])
84 chk(W, [], 'descend', fun, ...
85     {'2z';'2z';'2y';'2y';'2x';'2x';'2';'2'}, [2;5;3;8;1;7;4;6])
86 %
87 %% Extension and Separator Characters

```

```

88 %
89 chk({'A.x3','A.x20','A.x','A.x1'}, fun, ...
90     {'A.x','A.x1','A.x3','A.x20'}, [3,4,1,2])
91 chk({'A=.z','A.z','A..z','A-.z','A#.z'}, fun, ...
92     {'A.z','A#.z','A-.z','A..z','A=.z'}, [2,5,4,3,1])
93 chk({'A-/B','A/B','A#/B','A=/B','A-/B'}, fun, ...
94     {'A/B','A#/B','A-/B','A=/B','A¬/B'}, [2,3,5,4,1])
95 %
96 %% Other Implementation Examples
97 %
98 % <https://blog.codinghorror.com/sorting-for-humans-natural-sort-order/>
99 chk({'z1.txt','z10.txt','z100.txt','z101.txt','z102.txt',...
100 'z11.txt','z12.txt','z13.txt','z14.txt','z15.txt','z16.txt','z17.txt',...
101 'z18.txt','z19.txt','z2.txt','z20.txt','z3.txt','z4.txt',...
102 ',' 'z5.txt','z6.txt','z7.txt','z8.txt','z9.txt'}, fun, ...
103     {'z1.txt','z2.txt','z3.txt','z4.txt','z5.txt',...
104     'z6.txt','z7.txt','z8.txt','z9.txt','z10.txt','z11.txt',...
105     'z12.txt','z13.txt','z14.txt','z15.txt','z16.txt','z17.txt',...
106     'z18.txt','z19.txt','z20.txt','z100.txt','z101.txt','z102.txt'})
107 %
108 % <https://blog.jooq.org/2018/02/23/how-to-order-file-names-semantically-in-java/>
109 chk({'C:\temp\version-1.sql','C:\temp\version-10.1.sql','C:\temp\version-10.sql',...
110 'C:\temp\version-2.sql','C:\temp\version-21.sql'}, fun, ...
111     {'C:\temp\version-1.sql','C:\temp\version-2.sql','C:\temp\version-10.sql',...
112     'C:\temp\version-10.1.sql','C:\temp\version-21.sql'})
113 %
114 % <http://www.davekoelle.com/alphanum.html>
115 chk({'z1.doc','z10.doc','z100.doc','z101.doc',...
116 'z102.doc','z11.doc','z12.doc','z13.doc','z14.doc',...
117 'z15.doc','z16.doc','z17.doc','z18.doc','z19.doc',...
118 'z2.doc','z20.doc','z3.doc','z4.doc','z5.doc','z6.doc',...
119 'z7.doc','z8.doc','z9.doc'}, fun, ...
120     {'z1.doc','z2.doc','z3.doc','z4.doc','z5.doc','z6.doc',...
121     'z7.doc','z8.doc','z9.doc','z10.doc','z11.doc','z12.doc',...
122     'z13.doc','z14.doc','z15.doc','z16.doc','z17.doc','z18.doc',...
123     'z19.doc','z20.doc','z100.doc','z101.doc','z102.doc'})
124 %
125 % <https://sourcefrog.net/projects/natsort/>
126 chk({'rfc1.txt';'rfc2086.txt';'rfc822.txt'}, fun, ...
127     {'rfc1.txt';'rfc822.txt';'rfc2086.txt'})
128 %
129 % <https://www.strchr.com/natural\_sorting>
130 chk({'picture 1.png','picture 10.png','picture 100.png','picture 11.png','picture ...
131     2.png','picture 21.png','picture 210.png','picture 29.png','picture ...
132     3.png','picture 3b.png','picture A.png'}, fun, ...
133     {'picture 1.png','picture 2.png','picture 29.png','picture 210.png','picture ...
134     3.png','picture 3b.png','picture 10.png','picture 11.png','picture ...
135     21.png','picture 100.png','picture A.png'})
136 %
137 chk() % display summary
138 end
139 %%%%%%%%%%%%%%%%

```

## E.7 screencapture.m

Följande program är skrivet av Yair Altman [25].

```

1 function imageData = screencapture(varargin)
2 % screencapture - get a screen-capture of a figure frame, component handle, or screen ...
3 % area rectangle
4 % ScreenCapture gets a screen-capture of any Matlab GUI handle (including desktop,
5 % figure, axes, image or uicontrol), or a specified area rectangle located relative to
6 % the specified handle. Screen area capture is possible by specifying the root (desktop)
7 % handle (=0). The output can be either to an image file or to a Matlab matrix (useful
8 % for displaying via imshow() or for further processing) or to the system clipboard.
9 % This utility also enables adding a toolbar button for easy interactive screen-capture.
10 %
11 % Syntax:
```

```

12 % imageData = screencapture(handle, position, target, 'PropertyName', PropertyValue, ...)
13 %
14 % Input Parameters:
15 % handle - optional handle to be used for screen-capture origin.
16 % If empty/unspecified then current figure (gcf) will be used.
17 % position - optional position array in pixels: [x,y,width,height].
18 % If empty/unspecified then the handle's position vector will be used.
19 % If both handle and position are empty/unspecified then the position
20 % will be retrieved via interactive mouse-selection.
21 % If handle is an image, then position is in data (not pixel) units, so the
22 % captured region remains the same after figure/axes resize (like imcrop)
23 % target - optional filename for storing the screen-capture, or the
24 % 'clipboard'/'printer' strings.
25 % If empty/unspecified then no output to file will be done.
26 % The file format will be determined from the extension (JPG/PNG/...).
27 % Supported formats are those supported by the imwrite function.
28 % 'PropertyName', PropertyValue -
29 % optional list of property pairs (e.g., ...
30 % 'target','myImage.png','pos',[10,20,30,40],'handle',gca)
31 % PropNames may be abbreviated and are case-insensitive.
32 % PropNames may also be given in whichever order.
33 % Supported PropNames are:
34 % - 'handle' (default: gcf handle)
35 % - 'position' (default: gcf position array)
36 % - 'target' (default: '')
37 % - 'toolbar' (figure handle; default: gcf)
38 % this adds a screen-capture button to the figure's toolbar
39 % If this parameter is specified, then no screen-capture
40 % will take place and the returned imageData will be [].
41 %
42 % Output parameters:
43 % imageData - image data in a format acceptable by the imshow function
44 % If neither target nor imageData were specified, the user will be
45 % asked to interactively specify the output file.
46 %
47 % Examples:
48 % imageData = screencapture; % interactively select screen-capture rectangle
49 % imageData = screencapture(hListbox); % capture image of a uicontrol
50 % imageData = screencapture(0, [20,30,40,50]); % capture a small desktop region
51 % imageData = screencapture(gcf,[20,30,40,50]); % capture a small figure region
52 % imageData = screencapture(gca,[10,20,30,40]); % capture a small axes region
53 % imshow(imageData); % display the captured image in a matlab figure
54 % imwrite(imageData,'myImage.png'); % save the captured image to file
55 % img = imread('cameraman.tif');
56 % hImg = imshow(img);
57 % screencapture(hImg,[60,35,140,80]); % capture a region of an image
58 % screencapture(gcf,[],'myFigure.jpg'); % capture the entire figure into file
59 % screencapture(gcf,[],'clipboard'); % capture the entire figure into clipboard
60 % screencapture(gcf,[],'printer'); % print the entire figure
61 % screencapture('handle',gcf,'target','myFigure.jpg'); % same as previous, save to file
62 % screencapture('handle',gcf,'target','clipboard'); % same as previous, copy to ...
63 % clipboard
64 % screencapture('handle',gcf,'target','printer'); % same as previous, send to ...
65 % printer
66 % screencapture('toolbar',gcf); % adds a screen-capture button to gcf's toolbar
67 % screencapture('toolbar',[],'target','sc.bmp'); % same with default output filename
68 %
69 % Technical description:
70 % http://UndocumentedMatlab.com/blog/screencapture-utility/
71 %
72 % Bugs and suggestions:
73 % Please send to Yair Altman (altny at gmail dot com)
74 %
75 % See also:
76 % imshow, imwrite, print
77 %
78 % Release history:
79 % 1.17 2016-05-16: Fix annoying warning about JavaFrame property becoming obsolete ...
80 % someday (yes, we know...)
81 % 1.16 2016-04-19: Fix for deployed application suggested by Dwight Bartholomew
82 % 1.10 2014-11-25: Added the 'print' target
83 % 1.9 2014-11-25: Fix for saving GIF files
84 % 1.8 2014-11-16: Fixes for R2014b

```

```

81 % 1.7 2014-04-28: Fixed bug when capturing interactive selection
82 % 1.6 2014-04-22: Only enable image formats when saving to an unspecified file via ...
83 % uiputfile
84 % 1.5 2013-04-18: Fixed bug in capture of non-square image; fixes for Win64
85 % 1.4 2013-01-27: Fixed capture of Desktop (root); enabled rbbox anywhere on ...
86 % desktop (not necesarily in a Matlab figure); enabled output to clipboard (based on ...
87 % Jiro Doke's imclipboard utility); edge-case fixes; added Java compatibility check
88 % 1.3 2012-07-23: Capture current object (uicontrol/axes/figure) if w=h=0 (e.g., by ...
89 % clicking a single point); extra input args sanity checks; fix for docked windows ...
90 % and image axes; include axes labels & ticks by default when capturing axes; use ...
91 % data-units position vector when capturing images; many edge-case fixes
92 % 1.2 2011-01-16: another performance boost (thanks to Jan Simon); some ...
93 % compatibility fixes for Matlab 6.5 (untested)
94 % 1.1 2009-06-03: Handle missing output format; performance boost (thanks to Urs); ...
95 % fix minor root-handle bug; added toolbar button option
96 % 1.0 2009-06-02: First version posted on <a ...
97 href="http://www.mathworks.com/matlabcentral/fileexchange/authors/27420">MathWorks ...
98 File Exchange</a>
99
100 % License to use and modify this code is granted freely to all interested, as long as ...
101 % the original author is
102 % referenced and attributed as such. The original author maintains the right to be ...
103 % solely associated with this work.
104
105 % Programmed and Copyright by Yair M. Altman: almtany(at)gmail.com
106 % $Revision: 1.17 $ $Date: 2016/05/16 17:59:36 $
107
108 % Ensure that java awt is enabled...
109 if ~usejava('awt')
110     error('YMA:screencapture:NeedAwt','ScreenCapture requires Java to run.');
111 end
112
113 % Ensure that our Java version supports the Robot class (requires JVM 1.3+)
114 try
115     robot = java.awt.Robot; %#ok<NASGU>
116 catch
117     uiwait(msgbox({['Your Matlab installation is so old that its Java engine (' ...
118         version('java') ...
119             ') does not have a java.awt.Robot class. '], ' ', ...
120             'Without this class, taking a screen-capture is impossible.', ' ...
121             ', ...
122             'So, either install JVM 1.3 or higher, or use a newer Matlab ...
123             release.'}, ...
124             'ScreenCapture', 'warn'));
125     if nargout, imageData = []; end
126     return;
127 end
128
129 % Process optional arguments
130 paramsStruct = processArgs(varargin{:});
131
132 % If toolbar button requested, add it and exit
133 if ~isempty(paramsStruct.toolbar)
134
135     % Add the toolbar button
136     addToolbarButton(paramsStruct);
137
138     % Return the figure to its pre-undocked state (when relevant)
139     redockFigureIfRelevant(paramsStruct);
140
141     % Exit immediately (do NOT take a screen-capture)
142     if nargout, imageData = []; end
143     return;
144 end
145
146 % Convert position from handle-relative to desktop Java-based pixels
147 [paramsStruct, msgStr] = convertPos(paramsStruct);
148
149 % Capture the requested screen rectangle using java.awt.Robot
150 imgData = getScreenCaptureImageData(paramsStruct.position);
151
152 % Return the figure to its pre-undocked state (when relevant)
153 redockFigureIfRelevant(paramsStruct);

```

```

139      % Save image data in file or clipboard, if specified
140      if isempty(paramsStruct.target)
141          if strcmpi(paramsStruct.target,'clipboard')
142              if isempty(imgData)
143                  imclipboard(imgData);
144              else
145                  msgbox('No image area selected - not copying image to ...
146                           clipboard','ScreenCapture','warn');
147              end
148          elseif strncmp(paramsStruct.target,'print',5)  % 'print' or 'printer'
149              if isempty(imgData)
150                  hNewFig = figure('visible','off');
151                  imshow(imgData);
152                  print(hNewFig);
153                  delete(hNewFig);
154              else
155                  msgbox('No image area selected - not printing ...
156                           screenshot','ScreenCapture','warn');
157              end
158          else % real filename
159              if isempty(imgData)
160                  imwrite(imgData,paramsStruct.target);
161              else
162                  msgbox(['No image area selected - not saving image file ' ...
163                         paramsStruct.target], 'ScreenCapture','warn');
164              end
165          end
166      end
167
168      % Return image raster data to user, if requested
169      if nargout
170          imageData = imgData;
171
172      % If neither output formats was specified (neither target nor output data)
173      elseif isempty(paramsStruct.target) & isempty(imgData)  %#ok ML6
174          % Ask the user to specify a file
175          %error('YMA:screencapture:noOutput','No output specified for ScreenCapture: ...
176          %       specify the output filename and/or output data');
177          %format = '.*';
178          formats = imformats;
179          for idx = 1 : numel(formats)
180              ext = sprintf('*.%s;',formats(idx).ext{:});
181              format(idx,1:2) = {ext(1:end-1), formats(idx).description}; %#ok<AGROW>
182          end
183          [filename,pathname] = uiputfile(format, 'Save screen capture as');
184          if ~isequal(filename,0) & ~isequal(pathname,0)  %#ok Matlab6 compatibility
185              try
186                  filename = fullfile(pathname,filename);
187                  imwrite(imgData,filename);
188                  catch % possibly a GIF file that requires indexed colors
189                      [imgData,map] = rgb2ind(imgData,256);
190                      imwrite(imgData,map,filename);
191                  end
192              end
193          end
194
195          % Display msgStr, if relevant
196          if ~isempty(msgStr)
197              uiwait(msgbox(msgStr,'ScreenCapture'));
198              drawnow; pause(0.05); % time for the msgbox to disappear
199          end
200
201          return; % debug breakpoint
202
203      %% Process optional arguments
204      function paramsStruct = processArgs(varargin)
205
206          % Get the properties in either direct or P-V format
207          [regParams, pvPairs] = parseparams(varargin);

```

```

208 % Now process the optional P-V params
209 try
210     % Initialize
211     paramName = [];
212     paramsStruct = {};
213     paramsStruct.handle = {};
214     paramsStruct.position = {};
215     paramsStruct.target = '';
216     paramsStruct.toolbar = {};
217     paramsStruct.wasDocked = 0;           % no false available in ML6
218     paramsStruct.wasInteractive = 0;    % no false available in ML6
219
220     % Parse the regular (non-named) params in reception order
221     if ~isempty(regParams) & (isempty(regParams{1}) | ishandle(regParams{1}(1))) ...
222         %#ok ML6
223         paramsStruct.handle = regParams{1};
224         regParams(1) = {};
225     end
226     if ~isempty(regParams) & isnumeric(regParams{1}) & (length(regParams{1}) == 4) ...
227         %#ok ML6
228         paramsStruct.position = regParams{1};
229         regParams(1) = {};
230     end
231     if ~isempty(regParams) & ischar(regParams{1})  %#ok ML6
232         paramsStruct.target = regParams{1};
233     end
234
235     % Parse the optional param PV pairs
236     supportedArgs = {'handle','position','target','toolbar'};
237     while ~isempty(pvPairs)
238
239         % Disregard empty propNames (may be due to users mis-interpreting the ...
240         % syntax help)
241         while ~isempty(pvPairs) & isempty(pvPairs{1})  %#ok ML6
242             pvPairs(1) = {};
243         end
244         if isempty(pvPairs)
245             break;
246         end
247
248         % Ensure basic format is valid
249         paramName = '';
250         if ~ischar(pvPairs{1})
251             error('YMA:screencapture:invalidProperty','Invalid property passed to ...
252                 ScreenCapture');
253         elseif length(pvPairs) == 1
254             if isempty(paramsStruct.target)
255                 paramsStruct.target = pvPairs{1};
256                 break;
257             else
258                 error('YMA:screencapture:noPropertyValue','No value specified for ...
259                     property \''_pvPairs{1} \'');
260             end
261         end
262
263         % Process parameter values
264         paramName = pvPairs{1};
265         if strcasecmp(paramName,'filename') % backward compatibility
266             paramName = 'target';
267         end
268         paramValue = pvPairs{2};
269         pvPairs(1:2) = {};
270         idx = find(strncmpi(paramName,supportedArgs,length(paramName)));
271         if ~isempty(idx)
272             %paramsStruct.(lower(supportedArgs{idx(1)})) = paramValue; % ...
273             % incompatible with ML6
274             paramsStruct = setfield(paramsStruct, lower(supportedArgs{idx(1)}), ...
275                 paramValue); %#ok ML6
276
277             % If 'toolbar' param specified, then it cannot be left empty - use gcf
278             if strncmpi(paramName,'toolbar',length(paramName)) & ...
279                 isempty(paramsStruct.toolbar)  %#ok ML6
280                 paramsStruct.toolbar = getCurrentFig;

```

```

273         end
274
275     elseif isempty(paramsStruct.target)
276         paramsStruct.target = paramName;
277         pvPairs = {paramValue, pvPairs{:}}; %#ok (more readable this way, ...
278             % although a bit less efficient...)
279
280     else
281         supportedArgsStr = sprintf('"%s",',supportedArgs{:});
282         error('YMA:screencapture:invalidProperty','%s \n%s', ...
283             'Invalid property passed to ScreenCapture', ...
284             ['Supported property names are: ' supportedArgsStr(1:end-1)]);
285         end
286     end % loop pvPairs
287
288     catch
289         if ~isempty(paramName), paramName = [' ''' paramName '''']; end
290         error('YMA:screencapture:invalidProperty','Error setting ScreenCapture property ...
291             %s:\n%s',paramName,lasterr); %#ok<LERR>
292     end
293 %end % processArgs
294
295 %% Convert position from handle-relative to desktop Java-based pixels
296 function [paramsStruct, msgStr] = convertPos(paramsStruct)
297     msgStr = '';
298     try
299         % Get the screen-size for later use
300         screenSize = get(0,'ScreenSize');
301
302         % Get the containing figure's handle
303         hParent = paramsStruct.handle;
304         if isempty(paramsStruct.handle)
305             paramsStruct.hFigure = getCurrentFig;
306             hParent = paramsStruct.hFigure;
307         else
308             paramsStruct.hFigure = ancestor(paramsStruct.handle,'figure');
309         end
310
311         % To get the accurate pixel position, the figure window must be undocked
312         try
313             if strcmpi(get(paramsStruct.hFigure,'WindowState'),'docked')
314                 set(paramsStruct.hFigure,'WindowState','normal');
315                 drawnow; pause(0.25);
316                 paramsStruct.wasDocked = 1; % no true available in ML6
317             end
318         catch
319             % never mind - ignore...
320         end
321
322         % The figure (if specified) must be in focus
323         if ~isempty(paramsStruct.hFigure) & ishandle(paramsStruct.hFigure) %#ok ML6
324             isFigureValid = 1; % no true available in ML6
325             figure(paramsStruct.hFigure);
326         else
327             isFigureValid = 0; % no false available in ML6
328         end
329
330         % Flush all graphic events to ensure correct rendering
331         drawnow; pause(0.01);
332
333         % No handle specified
334         wasPositionGiven = 1; % no true available in ML6
335         if isempty(paramsStruct.handle)
336
337             % Set default handle, if not supplied
338             paramsStruct.handle = paramsStruct.hFigure;
339
340             % If position was not specified, get it interactively using RBBOX
341             if isempty(paramsStruct.position)
342                 [paramsStruct.position, jFrameUsed, msgStr] = ...
343                     getInteractivePosition(paramsStruct.hFigure); %#ok<ASGLU> ...
344                     jFrameUsed is unused
345                 paramsStruct.wasInteractive = 1; % no true available in ML6

```

```

342         wasPositionGiven = 0; % no false available in ML6
343     end
344
345 elseif ~ishandle(paramsStruct.handle)
346     % Handle was supplied - ensure it is a valid handle
347     error('YMA:screencapture:invalidHandle','Invalid handle passed to ...
348           ScreenCapture');
349
350 elseif isempty(paramsStruct.position)
351     % Handle was supplied but position was not, so use the handle's position
352     paramsStruct.position = getPixelPos(paramsStruct.handle);
353     paramsStruct.position(1:2) = 0;
354     wasPositionGiven = 0; % no false available in ML6
355
356 elseif ~isnumeric(paramsStruct.position) | (length(paramsStruct.position) ≠ 4) ...
357     %#ok ML6
358     % Both handle & position were supplied - ensure a valid pixel position vector
359     error('YMA:screencapture:invalidPosition','Invalid position vector passed ...
360           to ScreenCapture: \nMust be a [x,y,w,h] numeric pixel array');
361 end
362
363 % Capture current object (uicontrol/axes/figure) if w=h=0 (single-click in ...
364     interactive mode)
365 if paramsStruct.position(3)≤0 | paramsStruct.position(4)≤0 %#ok ML6
366     %TODO - find a way to single-click another Matlab figure (the following ...
367     does not work)
368     %paramsStruct.position = getPixelPos(ancestor(hittest,'figure'));
369     paramsStruct.position = getPixelPos(paramsStruct.handle);
370     paramsStruct.position(1:2) = 0;
371     paramsStruct.wasInteractive = 0; % no false available in ML6
372     wasPositionGiven = 0; % no false available in ML6
373 end
374
375 % First get the parent handle's desktop-based Matlab pixel position
376 parentPos = [0,0,0,0];
377 dX = 0;
378 dY = 0;
379 dW = 0;
380 dH = 0;
381 if ~isFigure(hParent)
382     % Get the requested component's pixel position
383     parentPos = getPixelPos(hParent, 1); % no true available in ML6
384
385     % Axes position inaccuracy estimation
386     ΔX = 3;
387     ΔY = -1;
388
389     % Fix for images
390     if isImage(hParent) % | (isAxes(hParent) & ...
391         strcmpi(get(hParent,'YDir'),'reverse')) %#ok ML6
392
393         % Compensate for resized image axes
394         hAxes = get(hParent,'Parent');
395         if all(get(hAxes,'DataAspectRatio')==1) % sanity check: this is the ...
396             normal behavior
397             % Note 18/4/2013: the following fails for non-square images
398             %actualImgSize = min(parentPos(3:4));
399             %dX = (parentPos(3) - actualImgSize) / 2;
400             %dY = (parentPos(4) - actualImgSize) / 2;
401             %parentPos(3:4) = actualImgSize;
402
403             % The following should work for all types of images
404             actualImgSize = size(get(hParent,'CData'));
405             dX = (parentPos(3) - min(parentPos(3),actualImgSize(2))) / 2;
406             dY = (parentPos(4) - min(parentPos(4),actualImgSize(1))) / 2;
407             parentPos(3:4) = actualImgSize([2,1]);
408             %parentPos(3) = max(parentPos(3),actualImgSize(2));
409             %parentPos(4) = max(parentPos(4),actualImgSize(1));
410         end
411
412         % Fix user-specified img positions (but not auto-inferred ones)
413         if wasPositionGiven
414
415

```

```

408     % In images, use data units rather than pixel units
409     % Reverse the YDir
410     ymax = max(get(hParent, 'YData'));
411     paramsStruct.position(2) = ymax - paramsStruct.position(2) - ...
412         paramsStruct.position(4);
413
414     % Note: it would be best to use hgconvertunits, but:
415     % ^^^ (1) it fails on Matlab 6, and (2) it doesn't accept Data units
416     %paramsStruct.position = hgconvertunits(hFig, ...
417     %    paramsStruct.position, 'Data', 'pixel', hParent); % fails!
418     xLims = get(hParent, 'XData');
419     yLims = get(hParent, 'YData');
420     xPixelsPerData = parentPos(3) / (diff(xLims) + 1);
421     yPixelsPerData = parentPos(4) / (diff(yLims) + 1);
422     paramsStruct.position(1) = ...
423         round((paramsStruct.position(1)-xLims(1)) * xPixelsPerData);
424     paramsStruct.position(2) = ...
425         round((paramsStruct.position(2)-yLims(1)) * yPixelsPerData + 2*dY);
426     paramsStruct.position(3) = round( paramsStruct.position(3) * ...
427         xPixelsPerData);
428     paramsStruct.position(4) = round( paramsStruct.position(4) * ...
429         yPixelsPerData);
430
431     % Axes position inaccuracy estimation
432     if strcmpi(computer('arch'), 'win64')
433         ΔX = 7;
434         ΔY = -7;
435     else
436         ΔX = 3;
437         ΔY = -3;
438     end
439
440     else % axes/image position was auto-inferred (entire image)
441         % Axes position inaccuracy estimation
442         if strcmpi(computer('arch'), 'win64')
443             ΔX = 6;
444             ΔY = -6;
445         else
446             ΔX = 2;
447             ΔY = -2;
448         end
449         dW = -2*dX;
450         dH = -2*dY;
451     end
452 end
453
454 %hFig = ancestor(hParent, 'figure');
455 hParent = paramsStruct.hFigure;
456
457 elseif paramsStruct.wasInteractive % interactive figure rectangle
458
459     % Compensate for 1px rbbox inaccuracies
460     ΔX = 2;
461     ΔY = -2;
462
463 else % non-interactive figure
464
465     % Compensate 4px figure boundaries = difference between OuterPosition and ...
466     % Position
467     ΔX = -1;
468     ΔY = 1;
469 end
470 %disp(paramsStruct.position) % for debugging
471
472 % Now get the pixel position relative to the monitor
473 figurePos = getPixelPos(hParent);
474 desktopPos = figurePos + parentPos;
475
476 % Now convert to Java-based pixels based on screen size
477 % Note: multiple monitors are automatically handled correctly, since all
478 % ^^^ Java positions are relative to the main monitor's top-left corner
479 javaX = desktopPos(1) + paramsStruct.position(1) + ΔX + dX;
480 javaY = screenSize(4) - desktopPos(2) - paramsStruct.position(2) - ...

```

```

        paramsStruct.position(4) + dY + dY;
474    width = paramsStruct.position(3) + dW;
475    height = paramsStruct.position(4) + dH;
476    paramsStruct.position = round([javaX, javaY, width, height]);
477    %paramsStruct.position
478
479    % Ensure the figure is at the front so it can be screen-captured
480    if isFigureValid
481        figure(hParent);
482        drawnow;
483        pause(0.02);
484    end
485    catch
486        % Maybe root/desktop handle (root does not have a 'Position' prop so ...
487        % getPixelPos croaks
488        if isequal(double(hParent),0) % =root/desktop handle; handles case of hParent={}
489            javaX = paramsStruct.position(1) - 1;
490            javaY = screenSize(4) - paramsStruct.position(2) - paramsStruct.position(4) ...
491                - 1;
492            paramsStruct.position = [javaX, javaY, paramsStruct.position(3:4)];
493        end
494    end
495    %end % convertPos
496
497 %% Interactively get the requested capture rectangle
498 function [positionRect, jFrameUsed, msgStr] = getInteractivePosition(hFig)
499     msgStr = '';
500     try
501         % First try the invisible-figure approach, in order to
502         % enable rbbox outside any existing figure boundaries
503         f = figure('units','pixel','pos',[-100,-100,10,10],'HitTest','off');
504         drawnow; pause(0.01);
505         oldWarn = warning('off','MATLAB:HandleGraphics:ObsoleteProperty:JavaFrame');
506         jf = get(handle(f),'JavaFrame');
507         warning(oldWarn);
508         try
509             jWindow = jf.fFigureClient.getWindow;
510         catch
511             try
512                 jWindow = jf.fHG1Client.getWindow;
513             catch
514                 jWindow = jf.getFigurePanelContainer.getParent.getTopLevelAncestor;
515             end
516             com.sun.awt.AWTUtilities.setWindowOpacity(jWindow,0.05); %nearly transparent ...
517             % (not fully so that mouse clicks are captured)
518             jWindow.setMaximized(1); % no true available in ML6
519             jFrameUsed = 1; % no true available in ML6
520             msg = {'Mouse-click and drag a bounding rectangle for screen-capture ' ...
521                   ... '%or single-click any Matlab figure to capture the entire figure.' ...
522                   '}';
523         catch
524             % Something failed, so revert to a simple rbbox on a visible figure
525             try delete(f); drawnow; catch, end %Cleanup...
526             jFrameUsed = 0; % no false available in ML6
527             msg = {'Mouse-click within any Matlab figure and then', ...
528                   'drag a bounding rectangle for screen-capture,', ...
529                   'or single-click to capture the entire figure'};
530         end
531         uiwait(msgbox(msg,'ScreenCapture'));
532
533         k = waitforbuttonpress; %#ok k is unused
534         %hFig = getCurrentFig;
535         %p1 = get(hFig,'CurrentPoint');
536         positionRect = rbbox;
537         %p2 = get(hFig,'CurrentPoint');
538
539         if jFrameUsed
540             jFrameOrigin = getPixelPos(f);
541             delete(f); drawnow;
542             try
543                 figOrigin = getPixelPos(hFig);
544             catch % empty/invalid hFig handle

```

```

543         figOrigin = [0,0,0,0];
544     end
545 else
546     if isempty(hFig)
547         jFrameOrigin = getPixelPos(gcf);
548     else
549         jFrameOrigin = [0,0,0,0];
550     end
551     figOrigin = [0,0,0,0];
552 end
553 positionRect(1:2) = positionRect(1:2) + jFrameOrigin(1:2) - figOrigin(1:2);
554
555 if prod(positionRect(3:4)) > 0
556     msgStr = sprintf('%dx%d area captured',positionRect(3),positionRect(4));
557 end
558 %end % getInteractivePosition
559
560 %% Get current figure (even if its handle is hidden)
561 function hFig = getCurrentFig
562     oldState = get(0,'showHiddenHandles');
563     set(0,'showHiddenHandles','on');
564     hFig = get(0,'CurrentFigure');
565     set(0,'showHiddenHandles',oldState);
566 %end % getCurrentFig
567
568 %% Get ancestor figure - used for old Matlab versions that don't have a built-in ancestor()
569 function hObj = ancestor(hObj,type)
570     if ~isempty(hObj) & ishandle(hObj) %#ok for Matlab 6 compatibility
571         try
572             hObj = get(hObj,'Ancestor');
573         catch
574             % never mind...
575         end
576         try
577             %if ~isa(handle(hObj),type) % this is best but always returns 0 in Matlab 6!
578             %if ~isprop(hObj,'type') | ~strcmpi(get(hObj,'type'),type) % no isprop() ...
579             %    in ML6!
580             try
581                 objType = get(hObj,'type');
582             catch
583                 objType = '';
584             end
585             if ~strcmpi(objType,type)
586                 try
587                     parent = get(handle(hObj),'parent');
588                 catch
589                     parent = hObj.getParent; % some objs have no 'Parent' prop, just ...
590                     %    this method...
591                 end
592                 if ~isempty(parent) % empty parent means root ancestor, so exit
593                     hObj = ancestor(parent,type);
594                 end
595             end
596         catch
597             % never mind...
598         end
599     end
600 %end % ancestor
601
602 %% Get position of an HG object in specified units
603 function pos = getPos(hObj,field,units)
604     % Matlab 6 did not have hgconvertunits so use the old way...
605     oldUnits = get(hObj,'units');
606     if strcmpi(oldUnits,units) % don't modify units unless we must!
607         pos = get(hObj,field);
608     else
609         set(hObj,'units',units);
610         pos = get(hObj,field);
611         set(hObj,'units',oldUnits);
612     end
613 %end % getPos
614
615 %% Get pixel position of an HG object - for Matlab 6 compatibility

```

```

614 function pos = getPixelPos(hObj,varargin)
615     persistent originalObj
616     try
617         stk = dbstack;
618         if ~strcmp(stk(2).name,'getPixelPos')
619             originalObj = hObj;
620         end
621
622         if isFigure(hObj) || isAxes(hObj)
623             %try
624                 pos = getPos(hObj,'OuterPosition','pixels');
625             else %catch
626                 % getpixelposition is unvectorized unfortunately!
627                 pos = getpixelposition(hObj,varargin{:});
628
629                 % add the axes labels/ticks if relevant (plus a tiny margin to fix 2px ...
630                 % label/title inconsistencies)
631                 if isAxes(hObj) & ~isImage(originalObj) %#ok ML6
632                     tightInsets = getPos(hObj,'TightInset','pixel');
633                     pos = pos + tightInsets.*[-1,-1,1,1] + [-1,1,1+tightInsets(1:2)];
634                 end
635             end
636             catch
637                 % Matlab 6 did not have getpixelposition nor hgconvertunits so use the old ...
638                 % way...
639                 pos = getPos(hObj,'Position','pixels');
640             catch
641                 % Maybe the handle does not have a 'Position' prop (e.g., text/line/plot) - ...
642                 % use its parent
643                 pos = getPixelPos(get(hObj,'parent'),varargin{:});
644             end
645
646             % Handle the case of missing/invalid/empty HG handle
647             if isempty(pos)
648                 pos = [0,0,0,0];
649             end % getPixelPos
650
651 %% Adds a ScreenCapture toolbar button
652 function addToolbarButton(paramsStruct)
653     % Ensure we have a valid toolbar handle
654     hFig = ancestor(paramsStruct.toolbar,'figure');
655     if isempty(hFig)
656         error('YMA:screencapture:badToolbar','the ''Toolbar'' parameter must contain a ...
657             valid GUI handle');
658     end
659     set(hFig,'ToolBar','figure');
660     hToolbar = findall(hFig,'type','uicontrol');
661     if isempty(hToolbar)
662         error('YMA:screencapture:noToolbar','the ''Toolbar'' parameter must contain a ...
663             figure handle possessing a valid toolbar');
664     end
665     hToolbar = hToolbar(1); % just in case there are several toolbars... - use only ...
666             the first
667
668     % Prepare the camera icon
669     icon = ['3333333333333333'; ...
670             '3333333333333333'; ...
671             '3333300000333333'; ...
672             '3333065556033333'; ...
673             '3000000000000033'; ...
674             '30222222222033'; ...
675             '302222000222033'; ...
676             '3022203110222033'; ...
677             '3022201110222033'; ...
678             '3022204440222033'; ...
679             '302222000222033'; ...
680             '302222222222033'; ...
681             '300000000000033'; ...
682             '3333333333333333'; ...
683             '3333333333333333'];

```

```

681      '3333333333333333'];
682      cm = [ 0 0 0; ... % black
683          0 0.60 1; ... % light blue
684          0.53 0.53 0.53; ... % light gray
685          NaN NaN NaN; ... % transparent
686          0 0.73 0; ... % light green
687          0.27 0.27 0.27; ... % gray
688          0.13 0.13 0.13]; % dark gray
689 cdata = ind2rgb(uint8(icon-'0')),cm);
690
691 % If the button does not already exist
692 hButton = findall(hToolbar,'Tag','ScreenCaptureButton');
693 tooltip = 'Screen capture';
694 if isempty(paramsStruct.target)
695     tooltip = [tooltip ' to ' paramsStruct.target];
696 end
697 if isempty(hButton)
698     % Add the button with the icon to the figure's toolbar
699     hButton = uipushtool(hToolbar, 'CData',cdata, 'Tag','ScreenCaptureButton', ...
700         'TooltipString',tooltip, 'ClickedCallback',[ 'screencapture('' ...
701             paramsStruct.target '')']); %#ok unused
702 else
703     % Otherwise, simply update the existing button
704     set(hButton, 'CData',cdata, 'Tag','ScreenCaptureButton', ...
705         'TooltipString',tooltip, 'ClickedCallback',[ 'screencapture('' ...
706             paramsStruct.target '')']);
707 end % addToolbarButton
708
709 %% Java--get the actual screen--capture image data
710 function imgData = getScreenCaptureImageData(positionRect)
711     if isempty(positionRect) | all(positionRect==0) | positionRect(3)≤0 | ...
712         positionRect(4)≤0 %#ok ML6
713         imgData = [];
714     else
715         % Use java.awt.Robot to take a screen--capture of the specified screen area
716         rect = java.awt.Rectangle(positionRect(1), positionRect(2), positionRect(3), ...
717             positionRect(4));
718         robot = java.awt.Robot;
719         jImage = robot.createScreenCapture(rect);
720
721         % Convert the resulting Java image to a Matlab image
722         % Adapted for a much-improved performance from:
723         % http://www.mathworks.com/support/solutions/data/1-2WPAYR.html
724         h = jImage.getHeight;
725         w = jImage.getWidth;
726         %imgData = zeros([h,w,3], 'uint8');
727         %pixelsData = uint8(jImage.getData.getPixels(0,0,w,h,[ ]));
728         %for i = 1 : h
729         %    base = (i-1)*w*3+1;
730         %    imgData(i,1:w,:) = deal(reshape(pixelsData(base:(base+3*w-1)),3,w)');
731         %end
732
733         % Performance further improved based on feedback from Urs Schwartz:
734         %pixelsData = reshape(typecast(jImage.getData.getDataStorage, 'uint32'),w,h).';
735         %imgData(:,:,3) = bitshift(bitand(pixelsData,256^1-1),-8*0);
736         %imgData(:,:,2) = bitshift(bitand(pixelsData,256^2-1),-8*1);
737         %imgData(:,:,1) = bitshift(bitand(pixelsData,256^3-1),-8*2);
738
739         % Performance even further improved based on feedback from Jan Simon:
740         pixelsData = reshape(typecast(jImage.getData.getDataStorage, 'uint8'), 4, w, h);
741         imgData = cat(3, ...
742             transpose(reshape(pixelsData(3, :, :), w, h)), ...
743             transpose(reshape(pixelsData(2, :, :), w, h)), ...
744             transpose(reshape(pixelsData(1, :, :), w, h)));
745     end
746 end % getInteractivePosition
747
748 %% Return the figure to its pre--undocked state (when relevant)
749 function redockFigureIfRelevant(paramsStruct)
750     if paramsStruct.wasDocked
751         try
752             set(paramsStruct.hFigure, 'WindowStyle', 'docked');

```

```

748         %drawnow;
749     catch
750         % never mind - ignore...
751     end
752 end
753 %end % redockFigureIfRelevant
754
755 %% Copy screen-capture to the system clipboard
756 % Adapted from
757 % http://www.mathworks.com/matlabcentral/fileexchange/28708...
758 % -imclipboard/content/imclipboard.m
759 function imclipboard(imgData)
760     % Import necessary Java classes
761     import java.awt.Toolkit.*
762     import java.awt.image.BufferedImage
763     import java.awt.datatransfer.DataFlavor
764
765     % Add the necessary Java class (ImageSelection) to the Java classpath
766     if ~exist('ImageSelection', 'class')
767         % Obtain the directory of the executable (or of the M-file if not deployed)
768         %javaaddpath(fileparts(which(mfilename)), '-end');
769         if isdeployed % Stand-alone mode.
770             [status, result] = system('path'); %#ok<ASGLU>
771             MatlabFilePath = char(regexpi(result, 'Path=(.*?);', 'tokens', 'once'));
772         else % MATLAB mode.
773             MatlabFilePath = fileparts(mfilename('fullpath'));
774         end
775         javaaddpath(MatLabFilePath, '-end');
776     end
777
778     % Get System Clipboard object (java.awt.Toolkit)
779     cb = getToolkit.getSystemClipboard; % can't use () in ML6!
780
781     % Get image size
782     ht = size(imgData, 1);
783     wd = size(imgData, 2);
784
785     % Convert to Blue-Green-Red format
786     imgData = imgData(:, :, [3 2 1]);
787
788     % Convert to 3xWxH format
789     imgData = permute(imgData, [3, 2, 1]);
790
791     % Append Alpha data (not used)
792     imgData = cat(1, imgData, 255*ones(1, wd, ht, 'uint8'));
793
794     % Create image buffer
795     imBuffer = BufferedImage(wd, ht, BufferedImage.TYPE_INT_RGB);
796     imBuffer.setRGB(0, 0, wd, ht, typecast(imgData(:), 'int32'), 0, wd);
797
798     % Create ImageSelection object
799     % custom java class
800     imSelection = ImageSelection(imBuffer);
801
802     % Set clipboard content to the image
803     cb.setContents(imSelection, []);
804 end %imclipboard
805
806 %% Is the provided handle a figure?
807 function flag = isFigure(hObj)
808     flag = isa(handle(hObj), 'figure') | isa(hObj, 'matlab.ui.Figure');
809 end %isFigure
810
811 %% Is the provided handle an axes?
812 function flag = isAxes(hObj)
813     flag = isa(handle(hObj), 'axes') | isa(hObj, 'matlab.graphics.axis.Axes');
814 end %isFigure
815
816 %% Is the provided handle an image?
817 function flag = isImage(hObj)
818     flag = isa(handle(hObj), 'image') | isa(hObj, 'matlab.graphics.primitive.Image');
819 end %isFigure

```

INSTITUTIONEN FÖR  
RYMD-, GEO- OCH MILJÖVETENSKAP  
CHALMERS TEKNISKA HÖGSKOLA  
Göteborg, Sverige 2020  
[www.chalmers.se](http://www.chalmers.se)



**CHALMERS**